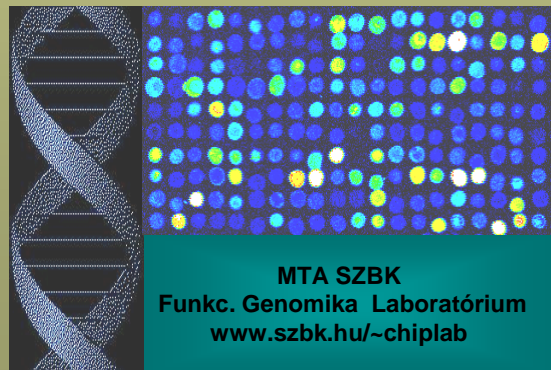


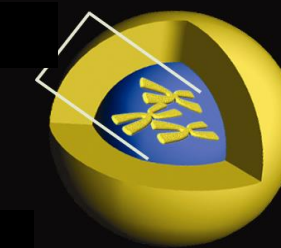
Funkcionális genomikai módszerek: technológia és alkalmazás

MTA SZBK, Genetika Intézet
Funkcionális Genomika Laboratórium

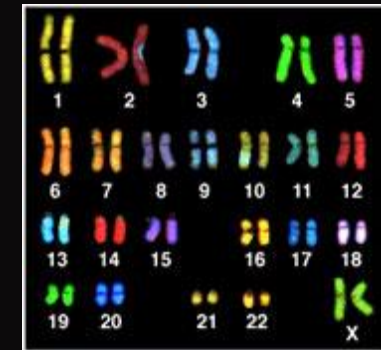
Genetikai Tanszék, ELTE TTK, Budapest
2018.11.28.



Kromoszómák genetikai állomány hordozói



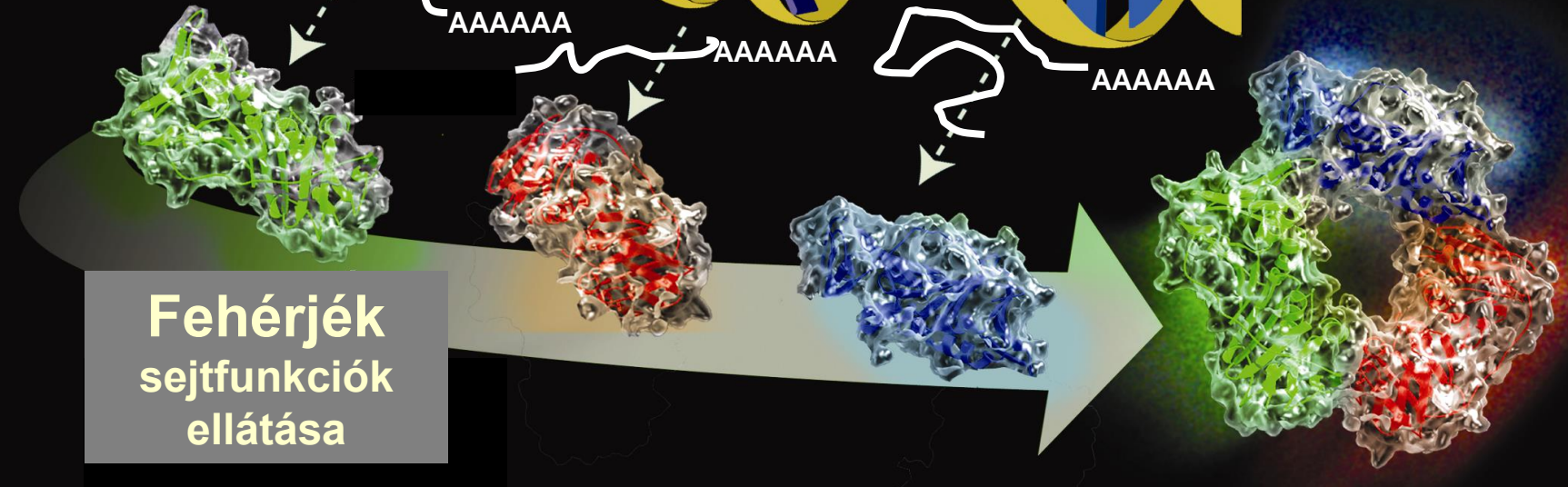
sejt



DNS

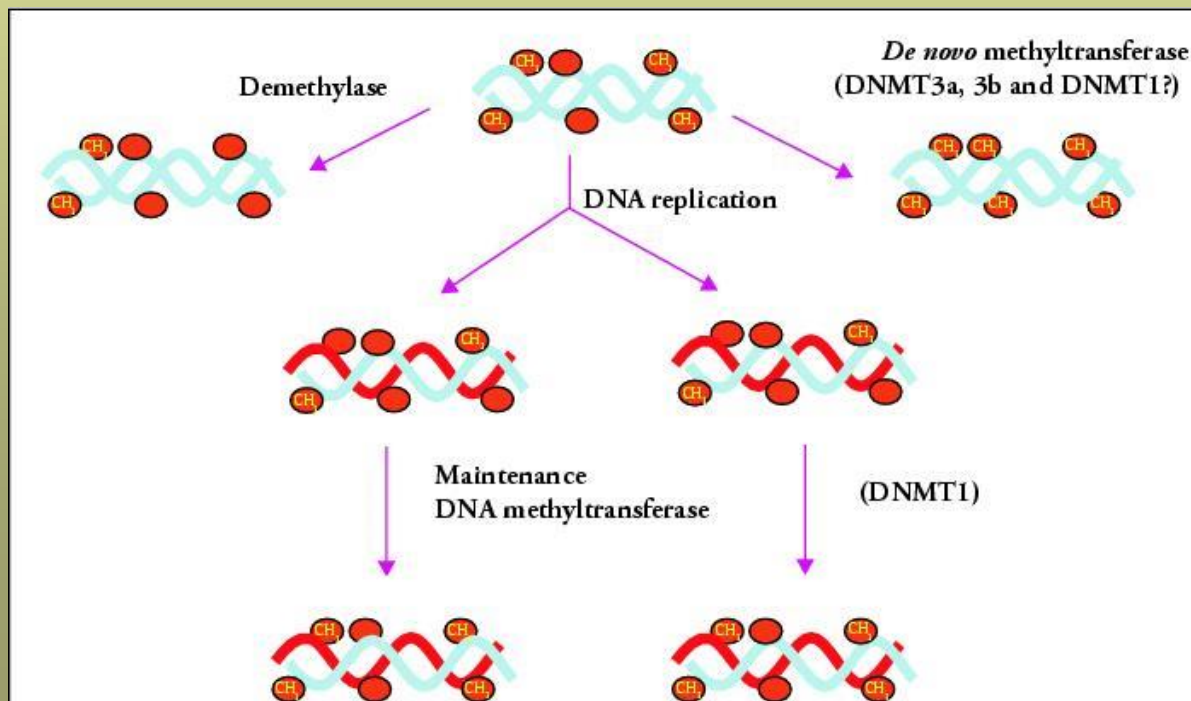
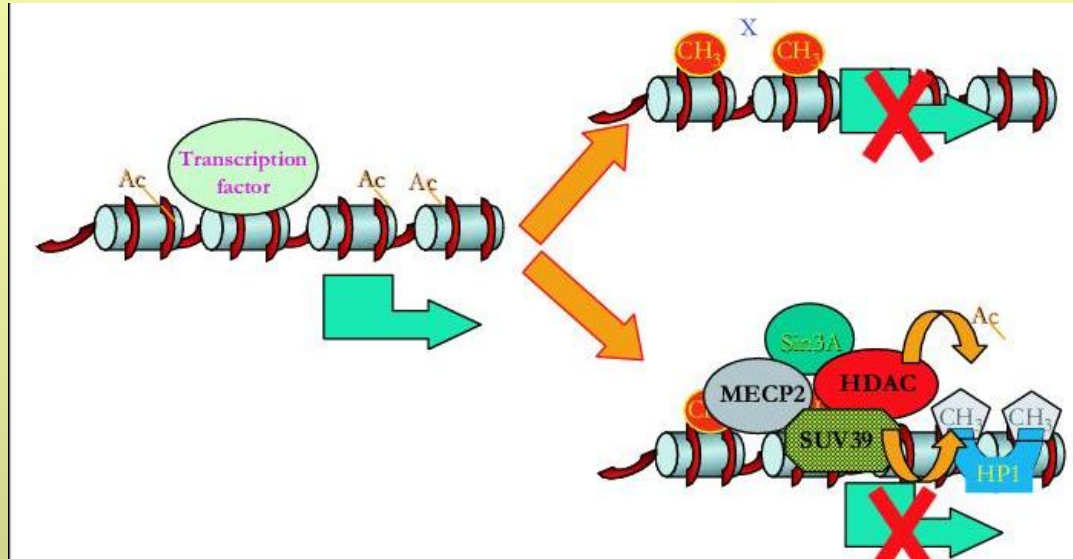
mRNS

Gének
információ hordozók



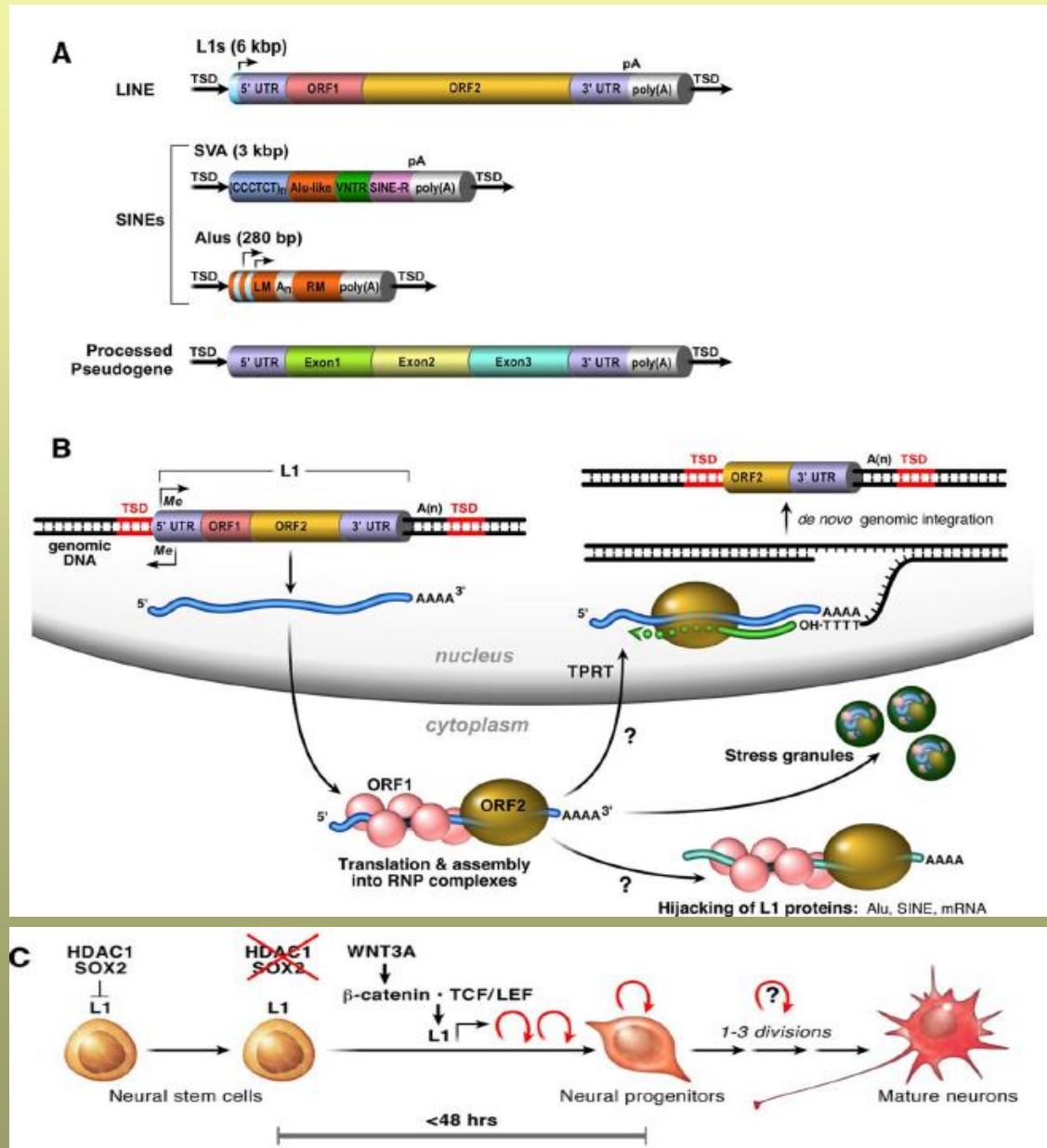
Fehérjék
sejtfunkciók
ellátása

DNS metiláció és „hiszton-kód” – epigenetikai változások

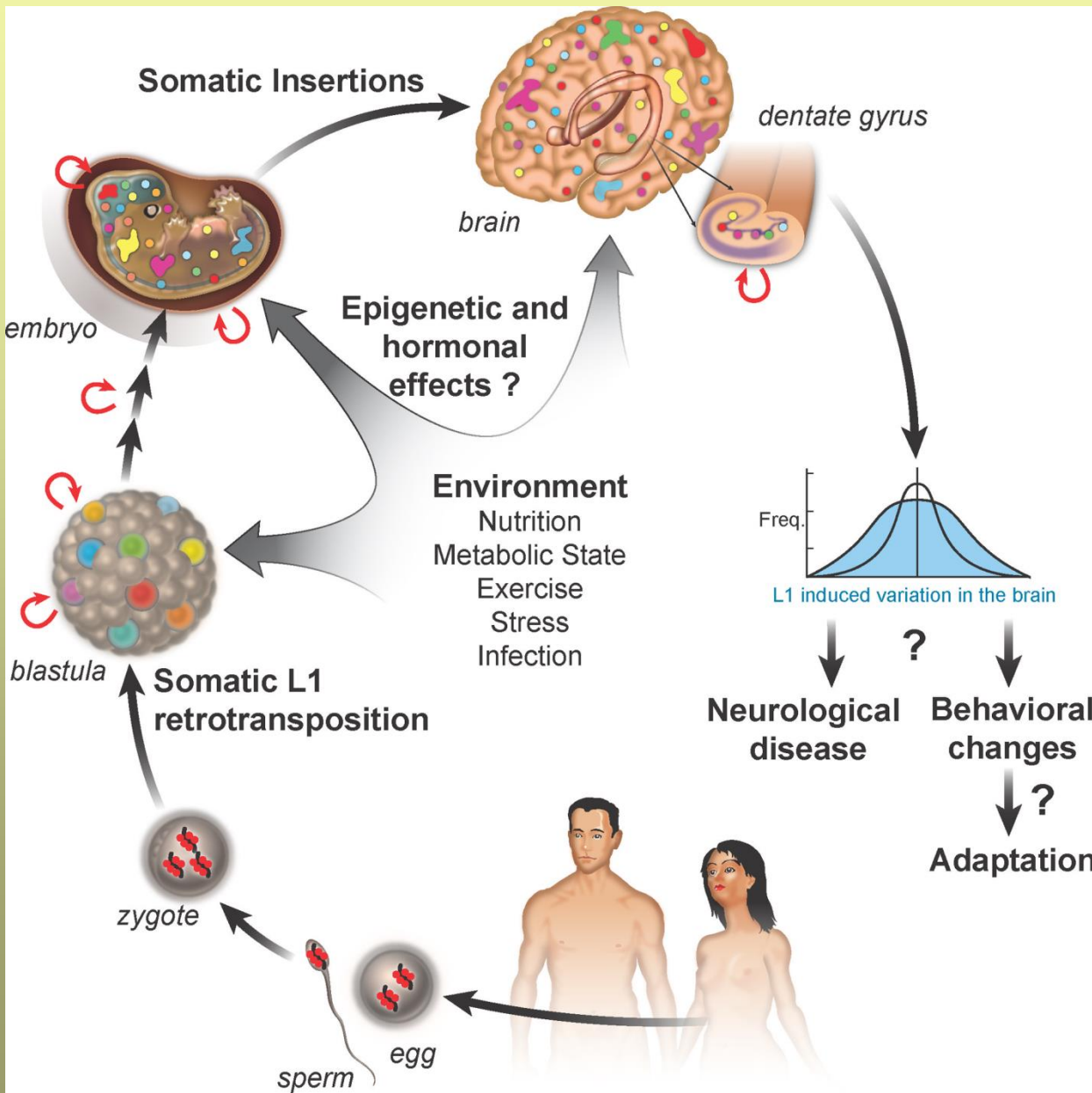


Repetitív szekvenciák – ártalmatlan „szemét”?

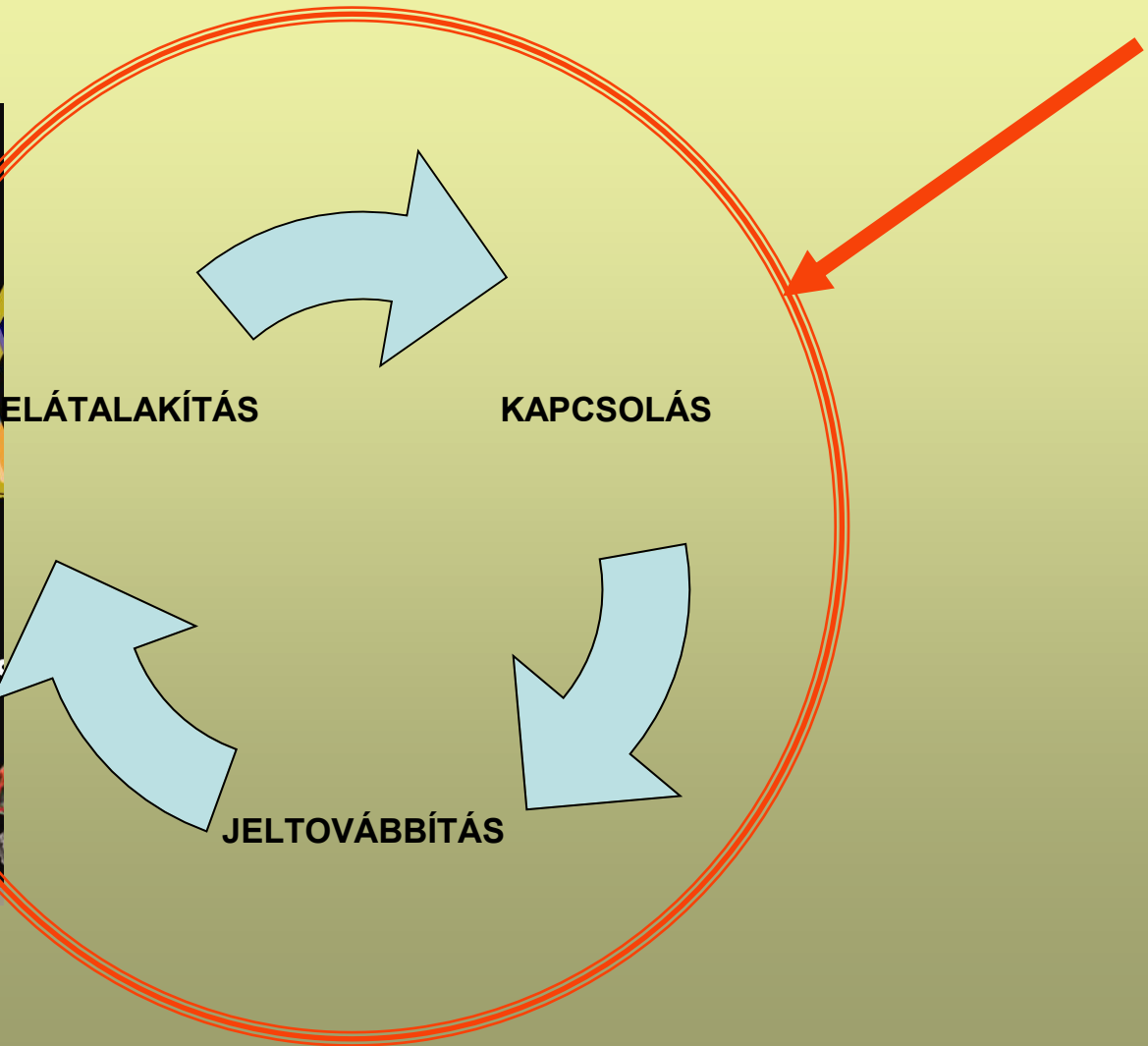
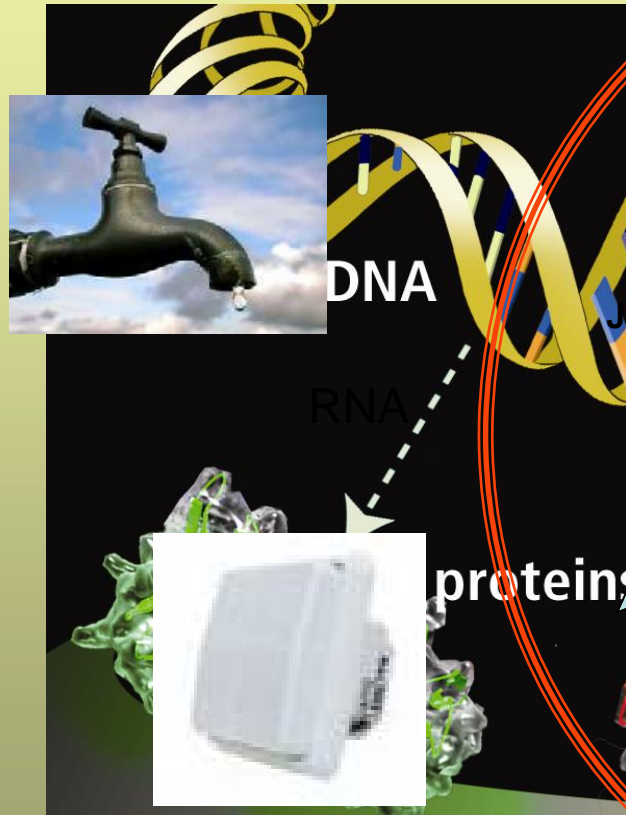
LINE
SINE



Repetitív szekvenciák – neuronális diverzitás oka?



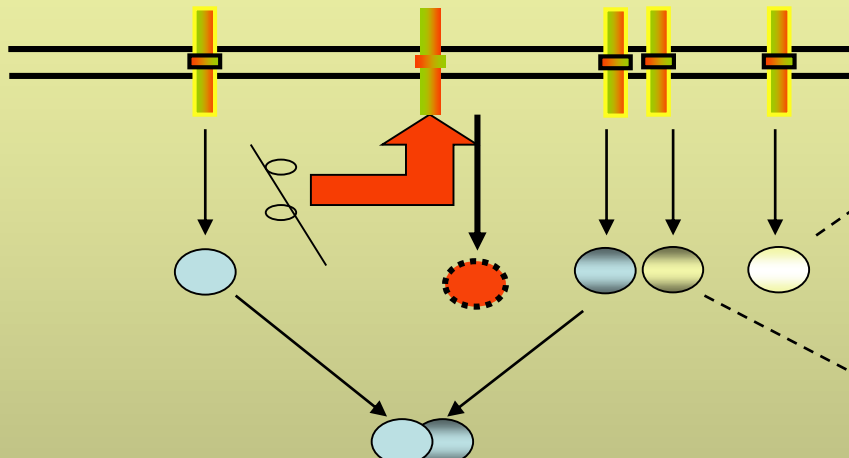
Molekuláris kapcsolók és hálózatok: a rendszerbiológia elemei



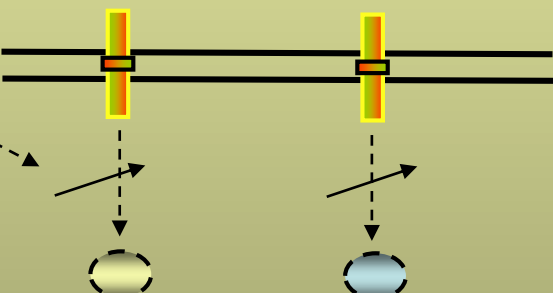
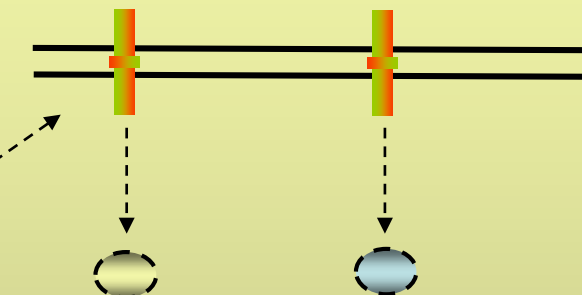
Kulcsszavak: kapcsolók

Molekuláris kapcsolók és hálózatok: a rendszerbiológia elemei

Moduláris egység: együttes expresszió



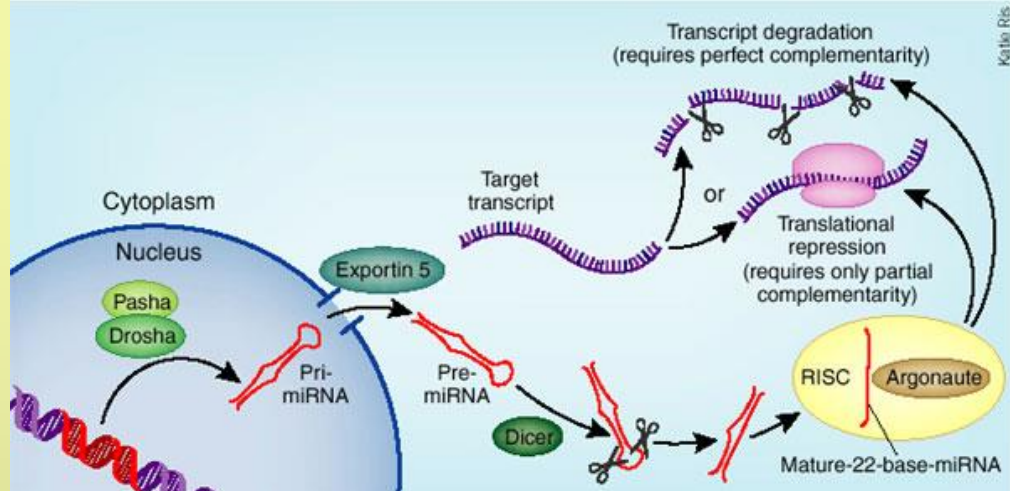
Transzkripció szintű szabályozás



RNS szintű szabályozás

Kulcsszavak: kapcsolók és modulok

miRNS analízis



- miRNS: kis 19-25 nukleotid hosszú egyszálú RNS molekulák, amelyek a génexpresszió negatív szabályozásában játszanak szerepet
- a sejtmagban keletkeznek hosszú prekurzor RNSként: *pri-miR*
- emberben számuk meghaladja az ezret -> minden miRNS több száz mRNS transzkripcióját szabályozza
- méretük és a nagyfokú szekvencia konzerváció (1-2 nukleotid eltérés) miatt detektálásuk nehéz
- megváltozott miRNS expresszió számos betegség kulcsa lehet -> target: rák, szív és érrendszeri megbetegedések

Génhálózatok, skála-független tulajdonság, redundancia és érzékenység

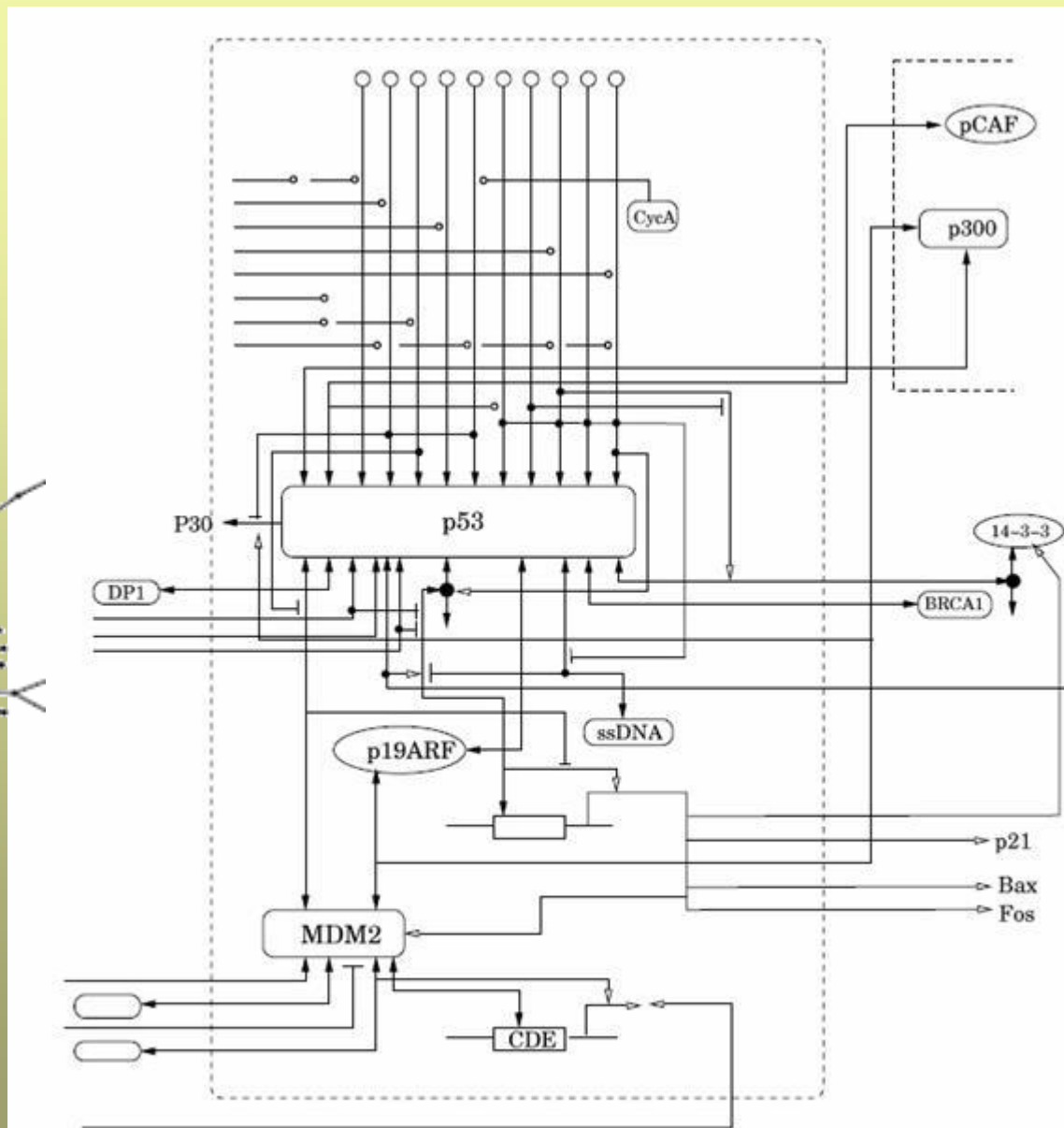
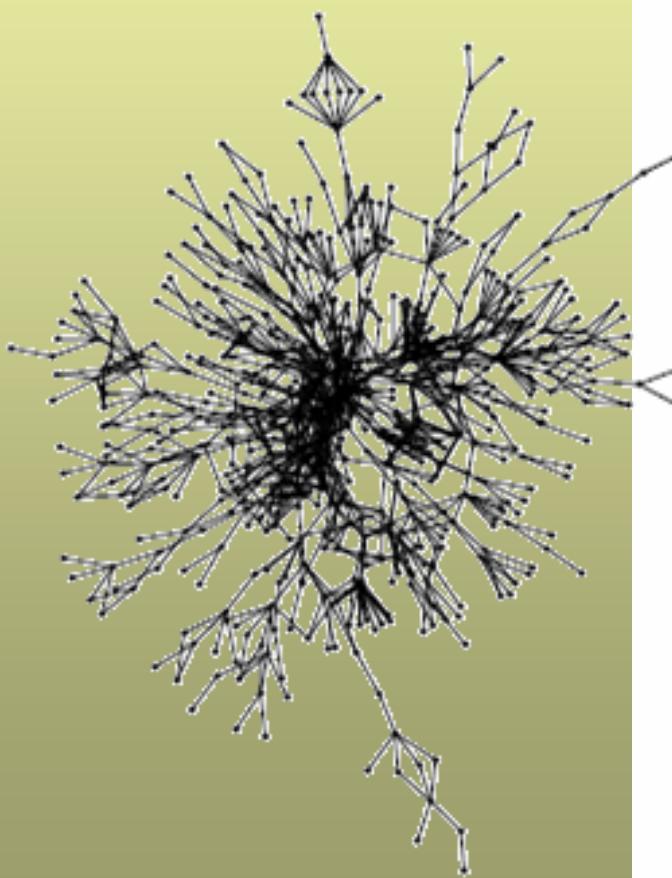
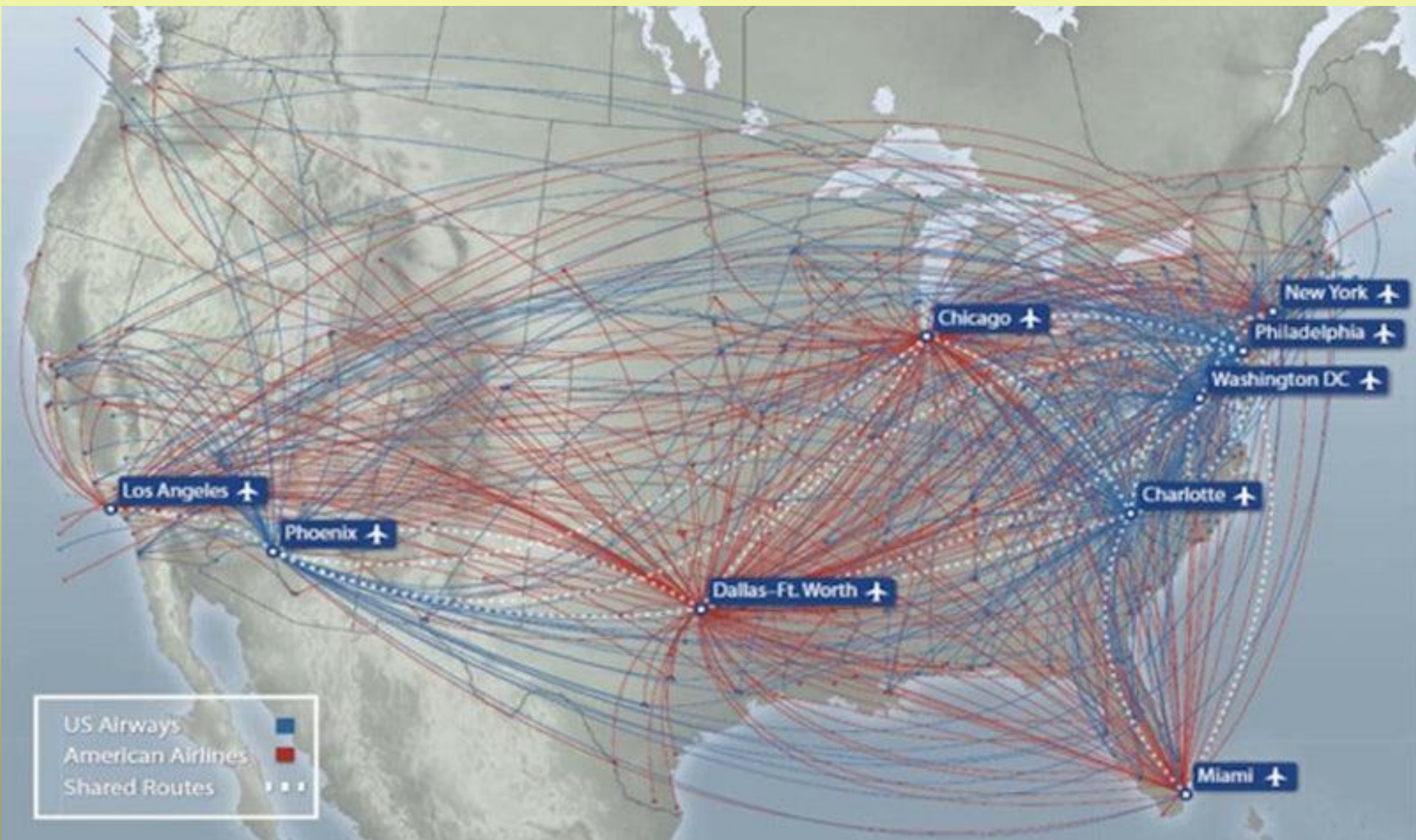
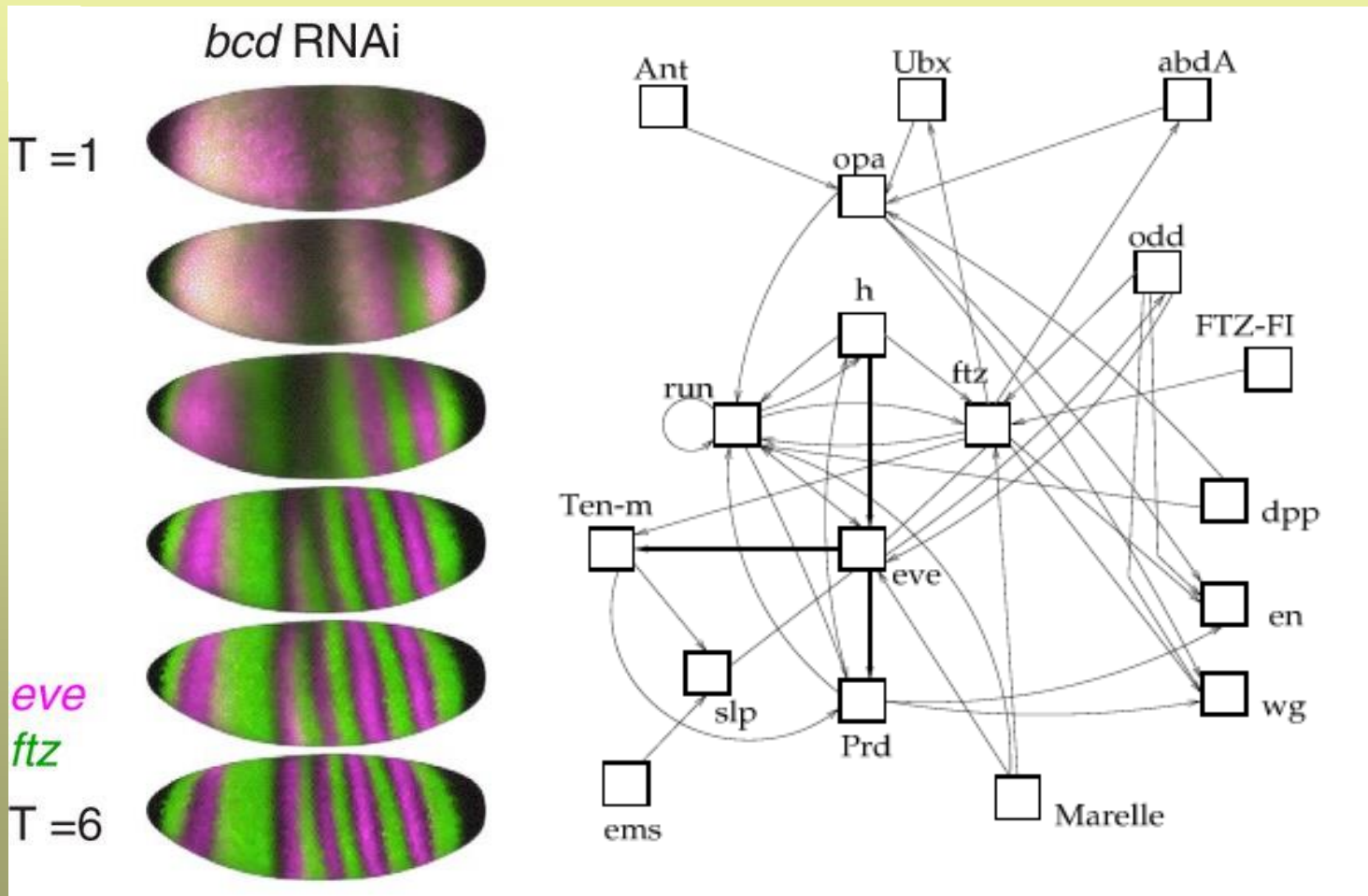


Figure 1.2: Schematic architecture of the p53 network. The p53 node integrates information from very different parts of the system. Only part of the cell circuitry is shown here. For a

Chicago nemzetközi célpontok, légvonal hálózat



Sejthálózatok és génhálózatok, kapcsolatok és jelek Génaktivitás térbeli kifejeződése



Ftz and eve are involved in the establishment of the segmentation pattern of the Drosophila embryo

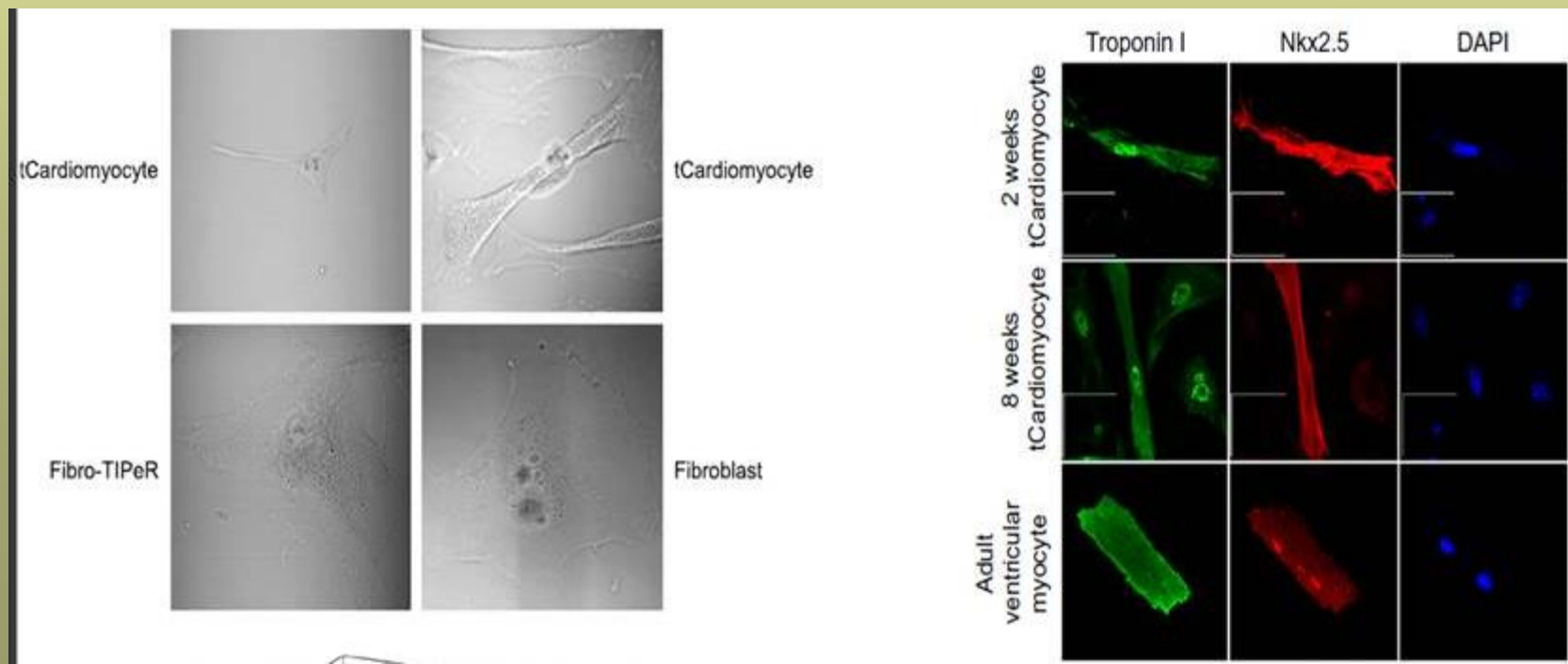
A fenotípus meghatározója a transzkriptom vagy a genom?

Gurdon JB, Elsdale TR, Fischberg M (1958) Sexually mature individuals of *Xenopus laevis* from the transplantation of single somatic nuclei. *Nature* 182(4627):64–65.

Takahashi K, Yamanaka S (2006) Induction of pluripotent stem cells from mouse embryonic and adult fibroblast cultures by defined factors. *Cell* 126(4):663–676.

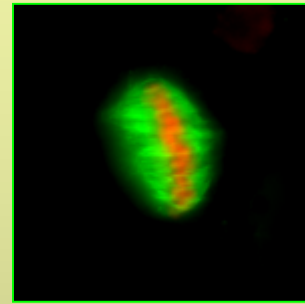
Sul JY, et al. (2009) Transcriptome transfer produces a predictable cellular phenotype. *Proc Natl Acad Sci USA* 106:7624–7629.

Kim TK, et al. (2011) Transcriptome transfer provides a model for understanding the phenotype of cardiomyocytes. *Proc Natl Acad Sci U S A.* 108(29):11918-23.

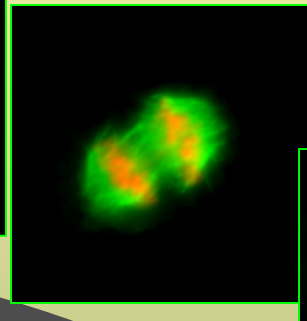


Sejtciklus-egyes fázisai

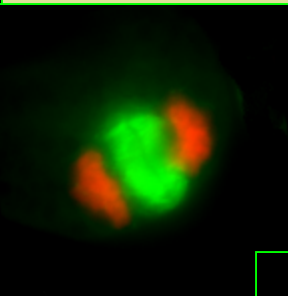
Ciklikus fehérje-módosítások, komplexek és degradációk



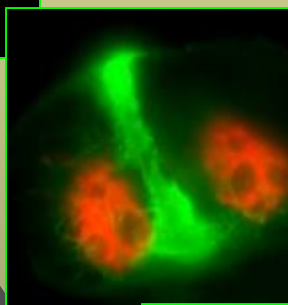
metaphase



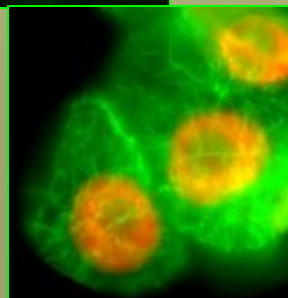
anaphase



early telophase

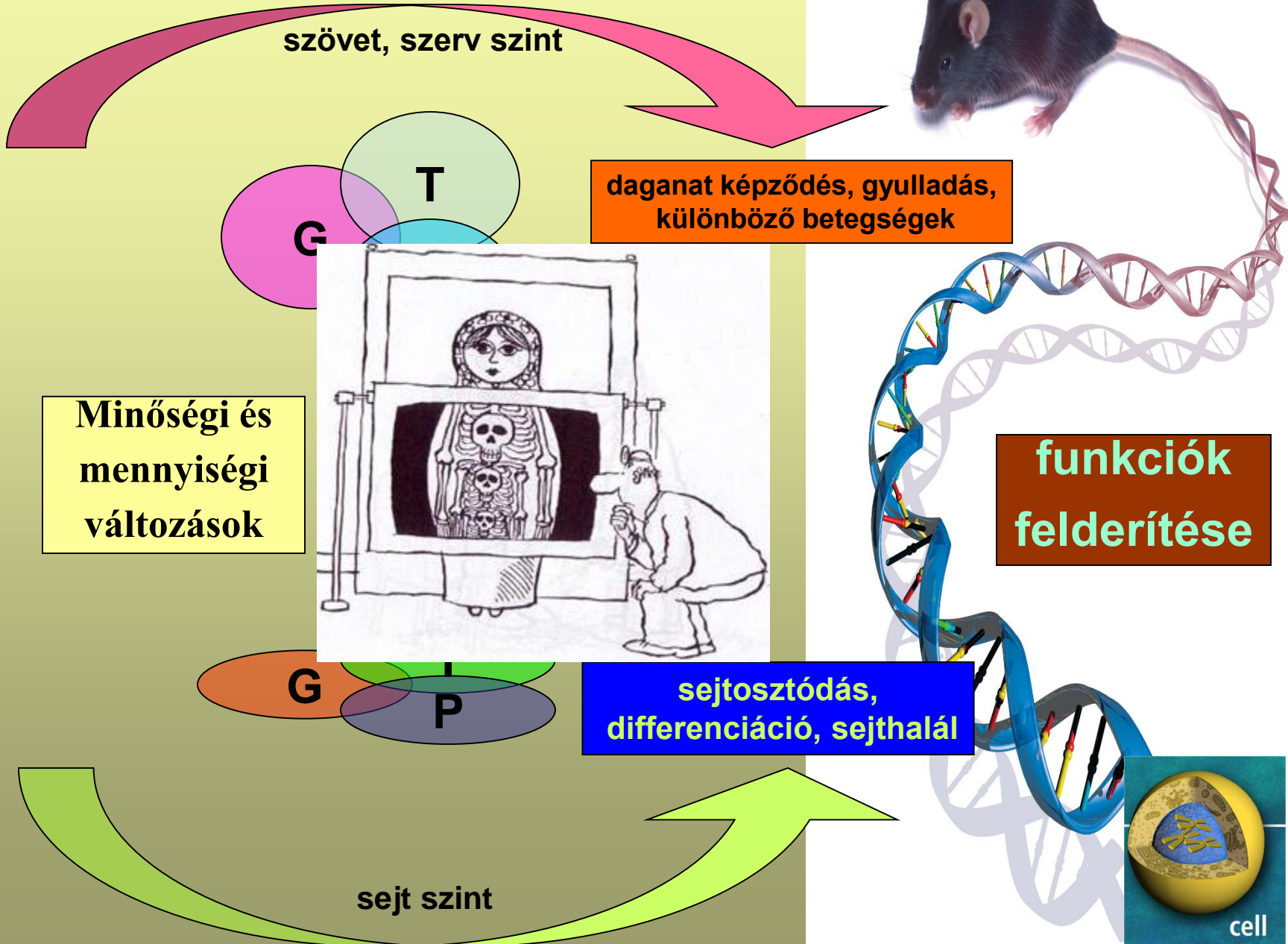


late telophase



G1 phase

Funkcionális genomika lényege

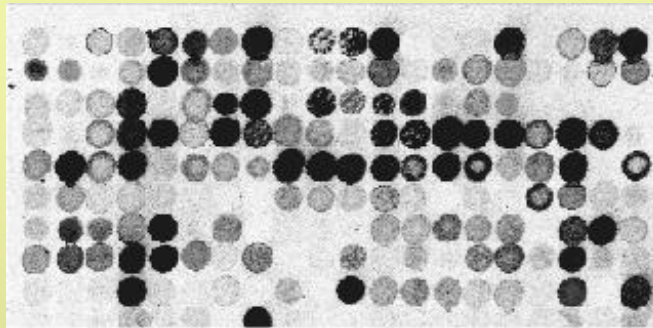


Microarray technológiák a funkcionális genomikában

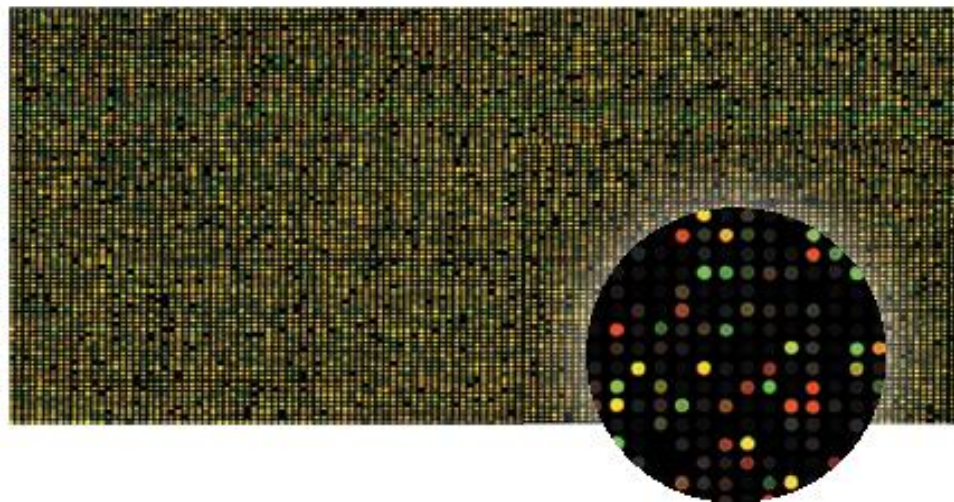
Minta	Fragmentek	Szubcelluláris	Sejtek	Szervek	Organizmusok	Közösségek
Cél-molekula	DNS, RNS	Fehérjék	Sejtek	Szövetek		
Microarray						
Genomika		Proteomika		Citomika		

A csipek hordozó szerinti osztályozása

macroarray

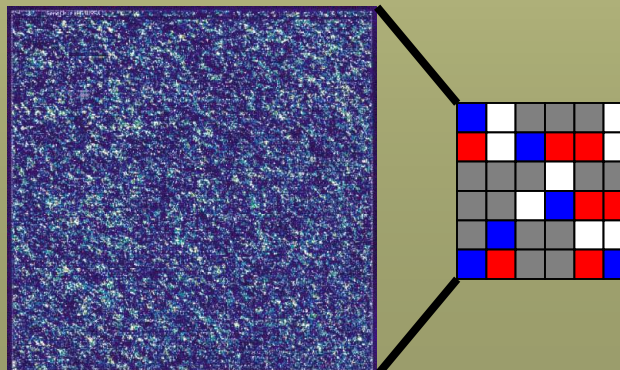


- nylon membránon néhány 100 génspecifikus minta (DNS darab)
 - radioaktív jelölés
 - kis minta sűrűség ($100\text{-}1000 \text{ pont}/\text{cm}^2$)



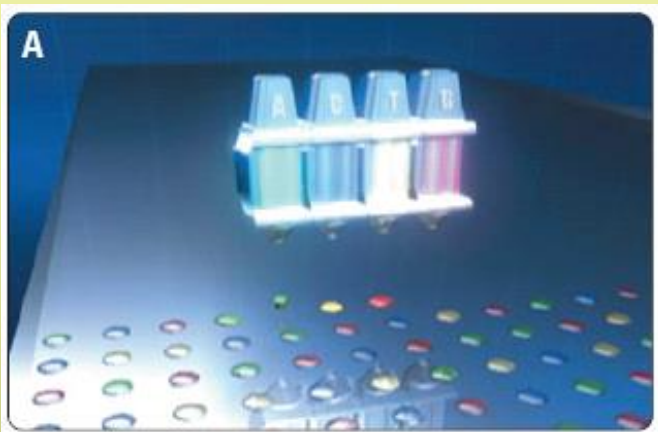
- üveglemezen több $10.000\text{-}100.000$ génspecifikus minta (DNS darab)
 - fluoreszcens jelölés
 - közepes mintasűrűség ($5000 \text{ pont}/\text{cm}^2$)

chip

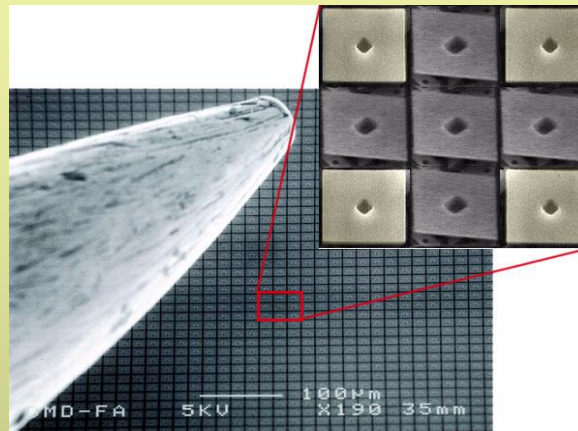


- üveglemezen több $100.000\text{-}1.000.000$ génspecifikus minta (DNS darab)
 - fluoreszcens jelölés
 - nagy minta sűrűség ($10.000 \text{ pont}/\text{cm}^2$)

Alternatív technológiák oligonukleotid DNS-chipek gyártására



inkjet-printed microarrays
(e.g. Agilent)



maskless array synthesizer
(e.g. Nimblegen)



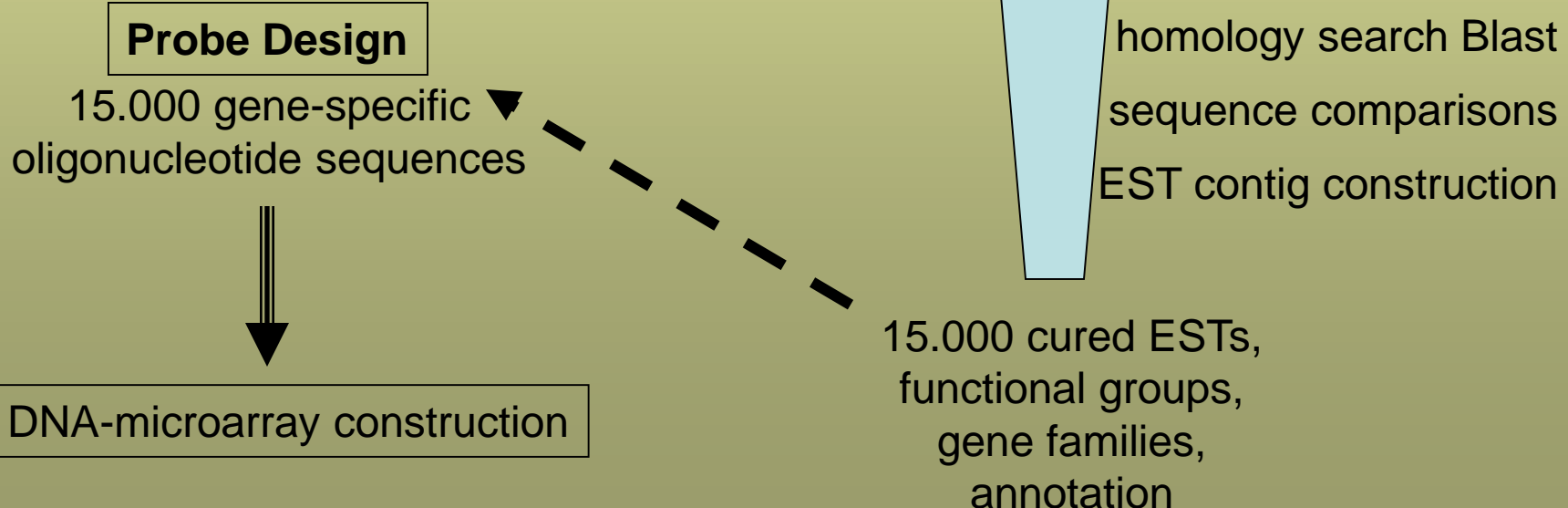
CARP Gene database & bioinformatics tools for microarray selection



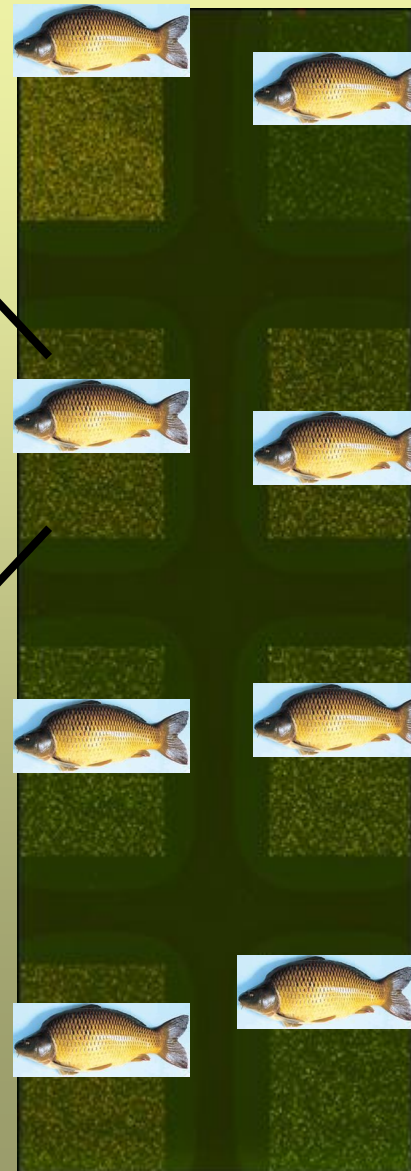
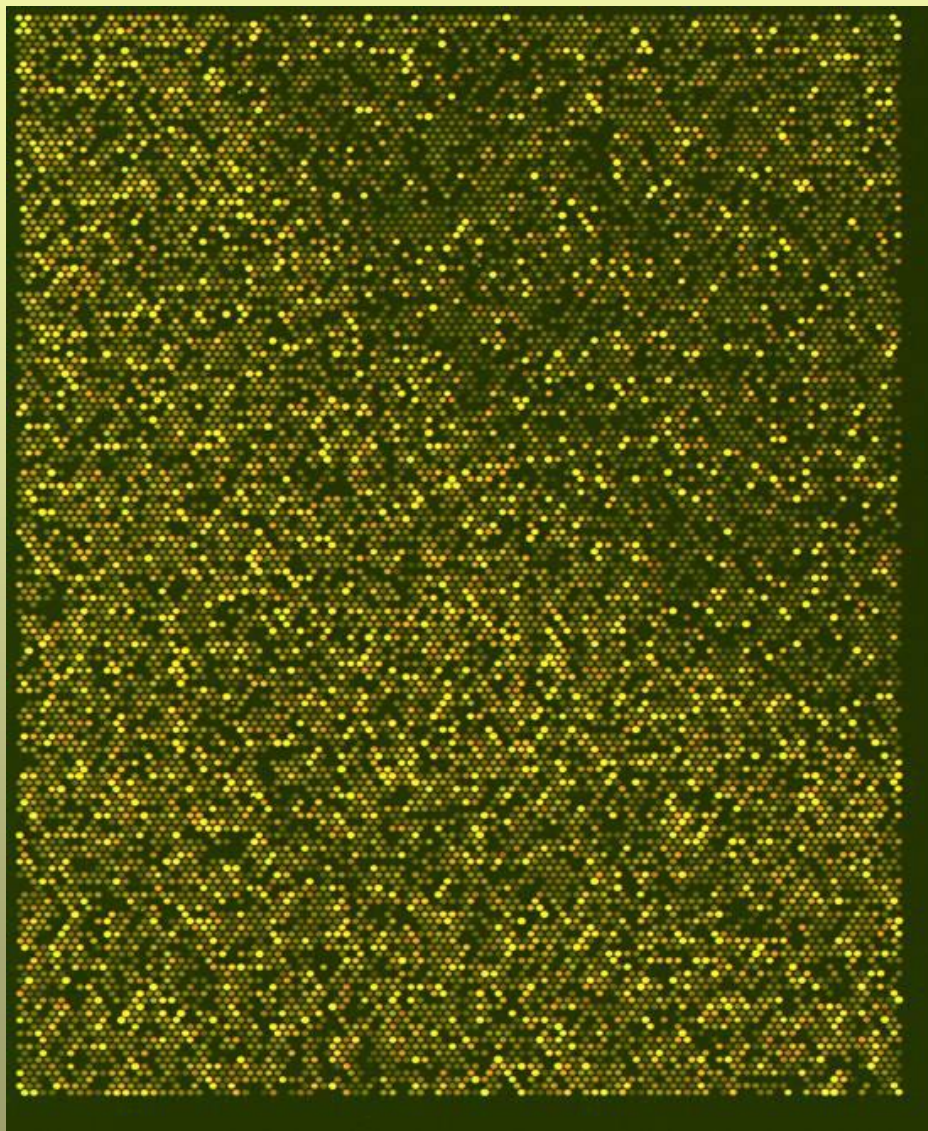
acgctcgactacgactactactgactacgact
acgactcacgctogacgactacgactagcat
cagcatcgactccgcgcacatcagctactatt
ctactgacgagctacgcgcagcaggagc
atctactactctgacgagctattcagctactcta

NCBI: over 10.000 uncurated sequences

CarpBase: over 15.000 expressed sequence tags (ESTs)



Ponty DNS-microarray formátum



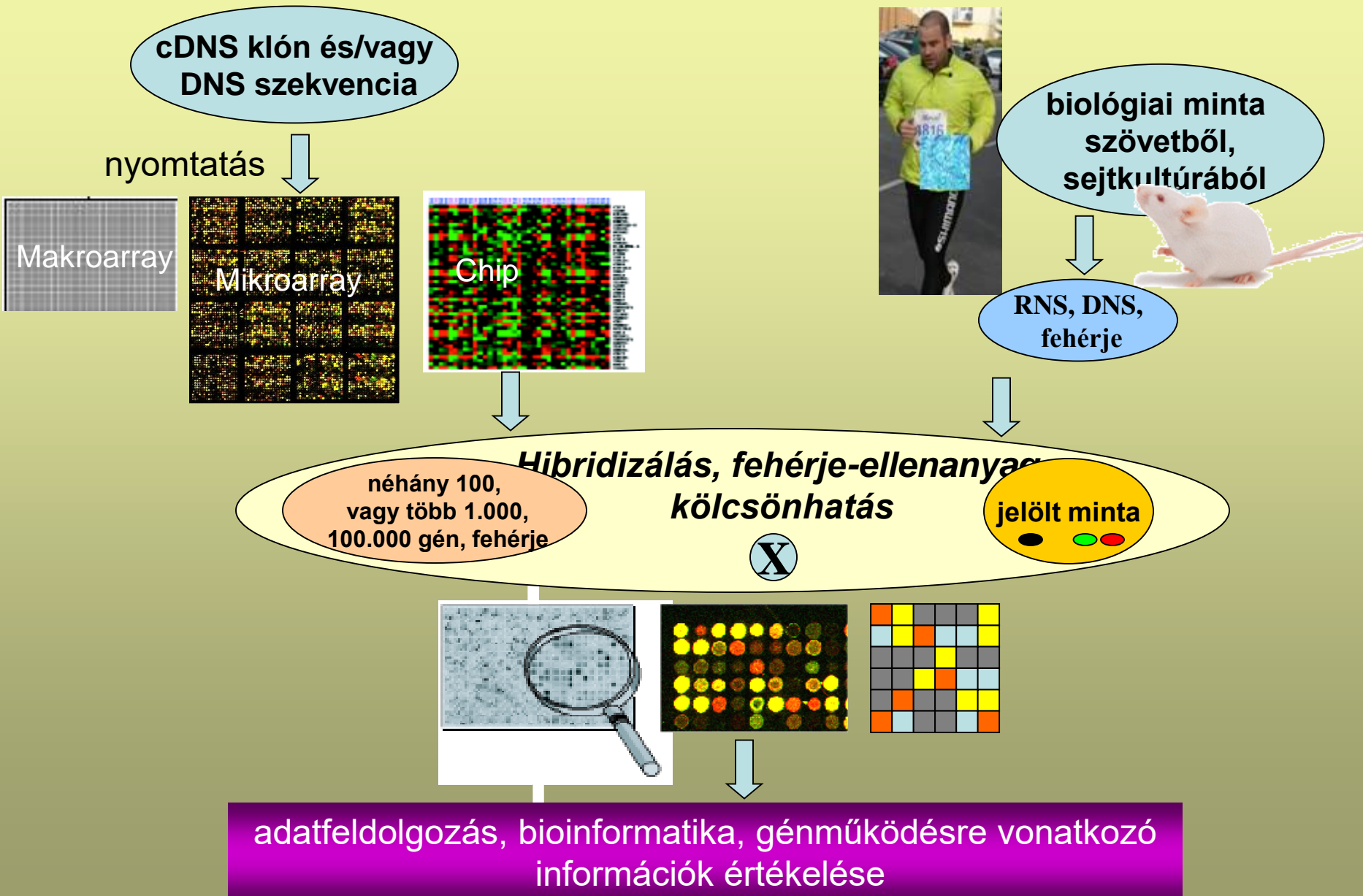
**Analysis of
8 carps in
1 microarray
experiment
15.000 gene
analysis
each**

Különböző stressznek kitett pontyok (vér, máj, kopolytú) génexpressziós vizsgálata

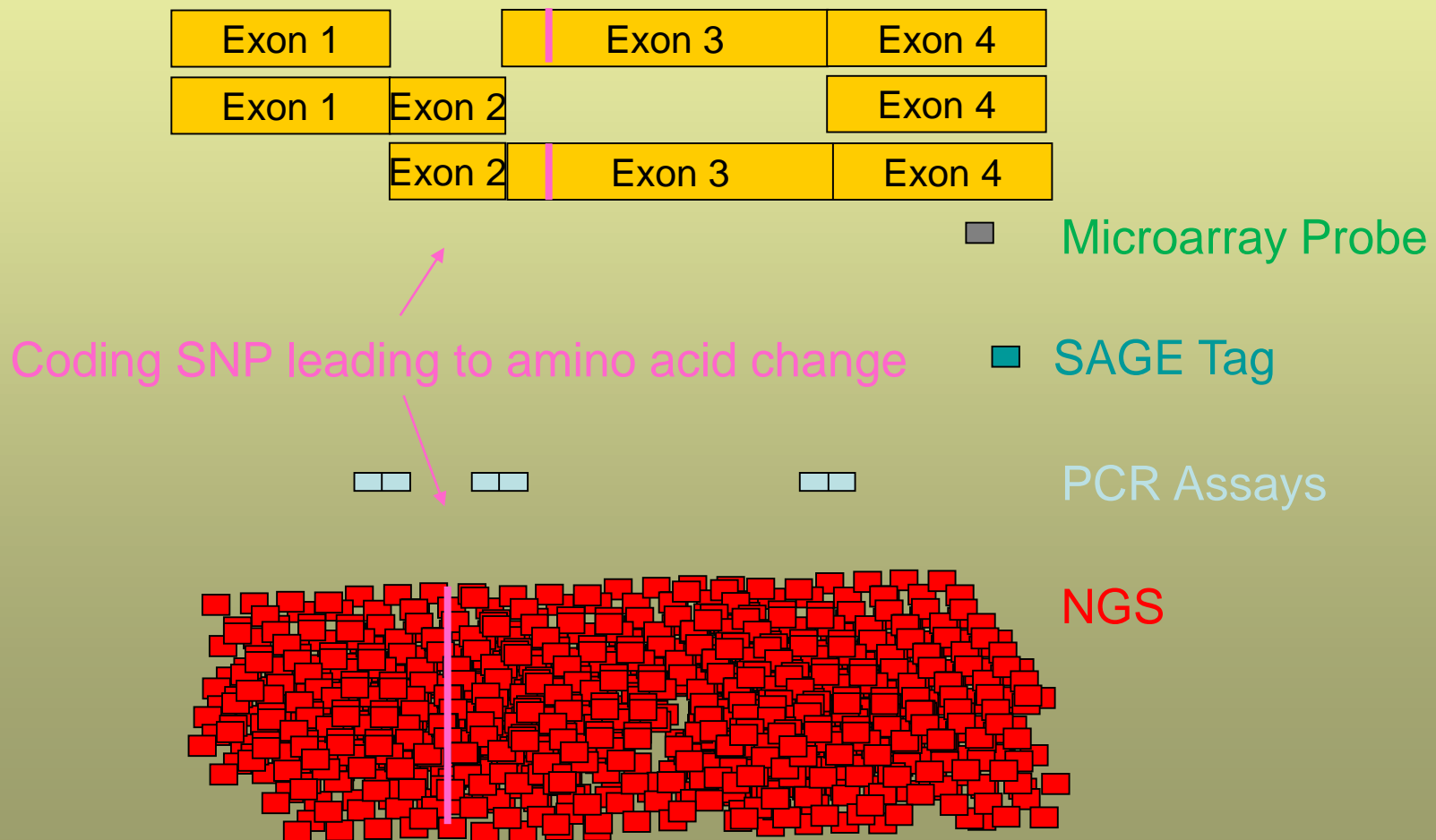


Sample collection (gill, blood, liver)
RNA preservation
transportation
RNA preparation
cDNA conversion
(banking for future studies)
DNA-microarray
HTS-QRT-PCR

Egy csipkísérlet általános lépései



Microarray vs. SAGE vs. TaqMan vs. NGS



A táplálék kölcsönhatása a génekkel, génállománnyal



Rövidtávú és
Hosszútávú hatások
sejtszintű és
Fiziológiás változások

Kitajka et al. (2002) PNAS 99, 2619;

Barcelo-Coblijn, G (2003) PNAS 100, 11321.

Kitajka (2004) PNAS 101, 10931

Puskás et al. (2003) PNAS 100, 1580-1585.

Puskás et al. (2004) Biochimie 86, 817.

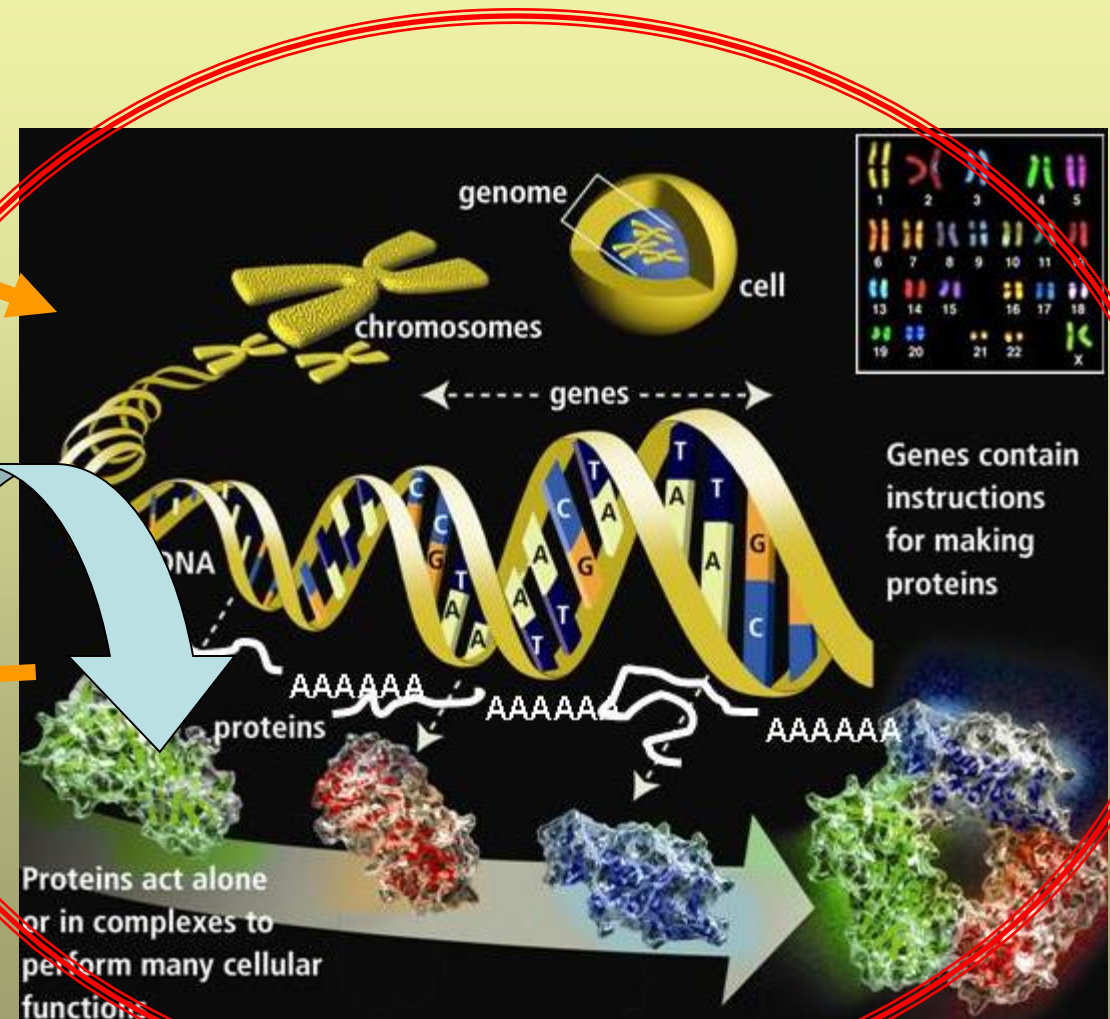
Jayasooryia et al (2005) PNAS 102, 7133.

Puskas et al. (2006) Curr Pharm Biotechnol. 7, 525

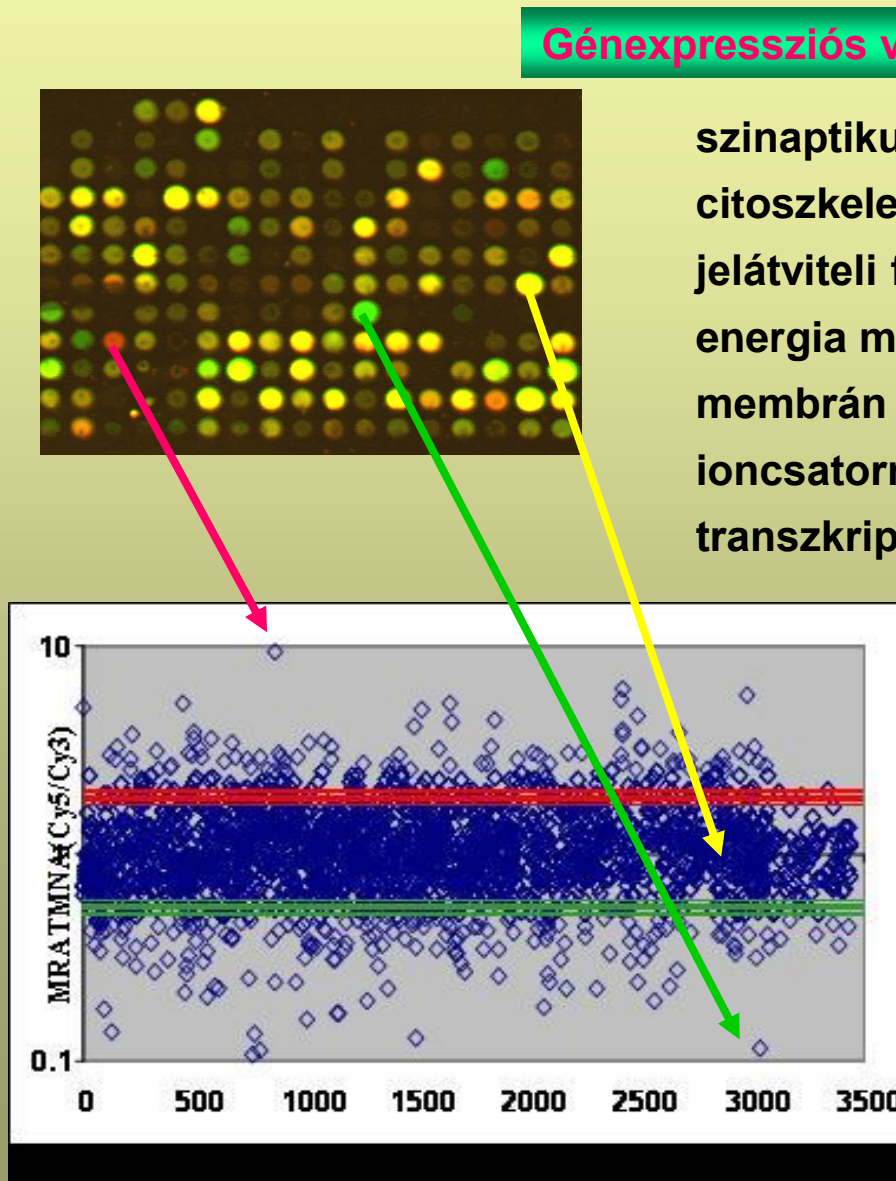
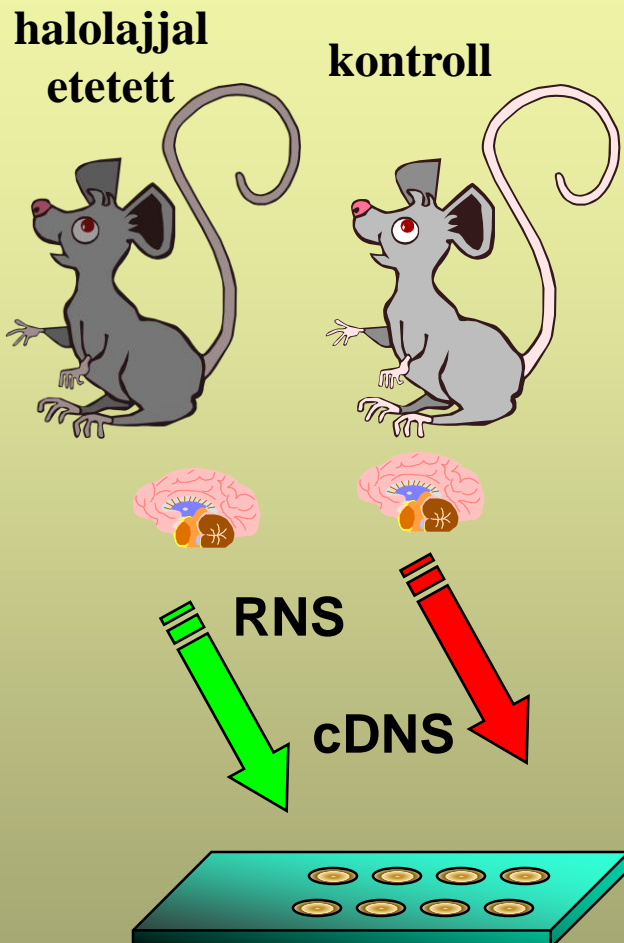
Puskas LG, Kitajka K. (2006) Nutr Health. 18, 227

Ménesi D et al. (2009) Prostaglandins Leukot Essent Fatty Acids

DasUN, Puskas LG (2010) Lipids Health Disease



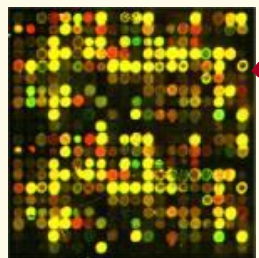
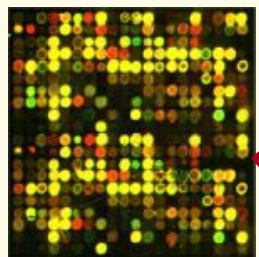
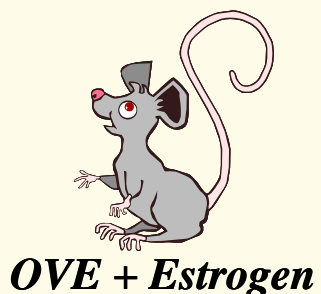
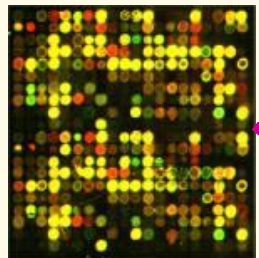
N-3 politelítetlen zsírsavakat tartalmazó diéta hatásának vizsgálata cDNS-chip technológiával



Felfedezés (Discovery)

1. Target alapú szűrések

1a: új target azonosítása

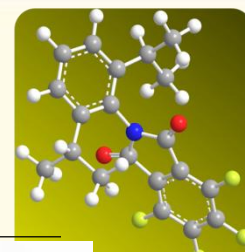


Potenciális
gyógyszer-
célpontok

Expressziós
mintázat:
MARKER



Génexpressziós változások Ac915-tel kezelt KO-egér májkarcinómában



Tumorigenesis: DEN, 15 naposan egyszeri 50 ul-es kezelés, 4 hónap normál táp

Kezeletlen



Ac915 kezelés:

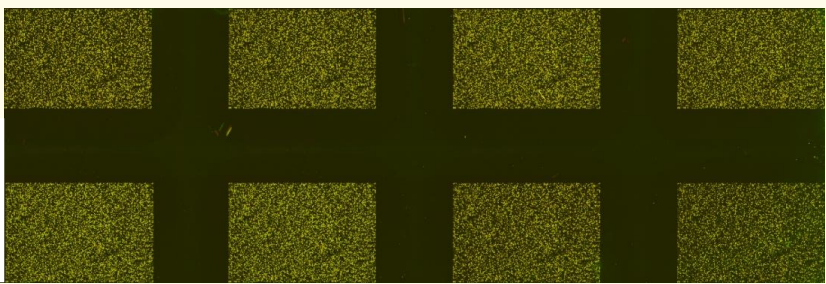
Tumor izolálás

Egészséges szövet izolálás

Kezeletlen kontroll

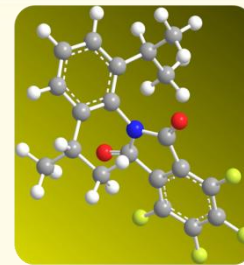


Egészséges szövet izolálás



Funkcionális elemzés

Ac-915 tumor / induced tumor

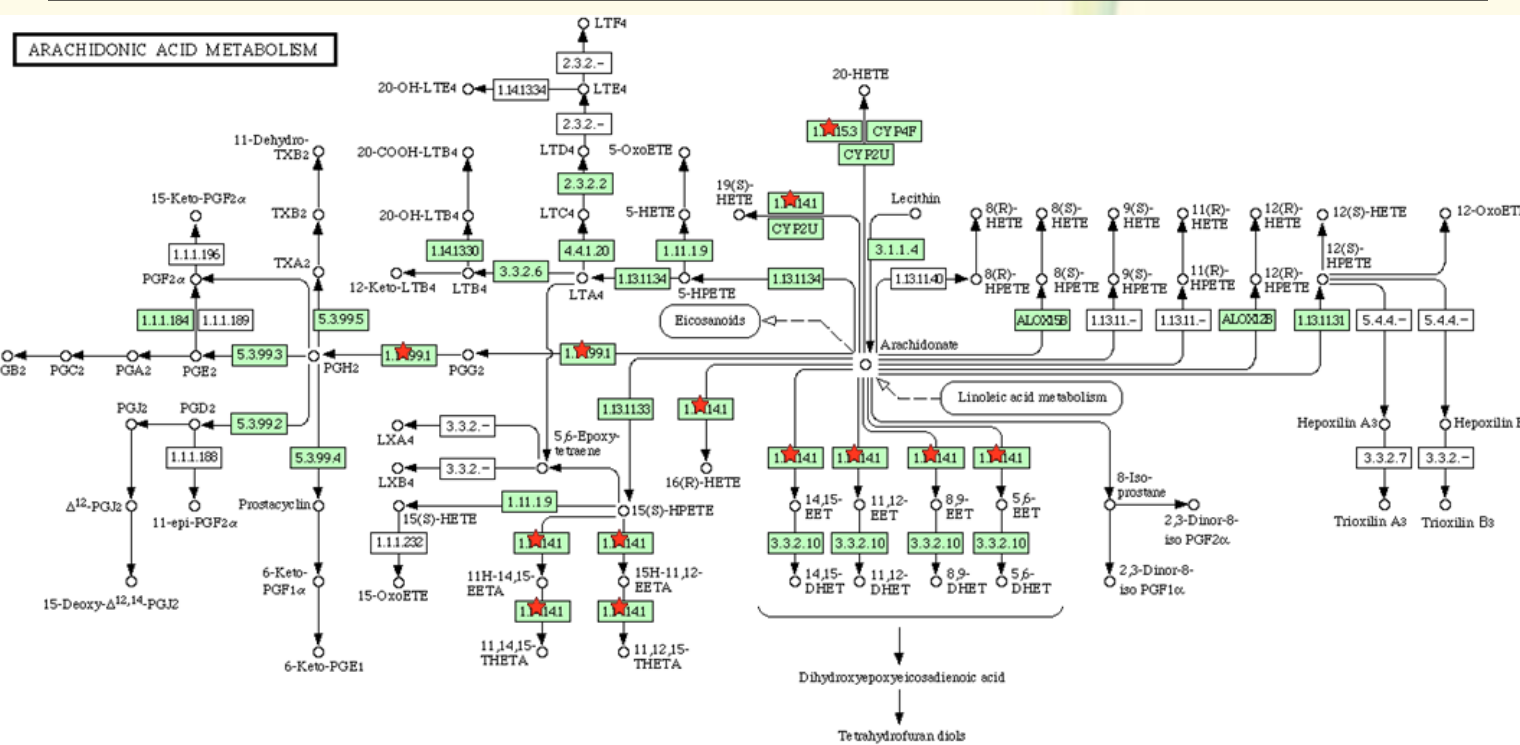
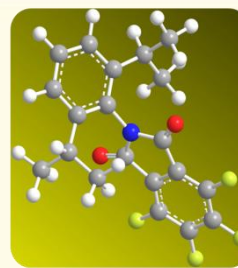


- DAVID bioinformatics
- WEB alapú rendszer
- Input: gén lista
- Funkcionális “csoportok” (GO terms, pathways, tissue expression pattern etc.)
- Géncsoportosítás azonos funkció szerint
- Szingnifikancia analízis, p-value



Overexpresszált gének.

Ac-915 tumor / induced tumor



Cyp2c54

cytochrome p450

Cyp2j9

cytochrome p450, family 2, subfamily j, polypeptide 9

Cyp2e1

cytochrome p450, family 2, subfamily e, polypeptide 1

Cyp2c55

cytochrome p450, family 2, subfamily c, polypeptide 55

Cyp2c37

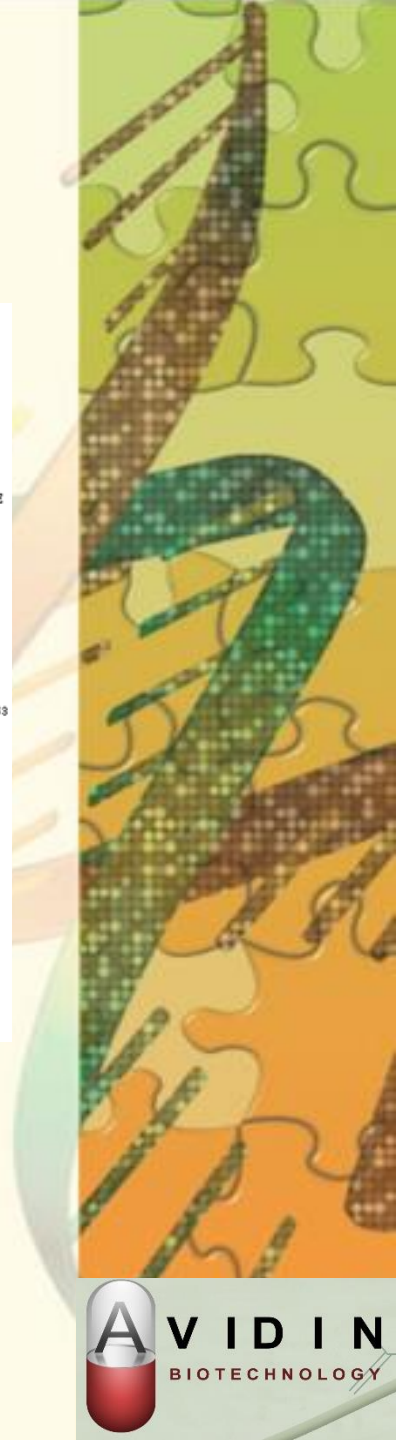
cytochrome p450, family 2, subfamily c, polypeptide 37

Ptgs1

prostaglandin-endoperoxide synthase 1

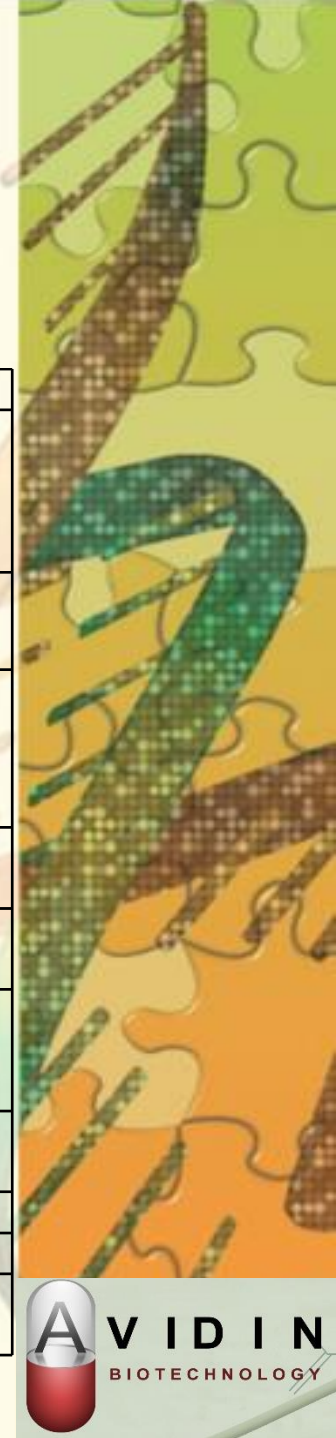
Cyp4a12b

cdna sequence bc060945



Represszált gének.

Ac-915 tumor / induced tumor



Term	Count	%	PValue	Genes
:0007010~cytoskeleton organization and biogenesis	28	7.31%	1.17E-05	Myh11, Arhgef11, Myo7a, Epb4.1l2, Dlg1, Arpc2, Tagln, Trpm7, Tubd1, Snap23, Rdx, Ndel1, Birc5, Actg2, Krt1, Ppp4c, Pfn2, Tbce, Wasl, Lcp1, Tubb4, Cenpj, Vill, Tuba1a, Fmn1, Capn3, Dnaic1, Rhoq,
:0015630~microtubule cytoskeleton	16	4.18%	0.00664	Cetn3, Dynlt3, Tubb4 , Cenpj, Nek2, Akap9 , Cenpf, Tubd1, Tuba1a , Cdc2a, Ndel1, Birc5, Brca1, Npm1, Dnaic1, Ppp4c,
:0007049~cell cycle	29	7.57%	9.93E-04	Gadd45a, Ras , Dlg1, Ncapd2, Cdca3, Anxa1, Cdc2a, Birc5, Brca1, Psmd13, Npm1, Tgfa, Rbm7, Jun , Pcnf, Btg3, Cetn3, Tsc2, Mns1, Ccna2 , Maff, Nek2, Cdkn2c, Cenpf, Ddit3 (DNA-damage inducible transcript 3) , Txnip, Ccnb1 , Ube2c, Pttg1,
:0000278~mitotic cell cycle	14	3.66%	0.00237	Btg3 , Cetn3, Dlg1, Ccna2, Nek2, Ncapd2, Cenpf, Cdca3, Cdc2a, Birc5, Ccnb1, Ube2c, Tgfa, Pttg1,
:0051301~cell division	11	2.87%	0.02743	Arhgef11, Cetn3, Birc5 , Ccnb1, Ccna2, Nek2, Ube2c, Ncapd2, Cdca3 (cell division cycle associated 3) , Pttg1, Cdc2a ,
:0000902~cell morphogenesis	21	5.48%	0.00541	Arhgef11, Ing2, Tsc2, Wasl, Tubb4, Myo7a, Egfr , Epb4.1l2, Dlg1, Igfbp4 , Ctnna1, Rdx, Ndel1, Alcam, Brms1l, Igfbp7 , Rhoq, Cdc42se1, Tbce, Btg1, Pak2,
:0031410~cytoplasmic vesicle	16	4.18%	0.00568	Pla2g4a, Snapin , Myo7a, Egfr , Snap23, Tff3, Pdkp1, Rab7, Sec23ip , Spg21, Tlr1, Nostrin, Sec24b, Pip5k3, Ica1, Sec23a ,
:0007088~regulation of mitosis	5	1.31%	0.01555	Birc5, Dlg1, Tgfa, Cenpf, Cdc2a ,
:0048193~Golgi vesicle transport	6	1.57%	0.03495	Rab6, Stx6 (syntaxin 6) , Sec24b , Lman1, Sec23a, Snap23,
:0015630~microtubule cytoskeleton	16	4.18%	0.00664	Cetn3, Dynlt3, Tubb4, Cenpj, Nek2, Akap9, Cenpf, Tubd1, Tuba1a, Cdc2a, Ndel1, Birc5, Brca1 , Npm1, Dnaic1, Ppp4c,

The **ArrayExpress Archive** is a database of functional genomics experiments including gene expression where you can query and download data collected to **MIAME** and **MINSEQE** standards. **Gene Expression Atlas** contains a subset of curated and re-annotated Archive data which can be queried for individual gene expression under different biological conditions across experiments.

Experiments Archive

33537 experiments, 969491 assays



Experiment, citation, sample and factor annotations

[Browse experiments](#) | [platform designs](#) | [protocols](#) | [files](#)

[Query](#)

Gene Expression Atlas

3558 experiments, 99484 assays, 20806 conditions

Genes

Conditions

up/down in

Any species

[Query](#)

[Gene Expression Atlas Home](#)

Experiment, citation, sample and factor annotations [clear]

Filter on [reset]

Display options [reset]

Oryza sativa

25 experiments per page

ArrayExpress data only

Advanced query syntax

Detailed view

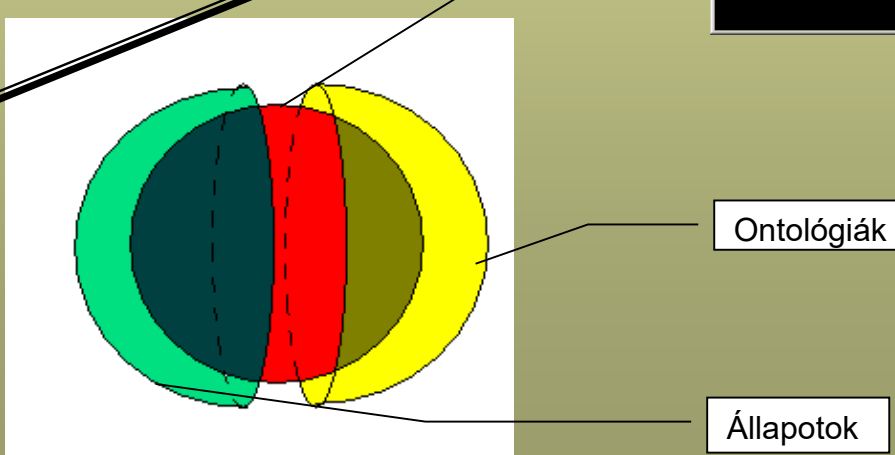
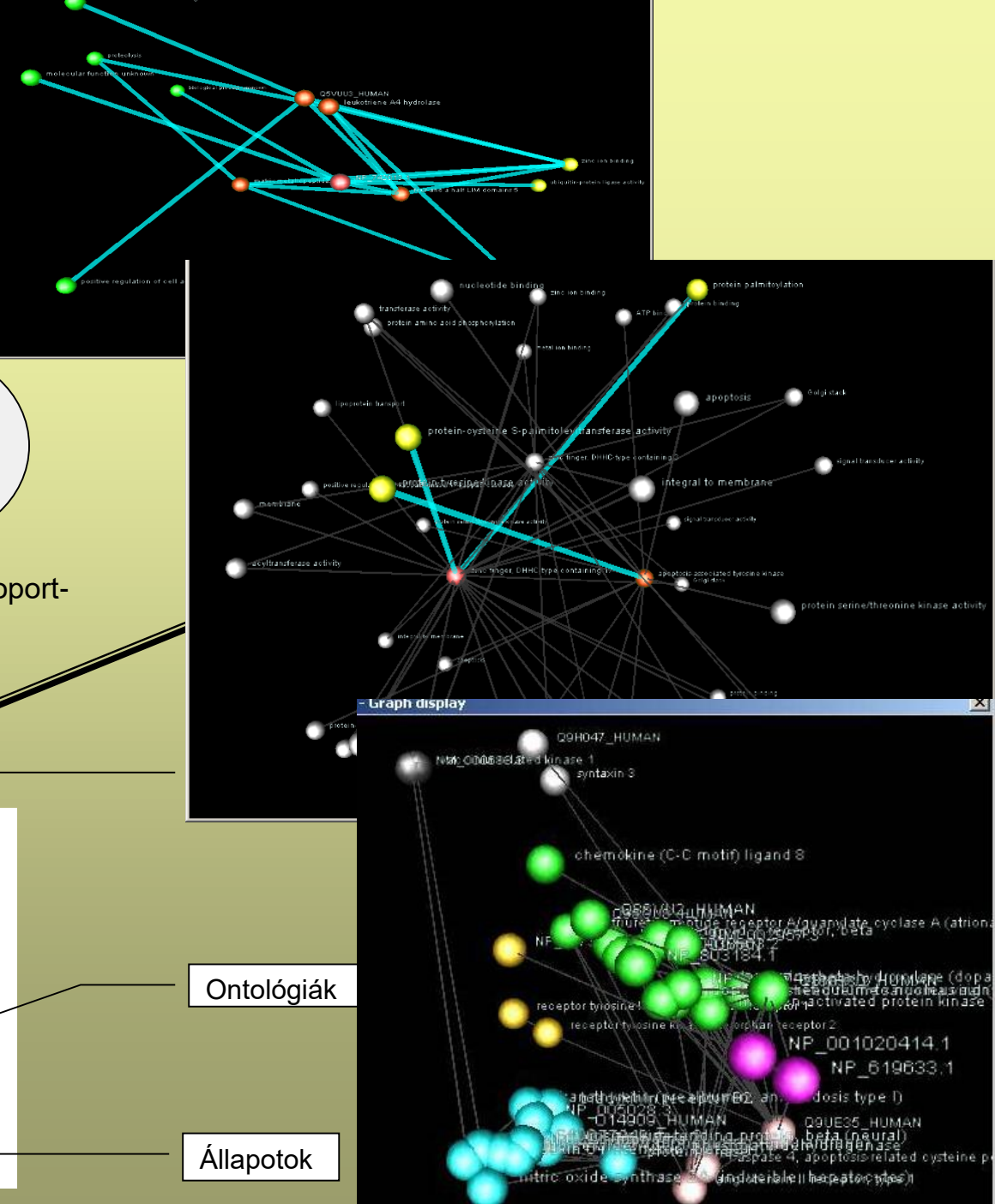
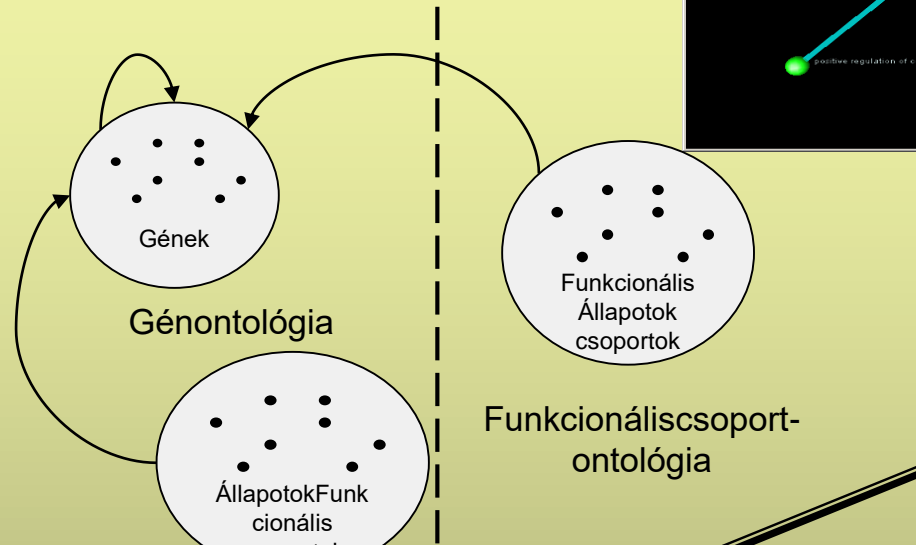
Submitter/reviewer login

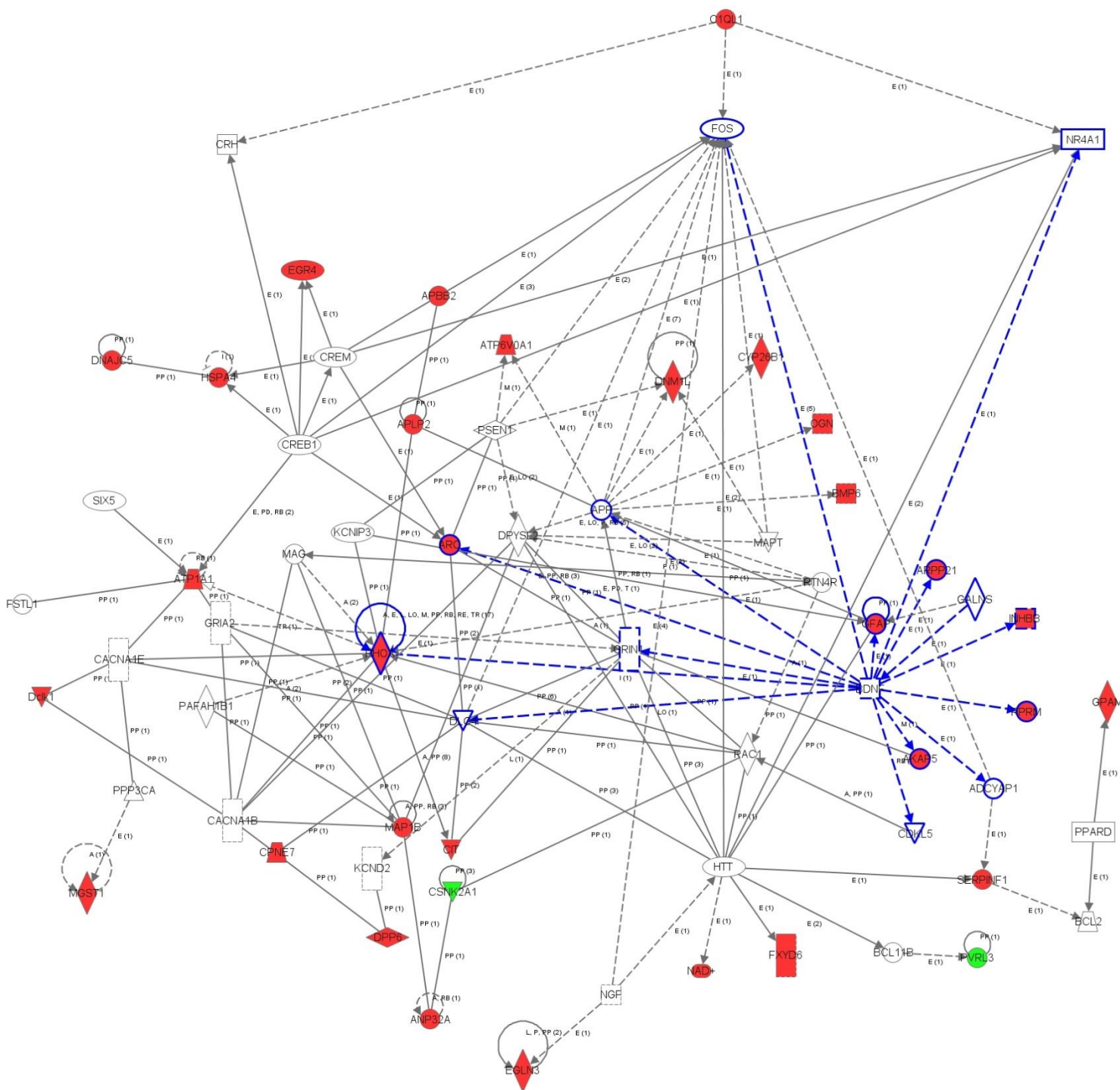
ArrayExpress Browser Help

[Query](#)

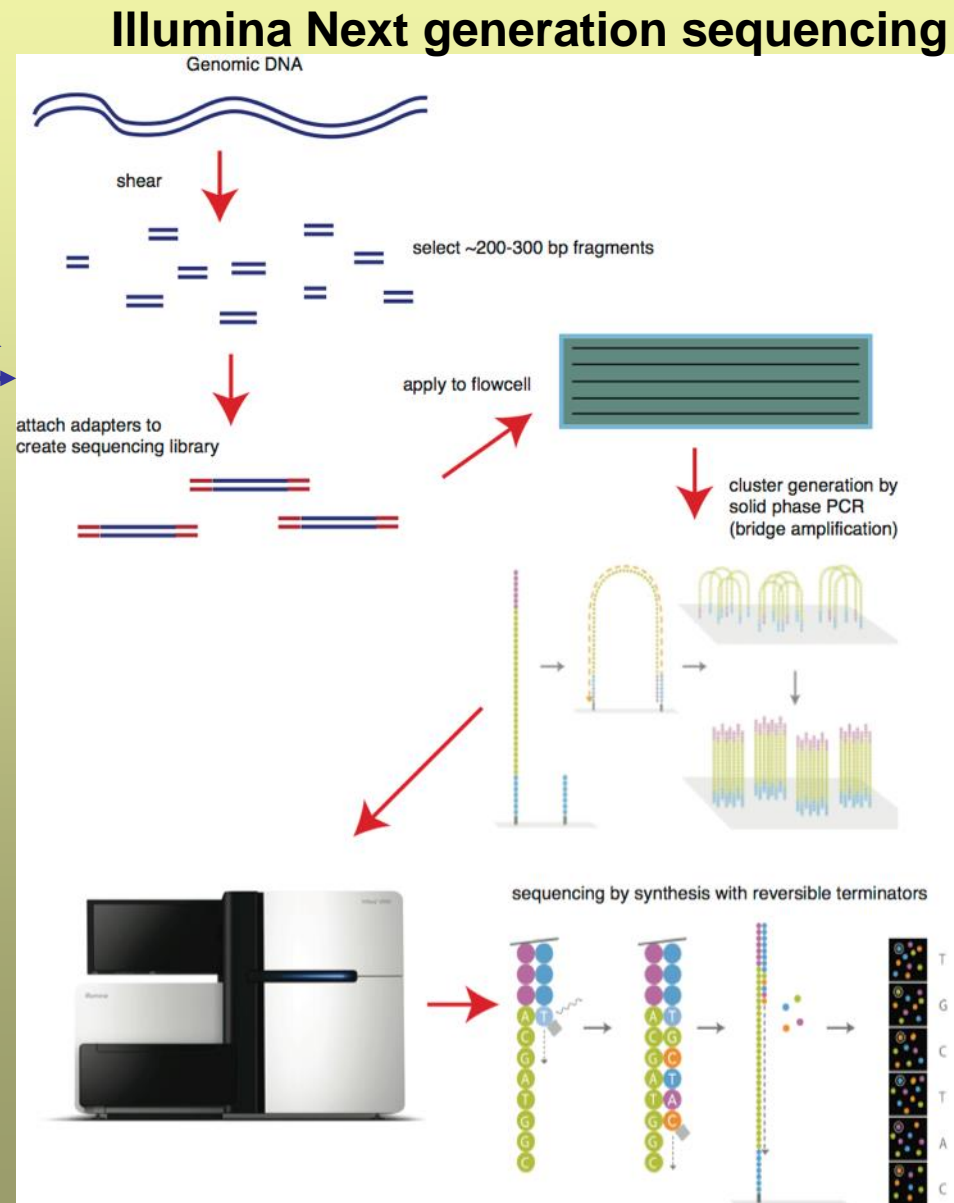
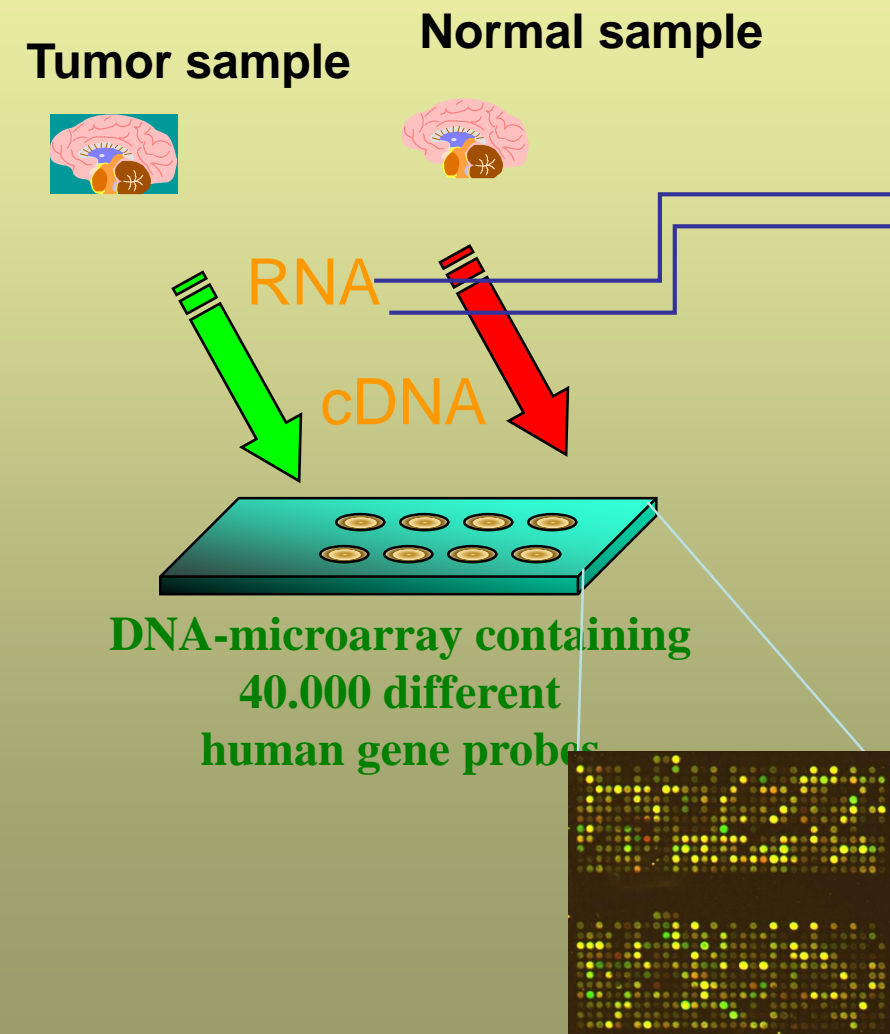
Accession	Title	Assays	Species	Date	Processed	Raw	Atlas
E-GEOID-11014	A diverse set of microRNAs and microRNA-like small RNAs in developing rice grains	6	Oryza sativa	2008-08-20			-
E-GEOID-22564	A global analysis of QTLs for expression variations in rice shoot at early seedling stage	226	Oryza sativa Indica Group	2011-06-24			-
E-GEOID-28308	A single functional blast resistance gene Pi54 activates complex defense mechanism in Rice	8	Oryza sativa Japonica Grou	2011-12-08			-
E-GEOID-13161	A transcriptome atlas of rice cell types uncovers cellular, functional and developmental hierarchies	168	Oryza sativa	2010-05-19			-
E-GEOID-14729	A transcriptomic analysis of super-hybrid rice LYP9 and its parental lines	96	Oryza sativa	2009-04-22			-
E-GEOID-33409	Abscission layer (AL) at the base of flower in rice using laser micro-dissection: NIL(qSH1) AL vs. Nipponbare AL, NIL(qSH1) AL vs.	11	Oryza sativa	2012-03-31			-
E-GEOID-21772	affy_meloidogyne_rice2-Oryza sativa genes expressed in the early compatible interaction with root-knot nematode	6	Oryza sativa	2011-09-24			-
E-GEOID-34192	affy_riz_2011_7-: Transcriptomic analysis of rice leaves challenged with virulent and avirulent Xoo strains	18	Oryza sativa	2012-10-15			-
E-GEOID-19844	affy_xoo_rice-Transcriptomics-based identification of Xoo strain BAI3 Talc targets in rice	9	Oryza sativa	2010-12-01			-
E-GEOID-40964	Agilent 44K Rice Oligo DNA Microarray RAP-DB (G2519F#15241); genome-wide transcriptional analysis of Aluminum-responsive g	16	Oryza sativa	2012-09-19			-
E-GEOID-14462	An Expression Alteration of Small RNA Profiling in Autotriploids Derived from Rice Twin-Seedlings	2	Oryza sativa	2009-07-14			-
E-GEOID-27726	Analysis of anther transcriptomes to identify genes contributing to meiosis and male gametophyte development in rice	12	Oryza sativa Indica Group	2011-06-10			-
E-GEOID-16796	Analysis of PHOTOPERIOD SENSITIVITY5 Sheds Light on the Role of Phytochromes in Photoperiodic Flowering in Rice	4	Oryza sativa	2010-05-16			-
E-GEOID-5986	Analysis of Rice microRNAs Expression under Drought Stress	24	Oryza sativa	2010-06-11			-
E-GEOID-8670	Analysis of the Interaction Transcriptome During Biotrophic Invasion of Rice by the Blast Fungus, Magnaporthe oryzae	24	Magnaporthe oryzae, Oryz	2009-04-08			-
E-GEOID-7567	BTH-responsive rice genes	8	Oryza sativa	2010-06-05			-
E-GEOID-17169	bulked RILs with high and low grain number per panicle derived from 2 cultivars at panicle primordia stage	4	Oryza sativa Indica Group	2009-12-31			-
E-GEOID-13152	Characterization of unique small RNA populations from rice grain	4	Oryza sativa	2008-11-24			-
E-GEOID-35502	Characterizing the role of rice NRAMP5 in Manganese, Iron and Cadmium Transport	20	Oryza sativa Japonica Grou	2012-02-03			-
E-GEOID-8767	Chilling stress transcriptional regulatory networks of japonica rice	44	Oryza sativa	2009-12-30			-

Adatbáziskutatás, adatbányászás

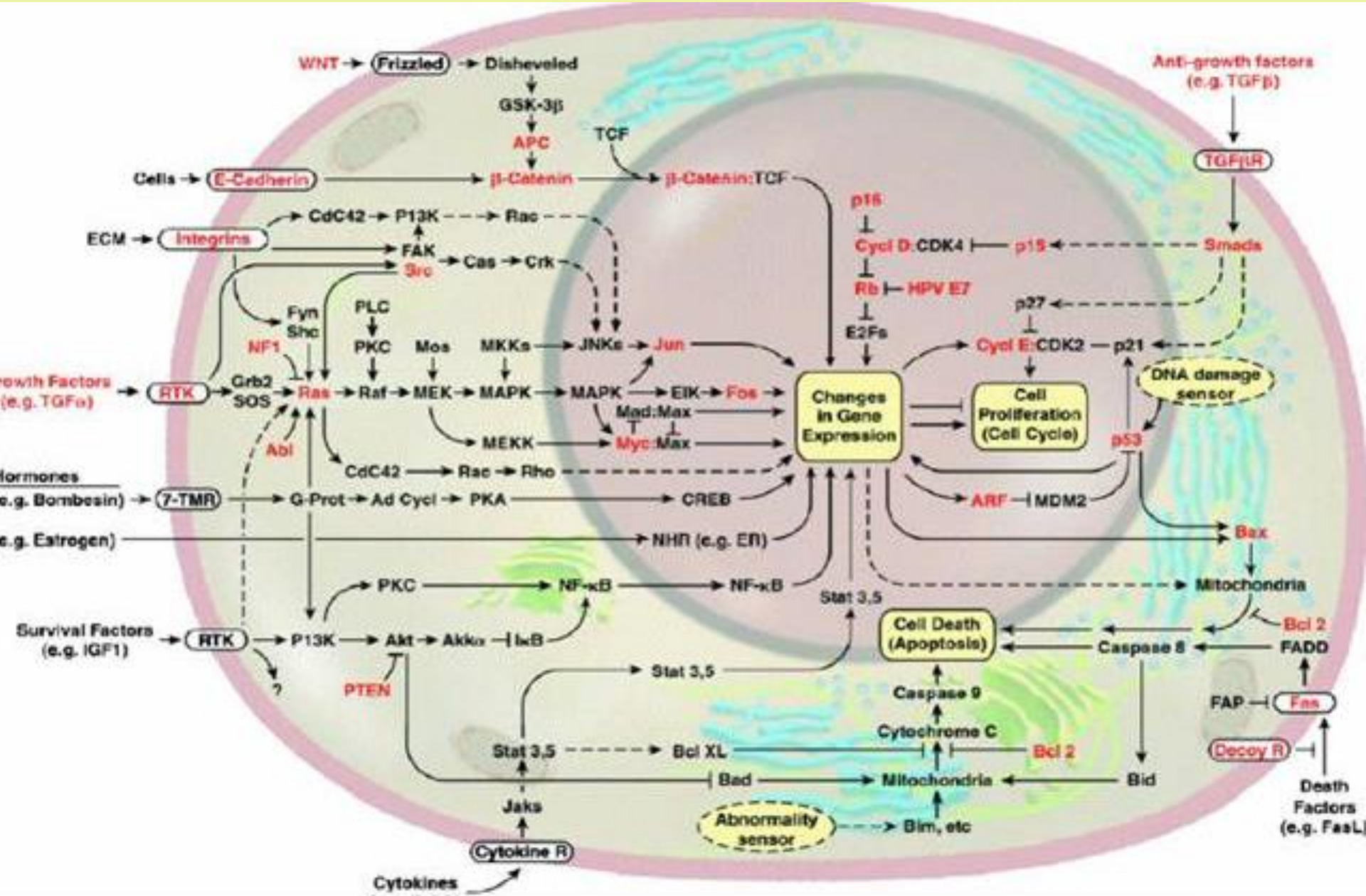


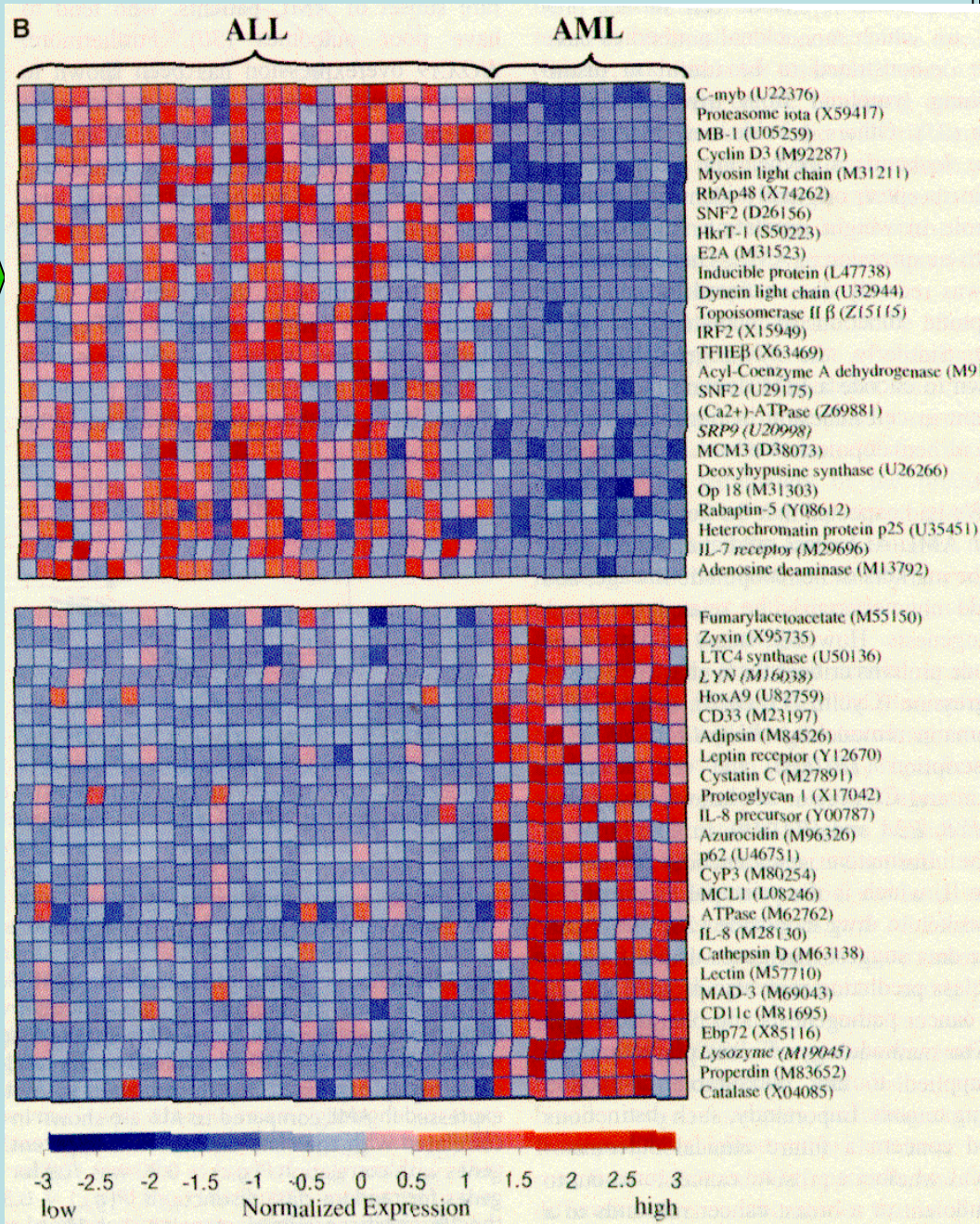
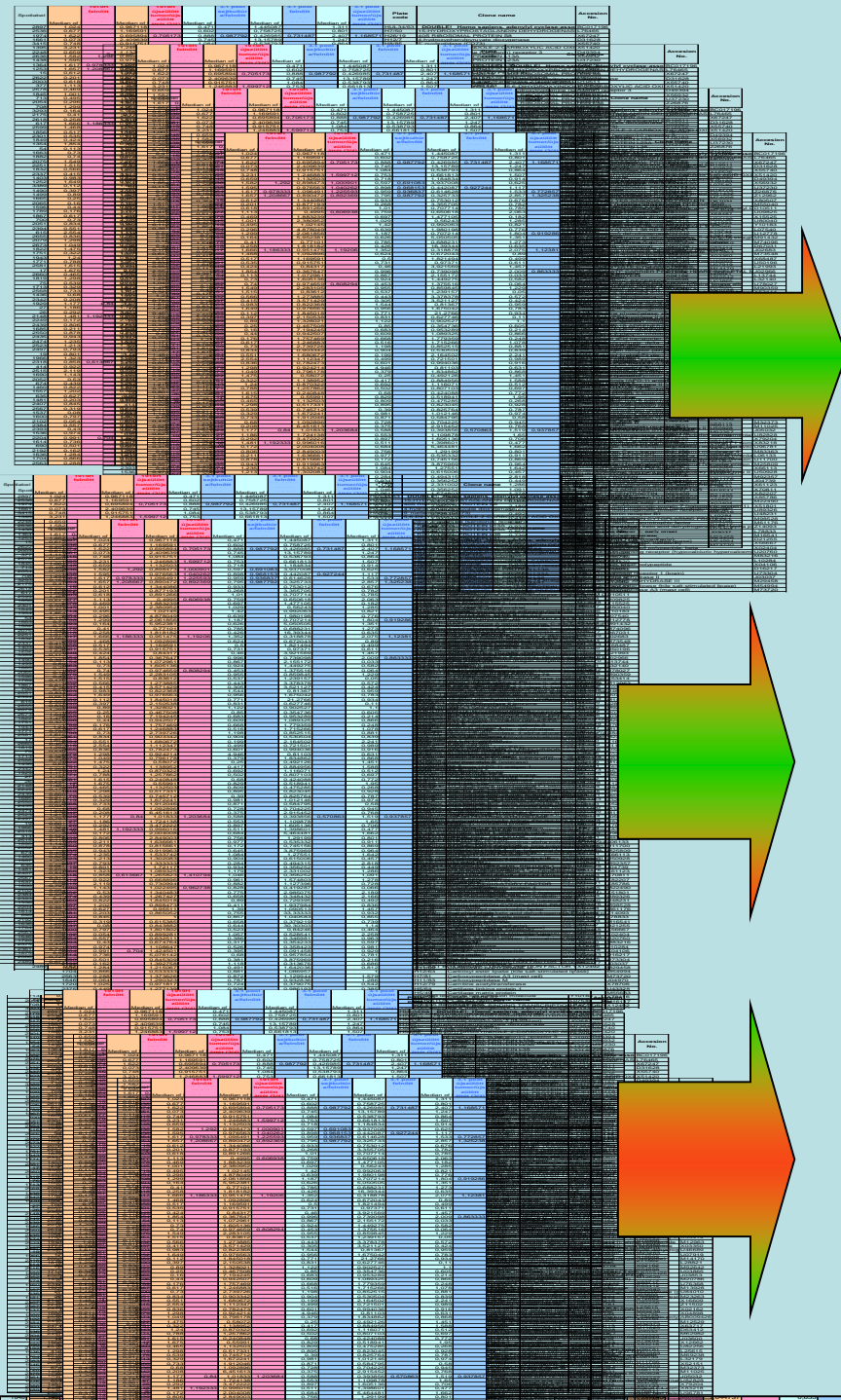


Application of global genomic screening technologies in cancer genomics:



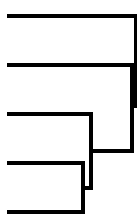
Complex regulatory networks, disregulation of signalling pathways result in gene expression differences (8000!)





Különböző pajzsmirigy eredetű betegségek hierarhikus klaszteranalítise

Struma
Hashimoto
Papilloma
Follie.
Microfoll.

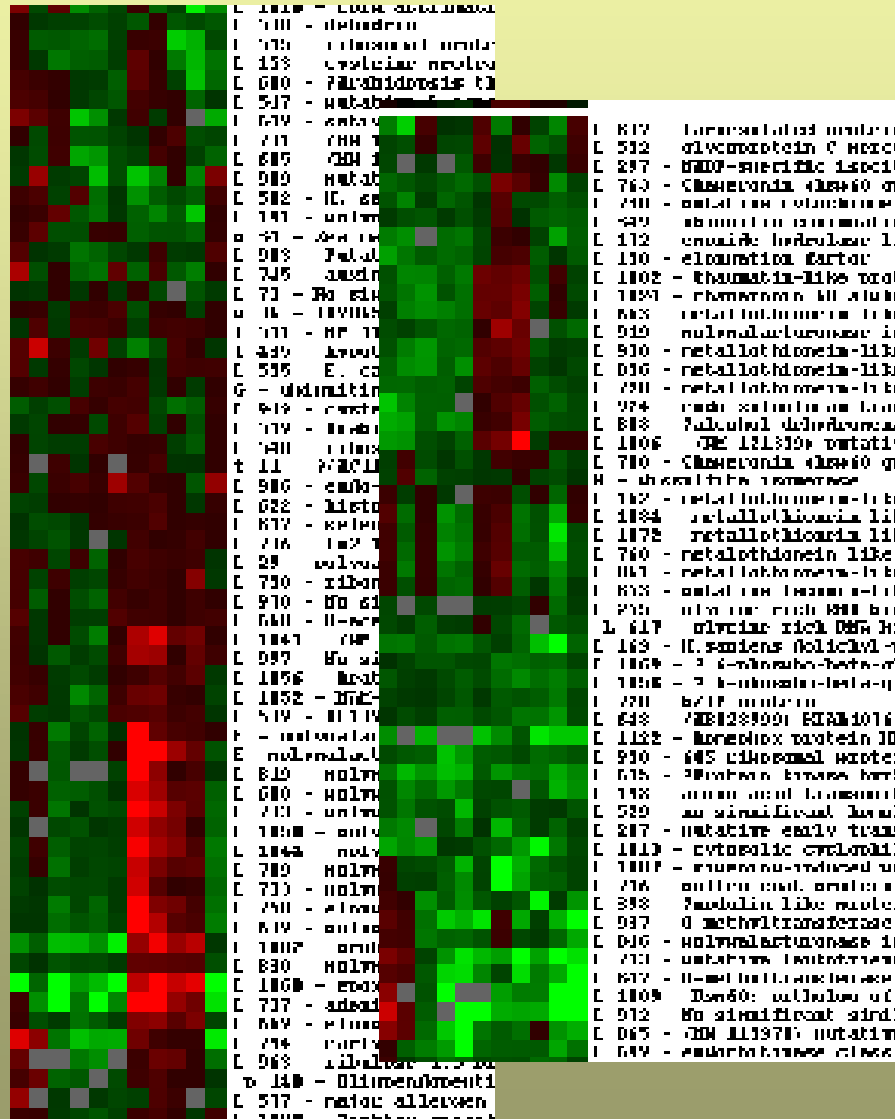


Hierarchical cluster analysis with Omnipix

Betegség-specifikus klaszterek meghatározása

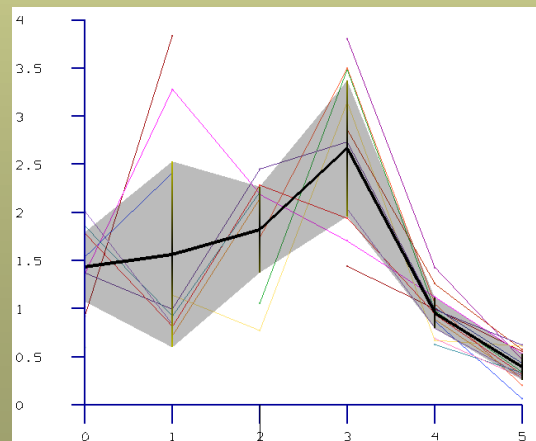
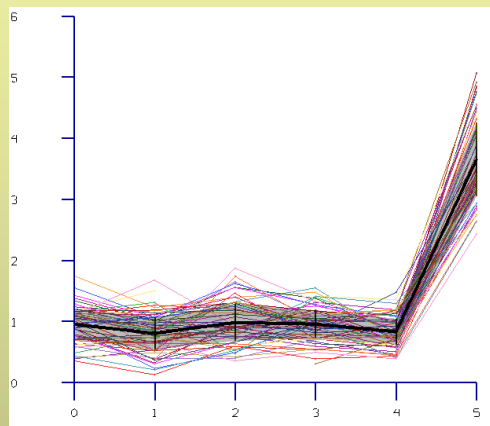
Legközelebbi kapcsolat: microfollicular & follicular carc.,
papilloma ehhez az alcsoporthoz hasonlít.

Struma and Hashimoto különböznek
egymástól és más betegség csoportoktól.

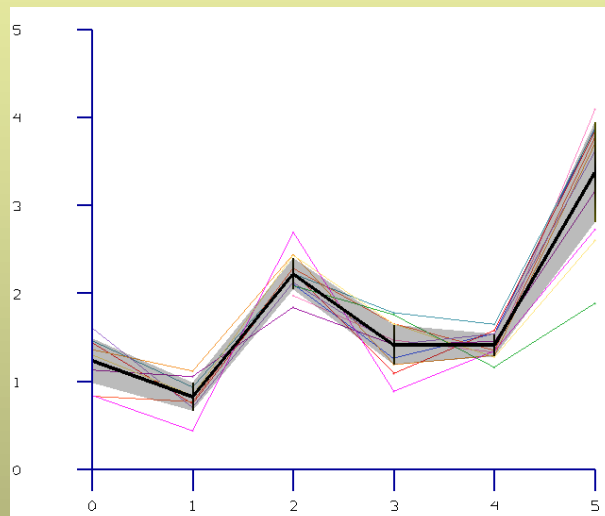


Betegségspecifikus génmarkerek azonosítása

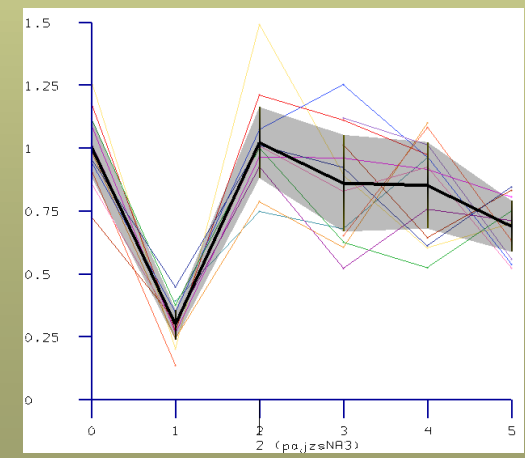
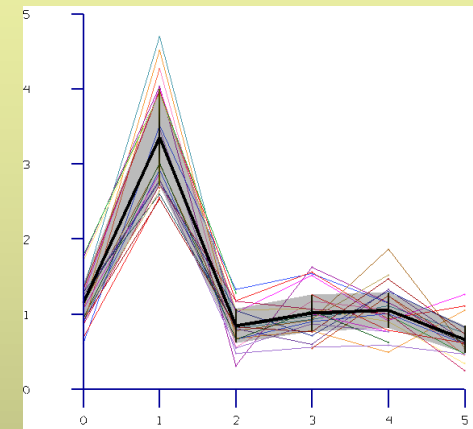
Struma



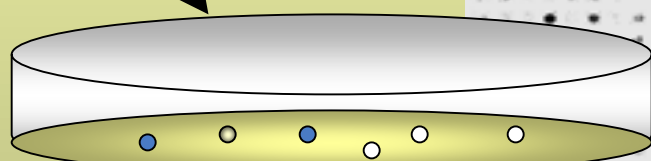
Microfollicular + Struma



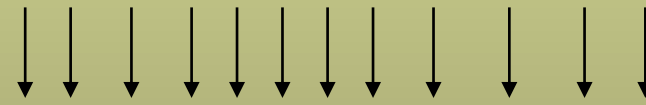
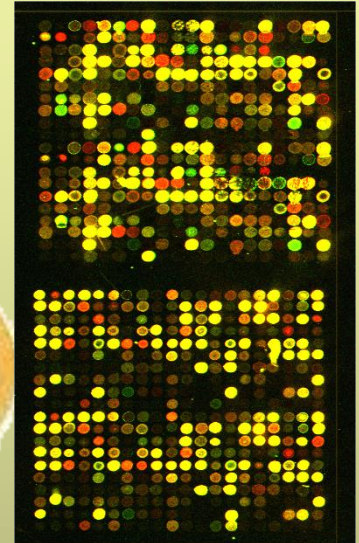
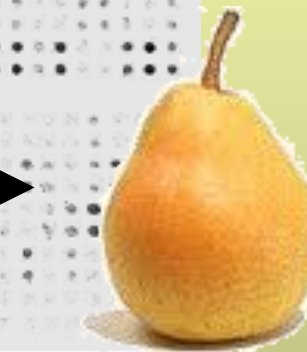
Hashimoto



Körte érésével kapcsolatos gének azonosítása



cDNS könyvtár

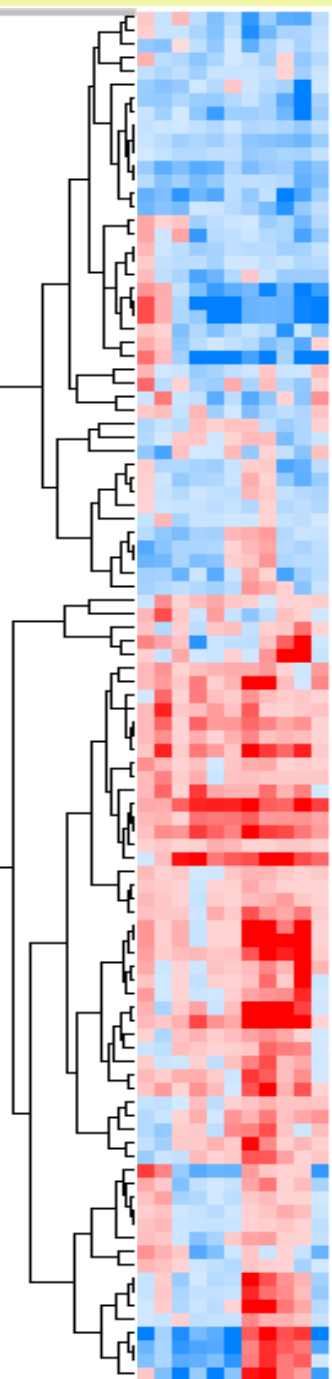


A C 3 6 9 12 15 18 21 24 FR

A: növekvő kis termés

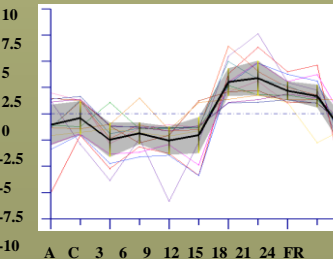
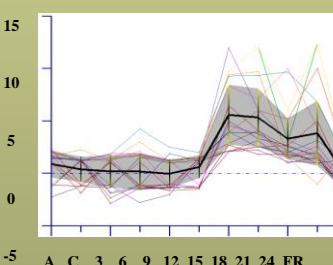
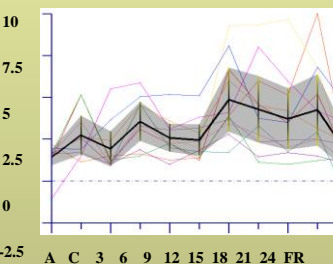
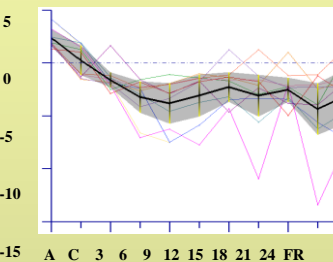
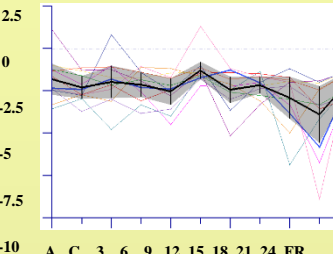
C: nem növekvő, éretlen
termés

FR: összeaszott, éretlen termés



translationally controlled tumor prot.	AJ504884
pollen coat protein	AJ504885/AJ504757
early transcription factor small subu.	
glutathione reductase	AJ504702
glycine-rich RNA-binding prot.	AJ504706
chloroplast protein-translocon-like	AJ504940
rod photoreceptor transducin a1	
unknown protein	AJ504990
bZIP protein	AJ504931
putative protein	AJ504735/AJ504737
6-phospho-beta-glucosidase	AJ504886/AJ504901
Protein kinase byr2	AJ504942
amino acid transporter-like prot.	
EST	
cytosolic cyclophilin	AJ504887
fructose 1,6-bisphosphate aldolase	AJ504736/AJ504871
sim. to light-induced protein	AJ504762
serine/threonine prot. phosphatase	AJ504761/AJ504881
ribosomal protein YL16	AJ504882
60S ribosomal protein	AJ504870
putative leukotriene-A4 hydrolase	
EST	
unknown protein	AJ504768
nodulin-like protein	AJ504701
MAP kinase-like protein	AJ504742/AJ504883
putative protein	AJ504968
Putative serine/threonine kinase	AJ504880
auxin-repressed protein	
putative dehydrin	AJ504879
EST	
cysteine protease	AJ504704
chaperonin 60 alpha subunit	AJ504860
farnesylated protein	AJ504705
ribosomal prot. L44 isoform	AJ504862
cysteine protease inhibitor	AJ504859
putative protein	AJ504938
dehydrin	AJ504866
disulfite isomerase	AJ504878
metallothionein-like protein	AJ504876
endo-xyloglucan transferase	AJ504903
alcohol dehydrogenase	AJ504936
adenosine triphosphatase	AJ504961
Chaperonin (hsp60 gene)	
putative aminopeptidase	
hypothetical protein	AJ504707
major allergen Mal d 1	AJ504926/AJ504927
thiamatin-like protein	
glucan endo-beta-1,3-glucosidase	AJ504782/AJ504984
hypothetical protein	
beta-galactosidase 3'-fragment	AJ504849
hypothetical protein	AJ504779
Pbs 23kDa PSH	AJ504992
abscisic stress ripening protein	AJ504868
EST	
hypothetical protein	AJ504695
Ca2+-transporting ATPase	
lipoxygenase	
EST	
beta-D-galactosidase 3'	AJ504856
O-methyltransferase	
beta galactosidase	
hsp80	
sulfate transporter protein	AJ504708
polyphenol oxidase	AJ504916
hsp70	
ACC oxidase	AJ504864
methionine sulfoxide reductase	AJ504694
EST	
thaumatin-like protein	AJ504925
thaumatin-like protein 5'	AJ504928
endo-chitinase III	
proteinase inhibitor se60-like prot.	AJ504854
soluble NSF attachment protein	AJ504853
poly(1,4-a-D-galacturonide) hydrol.	AJ504693
galactokinase like protein	AJ504709
pyrrole-5-carboxylate synth.	AJ504907/AJ504855
putative RING zinc finger protein	AJ504965
abscisic stress ripening protein	AJ504700
oxidoreductase	AJ504869
major allergen Pyrc1	AJ504904
b-alanine-pyruvate aminotransfer.	AJ504858
abscisic stress ripening-like prot.	AJ504947
capsanthin/capsorubin synthase	AJ504852
expansin	AJ504699
early light-induced protein	AJ504872
putative protein	AJ504769

Nem érés specifikus



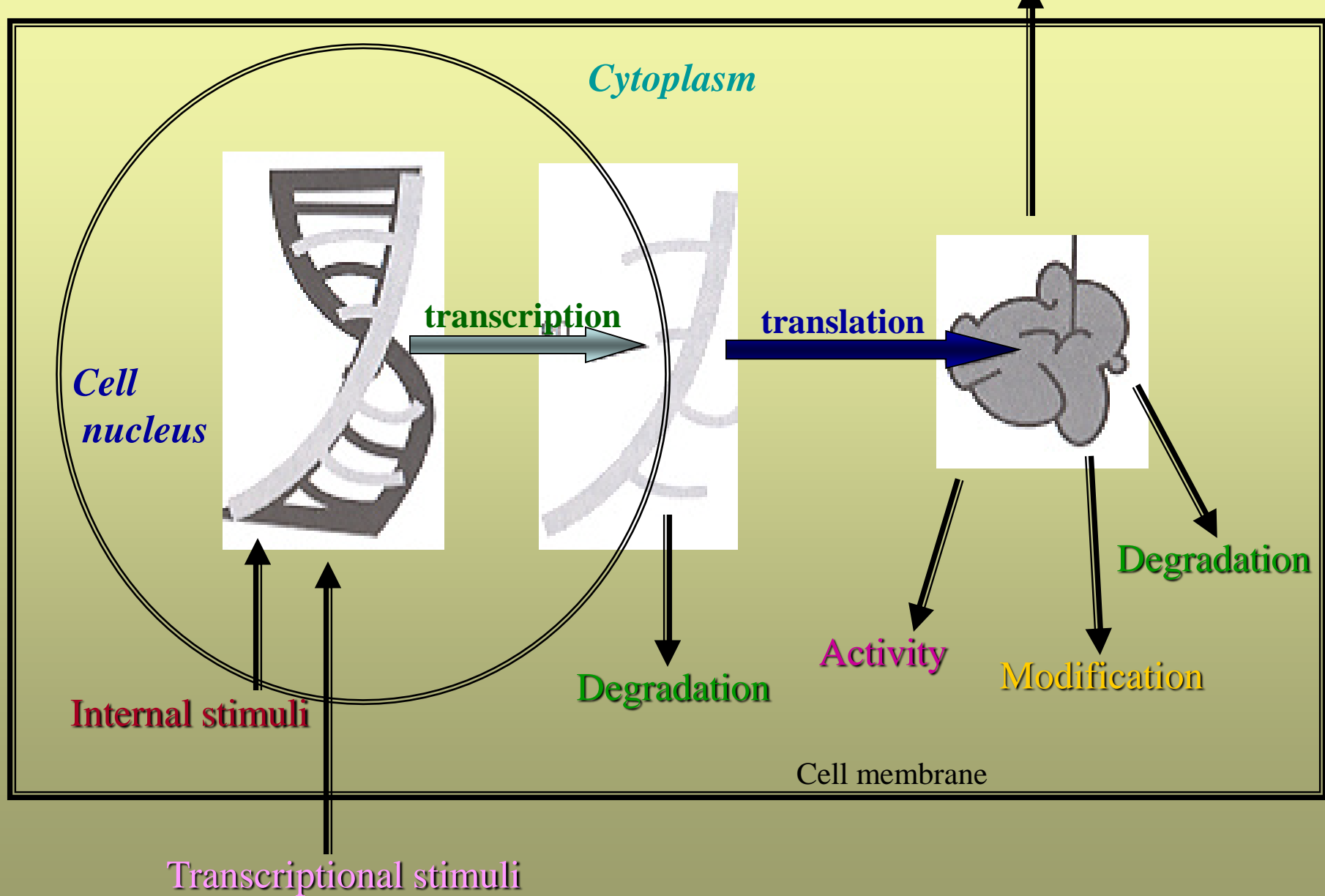
Gyümölcs növekedésre
jellemző gének

Gyümölcs növekedésre
és érésre jellemző gének

Gyümölcs érésre
jellemző gének

Gyümölcs érésre
jellemző gének

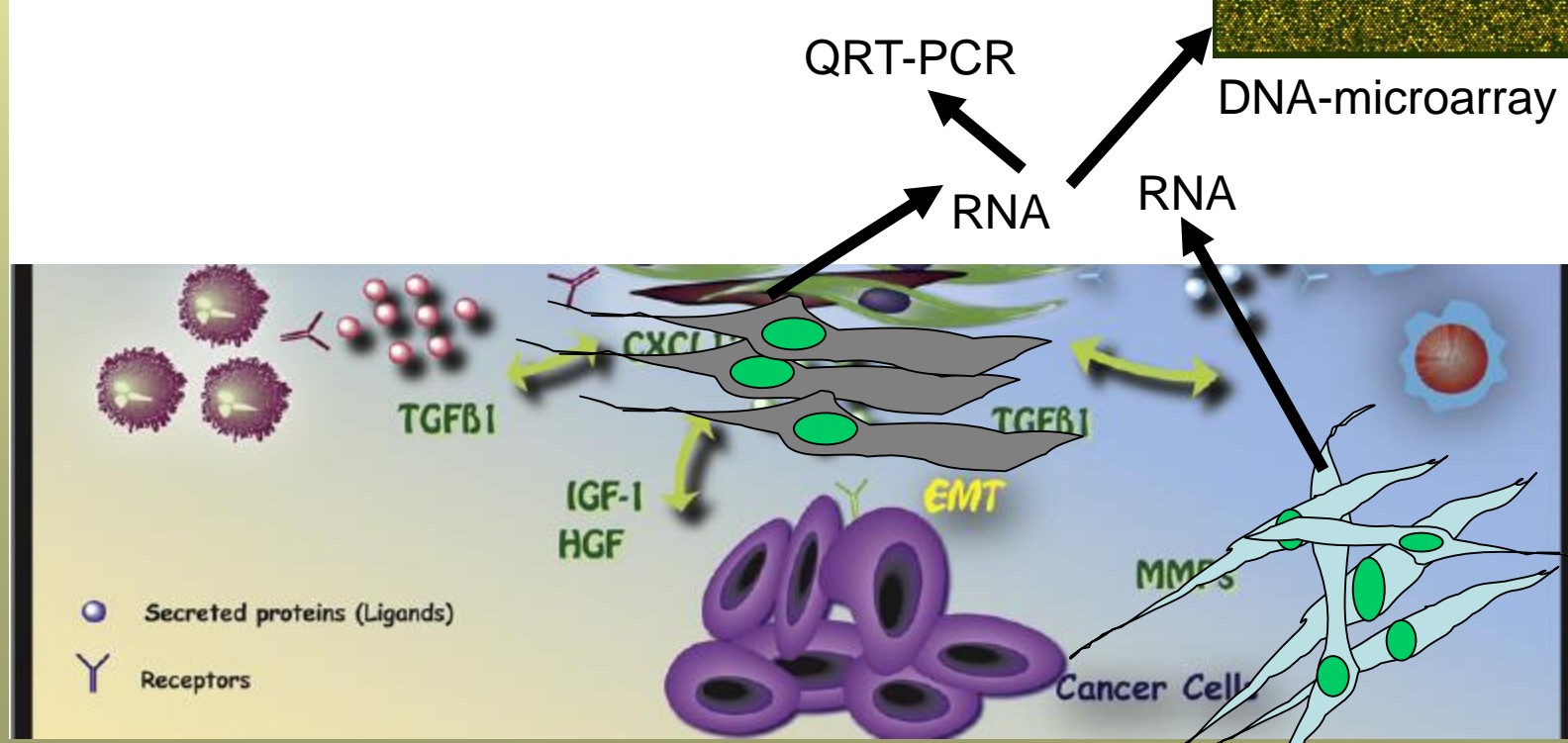
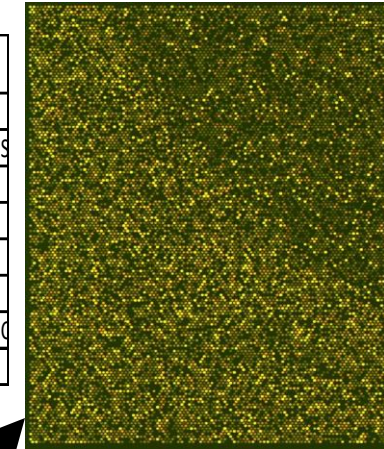
Flow of genetic information



Minták heterogenitása, heterogén minták genomikai elemzése

1. Tumorasszociált miofibroblasztok célpontjai?

Term	Count	%	PValue	Genes
hsa05210:Colorectal cancer	10	1.5244	0.00829	TCF7,PIK3CB,MSH2,JUN,PIK3CD,LEF1,BIRC5,AKT3,DVL1,TGFB2
hsa05215:Prostate cancer	16	0.9715	0.02993	FGFR1,AR,MAP2K1,NFKBIA,FOXO1,RAF1,LEF1,NFKB1,TCF7L2,TCF7L1,EP300,G9
h_cd40Pathway:CD40L Signaling Pathway	5	0.4378	0.04075	IKBKG,NFKB1,CD40,TNFAIP3,IKBKB
h_ceramidePathway:Ceramide Signaling Pathway	6	0.5254	0.0474	TNFRSF1A,BAX,MAPK3,SMPD1,NFKB1,FADD
h_compPathway:Complement Pathway	8	0.4857	0.00433	C7,MASP1,C3,CFB,C4B,C1R,C1S,CFD
h_nfkbPathway:NF-kB Signaling Pathway	7	0.613	0.01591	TNFRSF1A,IL1R1,IKBKG,NFKB1,FADD,TNFAIP3,IKBKB
hsa04340:Hedgehog signaling pathway	15	0.9107	1.00E-03	BMP4,BMP2,STK36,CSNK1A1L,GAS1,GLI2,GLI3,PRKX,GLI1,WNT2,SMO,GSK3B,C
hsa04960:Aldosterone-regulated sodium reabsorption	6	0.9146	0.02751	PDPK1,ATP1B3,PIK3CB,PIK3CD,IGF1,ATP1A1



Péter Hegyi (Med. Univ. Szeged, 1st Intest.)

Imre Boros (BRC HAS, Univ Szeged)

Ágnes Zvara, Nóra Faragó (BRC HAS)

Tumorőszejtek szerepe

CANCER GENOMICS & PROTEOMICS 6: 19-30 (2009)

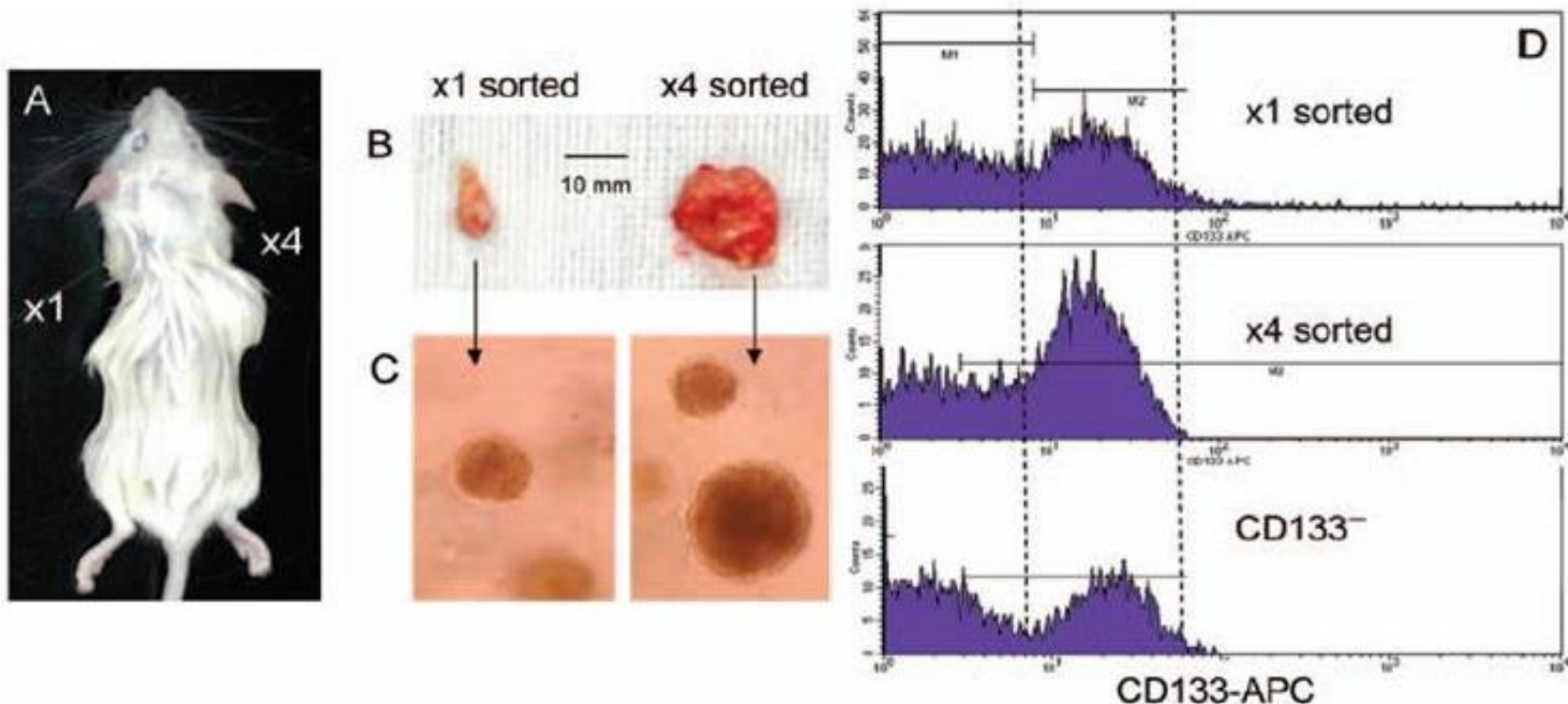
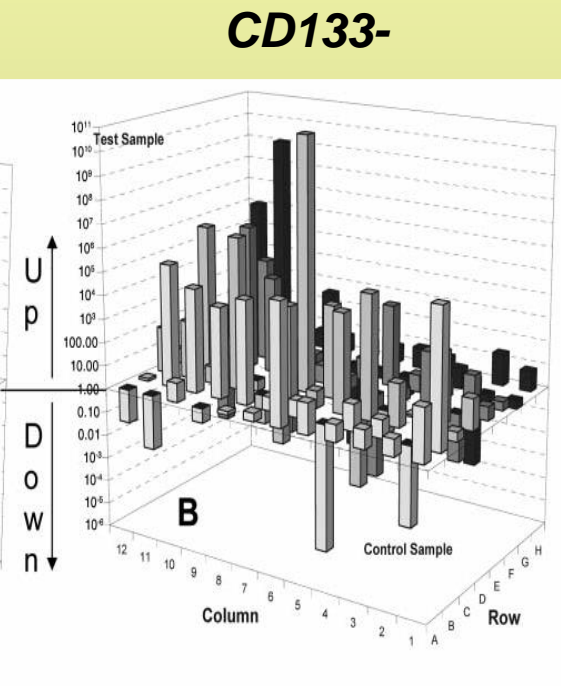
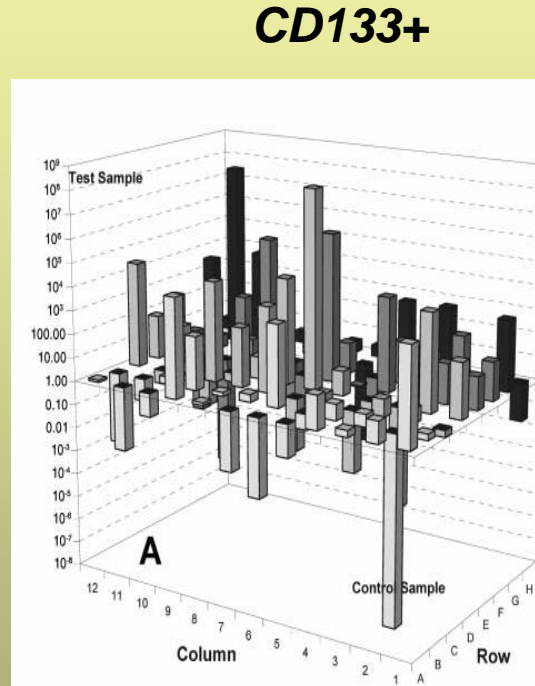
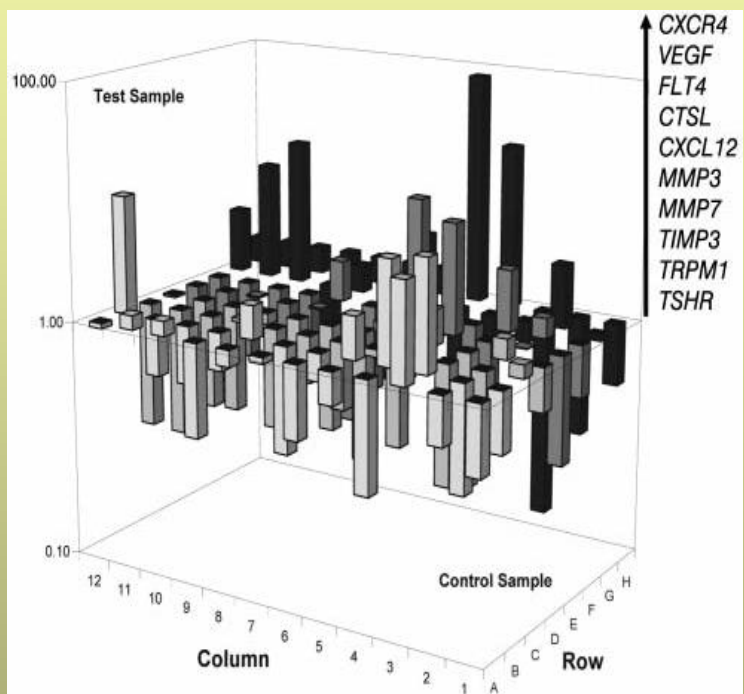


Figure 3. Increased *in vivo* tumorigenicity of repeatedly MACS-CD133⁺-sorted HCT116 cells. To minimize possible host differences, the same number (1.5×10^3) of one- and four-times sorted cells was injected into opposite flanks of NOD/SCID mice. Six out of six mice uniformly developed relatively small tumors after injection of one-time immunomagnetically sorted cells (A; left injection site, x1 CD133⁺), whereas repeatedly sorted cells induced significantly larger tumors in six of six out mice (A; right injection site; x4 CD133⁺). Removed tumors initiated by transplantation of repeatedly sorted CD133⁺ cells also displayed significantly higher levels of vascularization (B). Dissociated mouse tumor xenografts induced by repeatedly sorted CD133^{high} cells also possessed a higher ability to form floating spheres (C) and contained many more cells with high levels of CD133 (D).

Tumorőssejtek génexpressziós vizsgálata (QRT-PCR array)



Metasztázisban szereplő gének

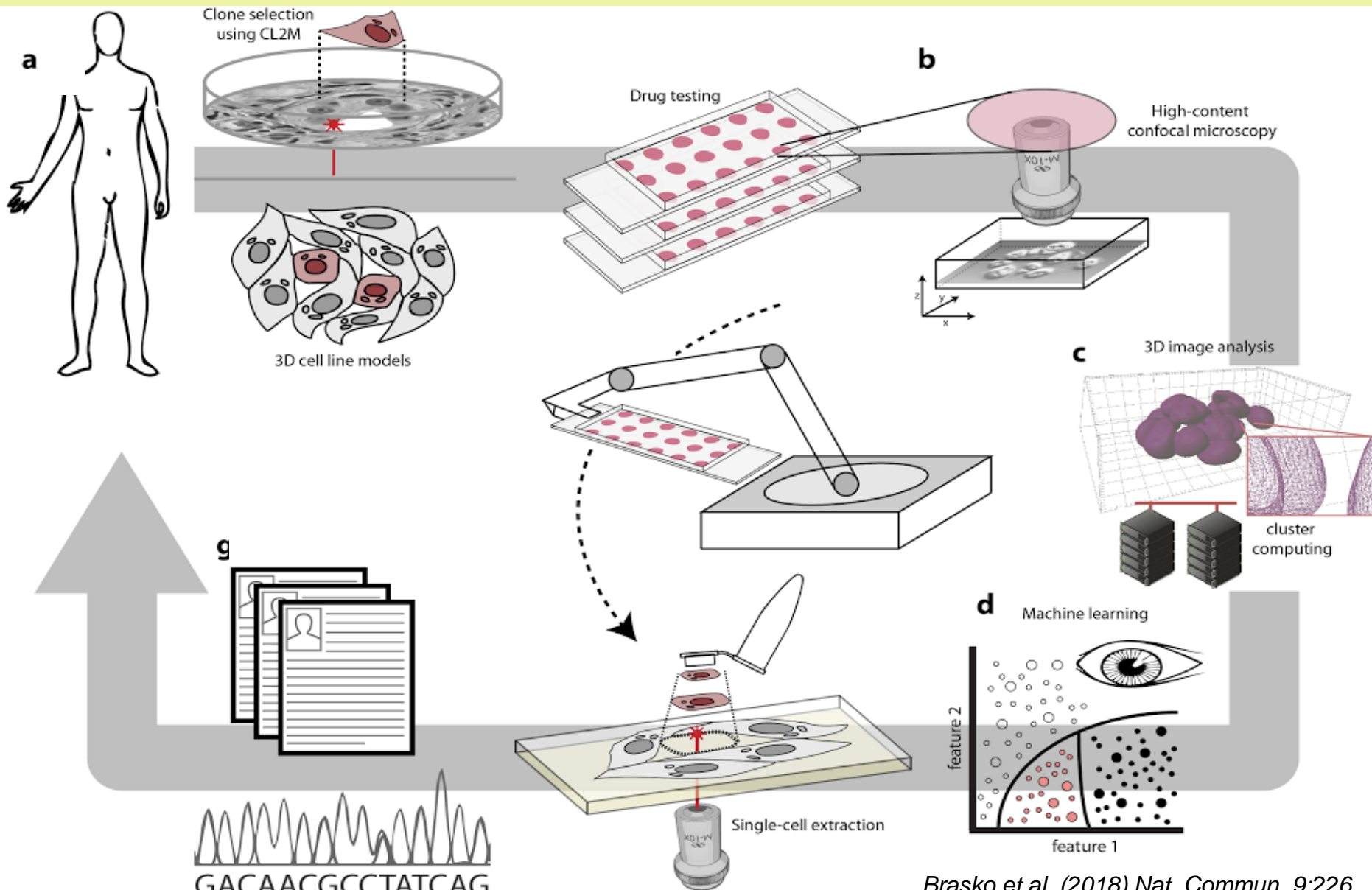
Őssejt marker gének (ABCG2, NOTCH1/2, WNT1, FGF3,...)

Az agy sejtjeinek heterogenitása

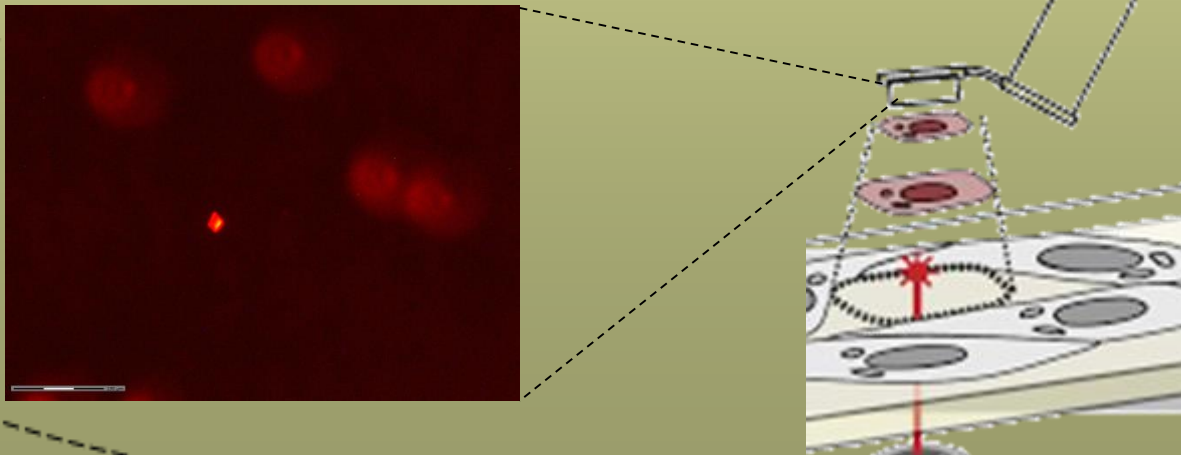
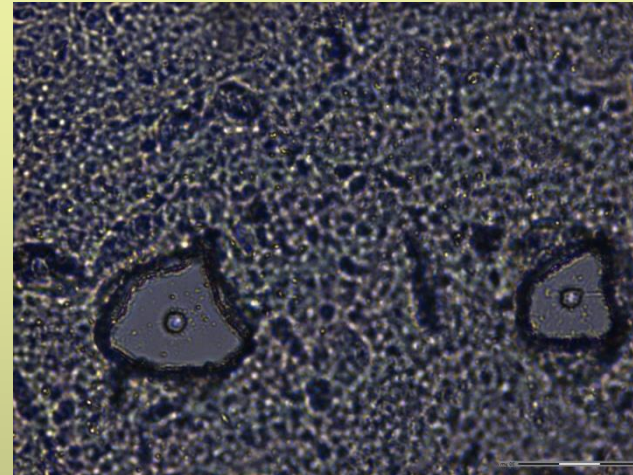
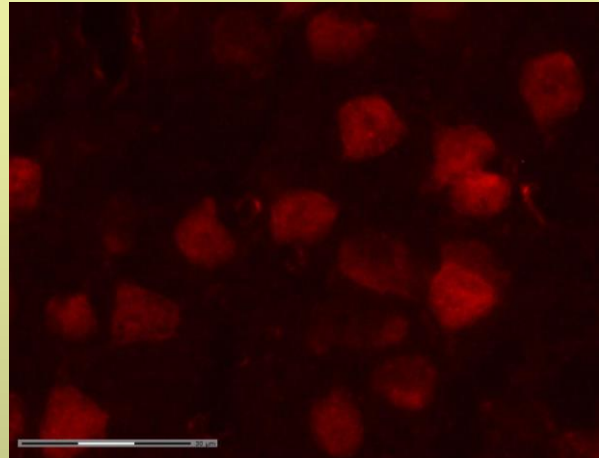
rengeteg különböző sejttípus
nagyfokú heterogenitás
megértés, adatfeldolgozás
értelelem, memória
neuronális hálózatok
patológiás állapotokban
különböző sejttípusok szerepe



Sejtek, sejtcsoportok gyűjtése lézerdisszekciós módszerrel



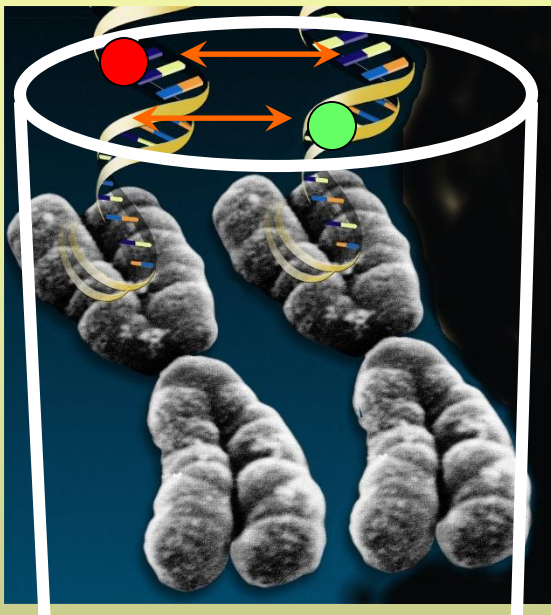
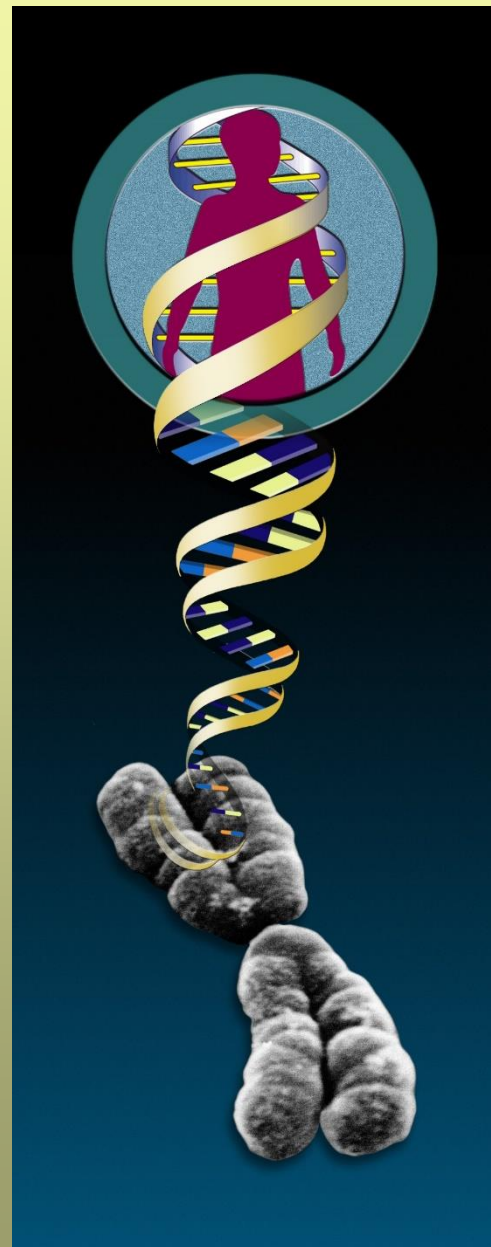
Különböző neuron típusok gyűjtése fixált, jelölt mintákból



Tamás Gábor
Nagy István
kollaboráció

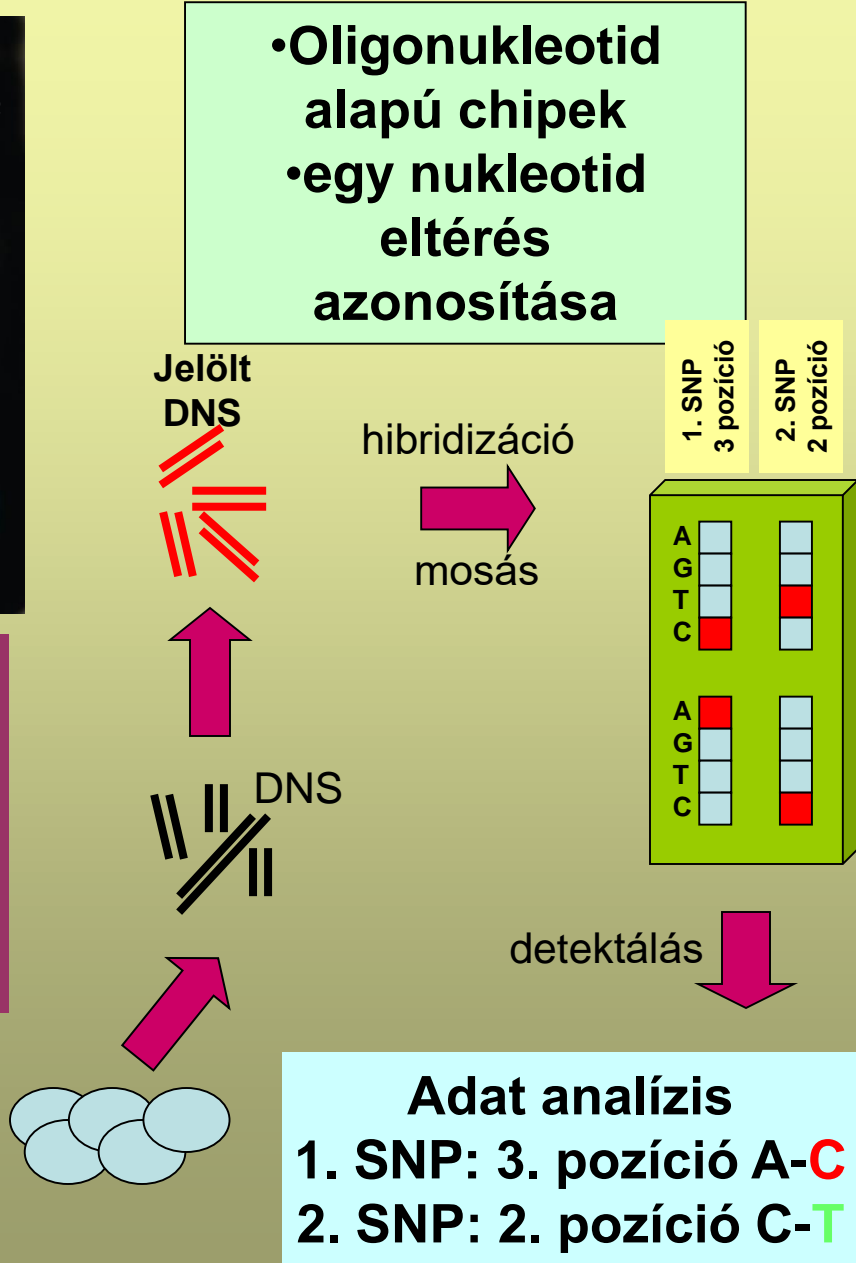
Genomi átrendeződések és változások vizsgálata csipteknikával

Pontmutációk (SNP) detektálása



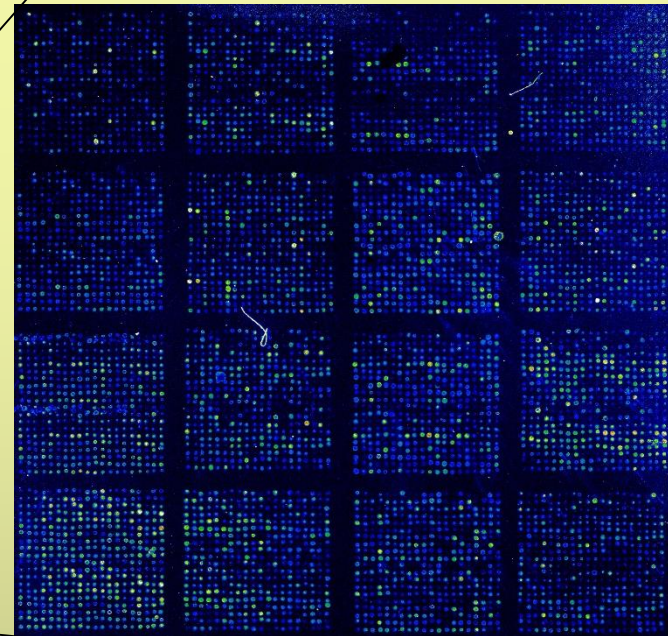
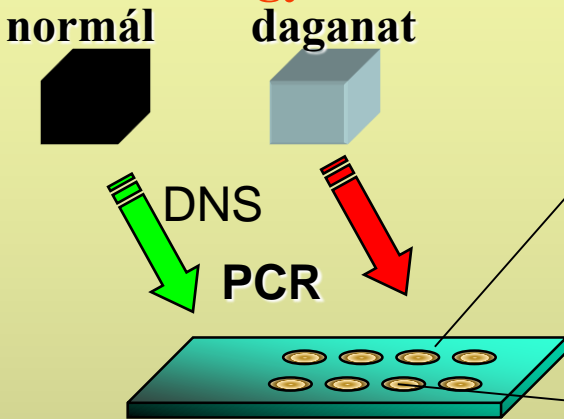
CCATGG Vad típus	GCTACC Vad típus
CCCTGG Mutáns	GT ^T ACC Mutáns

1. SNP 2. SNP

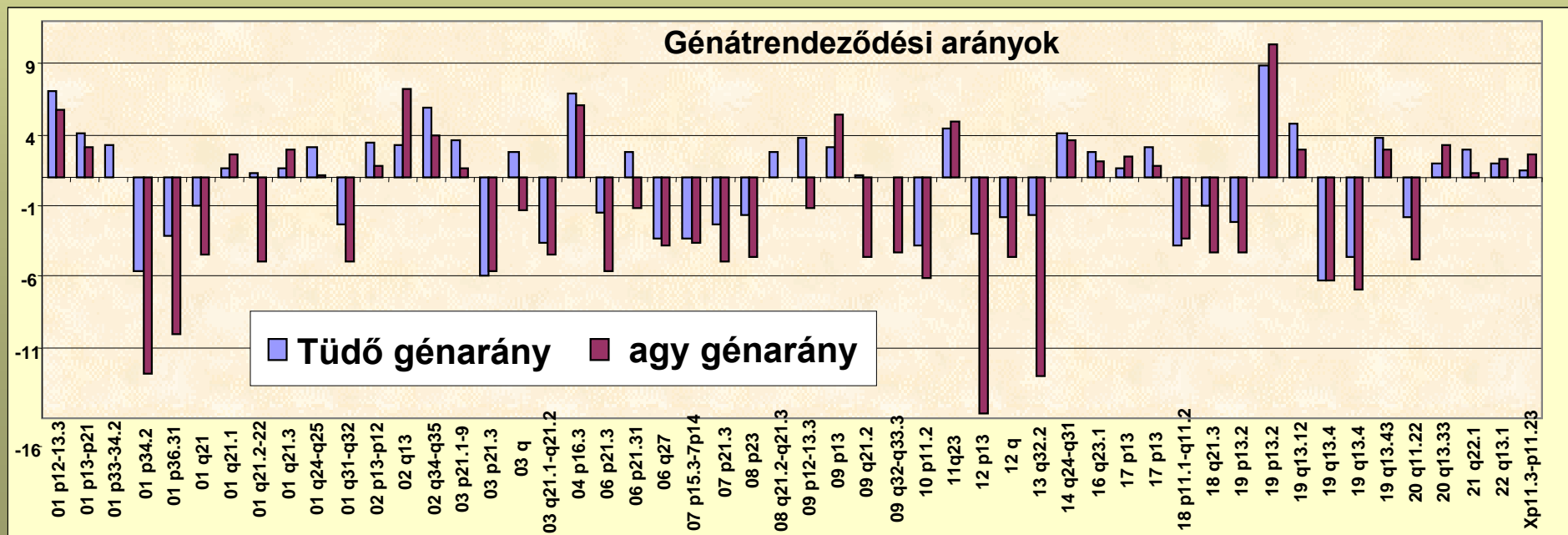


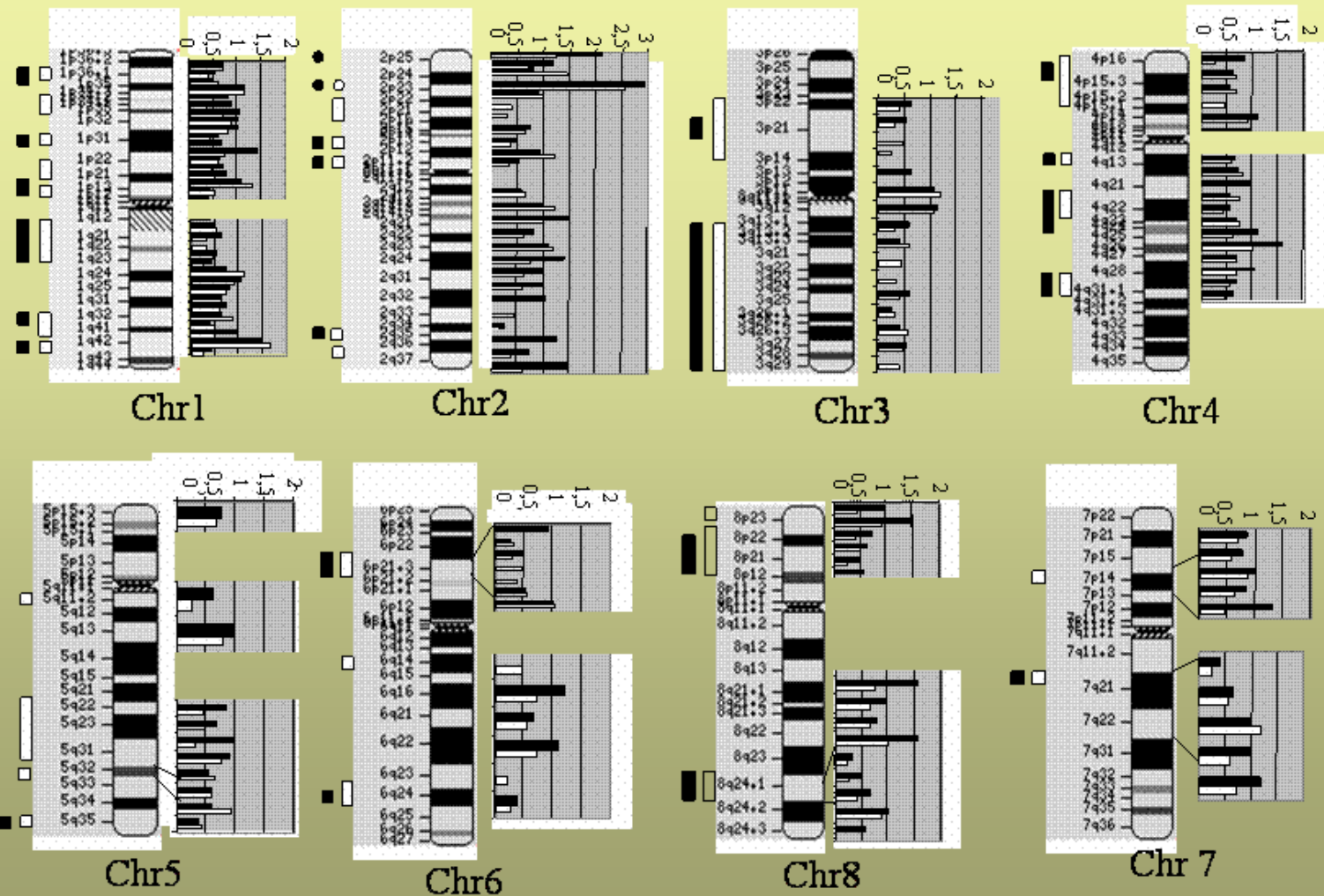
Genomszintű változások, kromoszóma rendellenességek, amplifikációk, deléciók detektálása

Paraffinba ágyazott minták

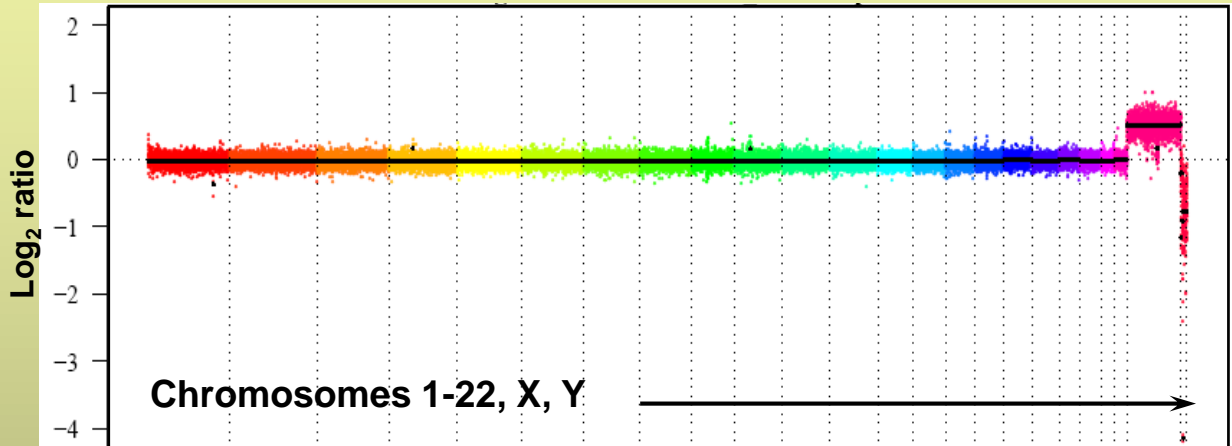


Metasztázisok, tumorok, multiplex tumorok jellemzése, igazolása

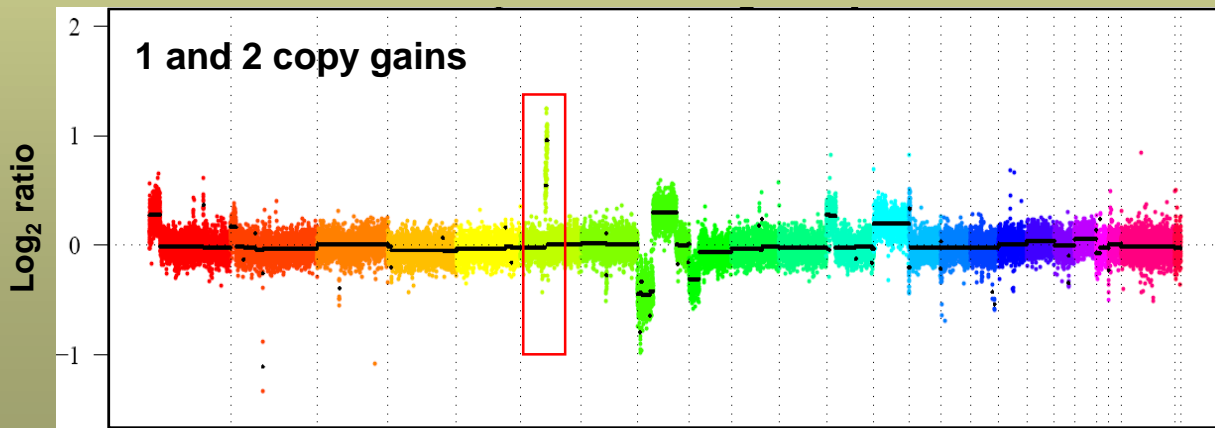




CGH nagyfelbontású (385K) teljes *genom array-vel*

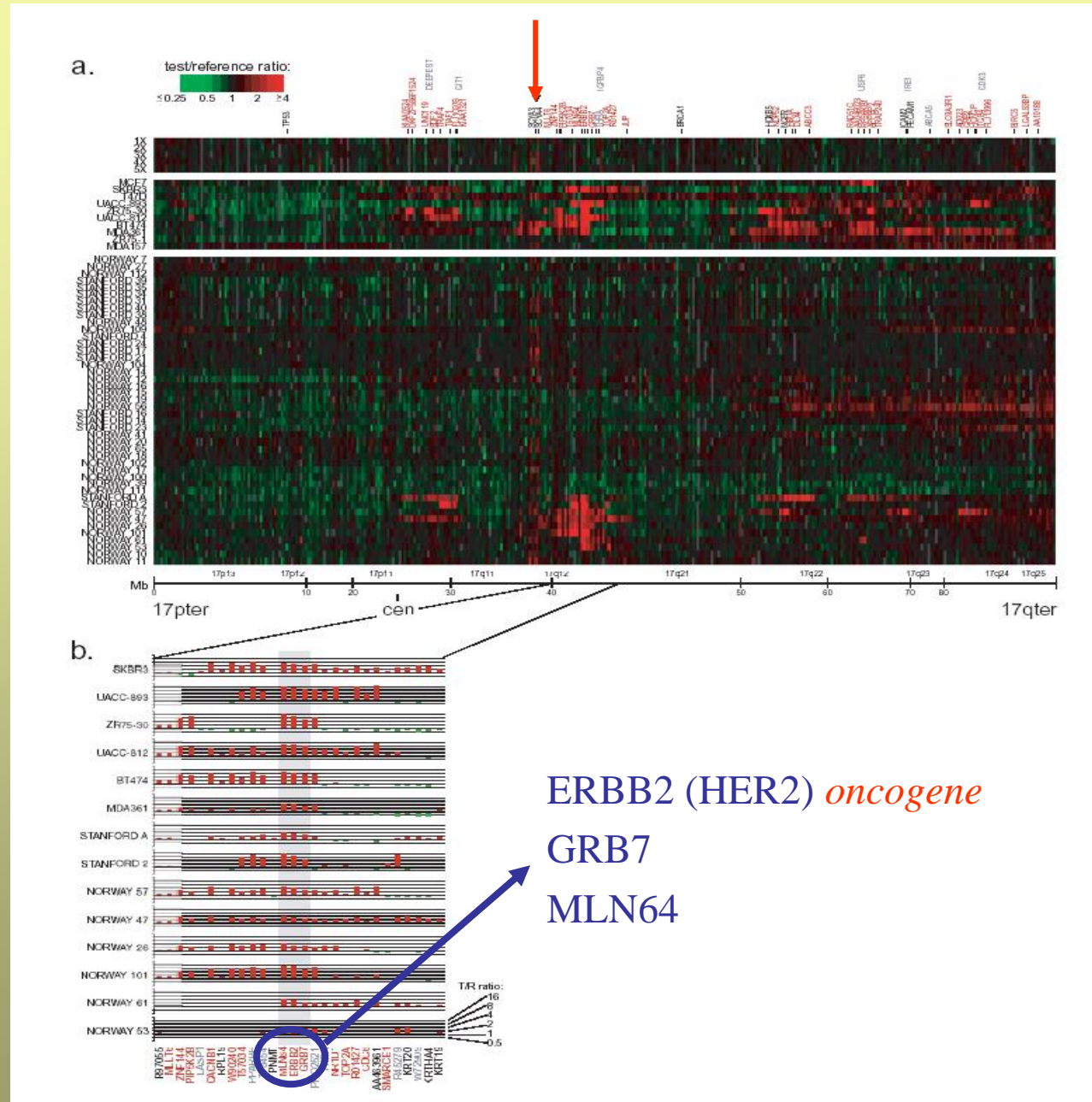


Nő vs. férfi gDNS



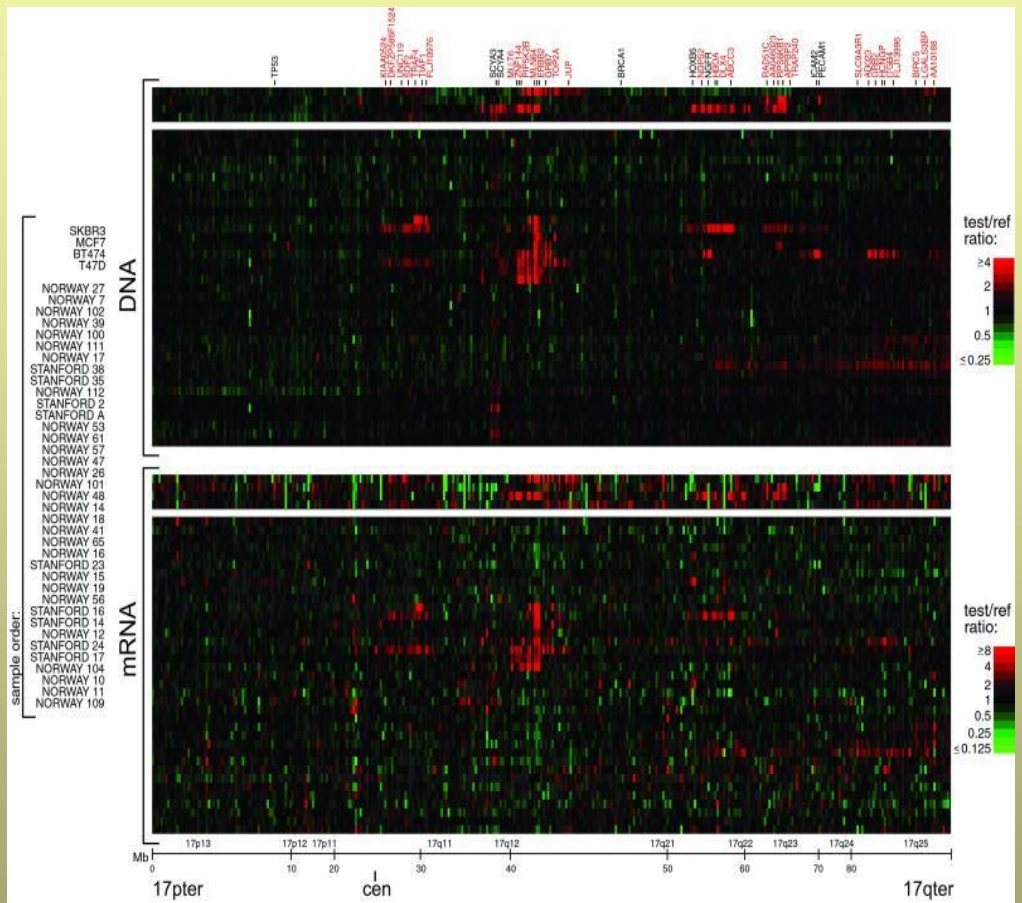
Pajzsmirigy tumor

Variation in copy number mapping to chr 17

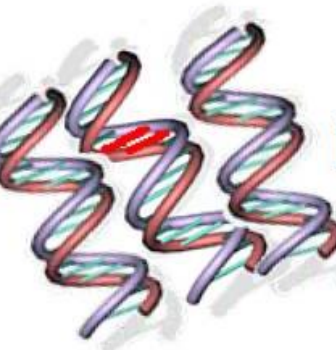
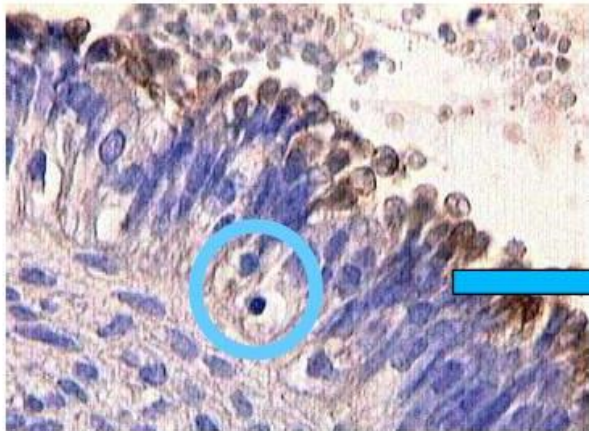


Párhuzamos mRNS szint vizsgálat

- 117 high level DNA amplifications (91 different genes)
- 62% (54 genes) found associated with at least moderately elevated mRNA
 - 12/54 genes are oncogenes or candidates
- 42% (36 genes) found associated with highly elevated mRNA.



Egyedi genomi eltérések detektálása?



PMES

AGC TCC CGG TAC
AGC TCC GGG TAC
AGC TCC TGG TAC
AGC TCC AGG TAC

Drug resistance

KRAS mutaton correlates with
resistance to e.g. Erbitux

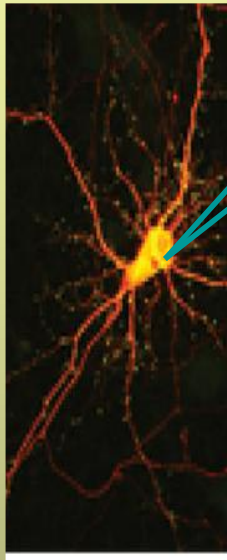
Újgenerációs szekvenálási stratégiák

Loss of heterogeneity in the entire genome verification of haploidy by next generation sequencing

Reference Position	Variation Type	Length	Reference	Variants	Allele Variations	Frequencies	Counts	Coverage	Overlapping Annotations
220	SNP	1	A	1	G	100	259	259	rRNA: 12S ribosomal RNA, Gene: Rnr1
247	SNP	1	T	2	A/T	98.2/1.8	382/7	389	rRNA: 12S ribosomal RNA, Gene: Rnr1
348	SNP	1	T	1	C	100	169	169	rRNA: 12S ribosomal RNA, Gene: Rnr1
467	SNP	1	G	1	A	100	30	30	rRNA: 12S ribosomal RNA, Gene: Rnr1
482	SNP	1	C	1	T	100	201	201	rRNA: 12S ribosomal RNA, Gene: Rnr1
518	SNP	1	C	1	T	98.3	118	120	rRNA: 12S ribosomal RNA, Gene: Rnr1
569	SNP	1	T	1	C	100	171	171	rRNA: 12S ribosomal RNA, Gene: Rnr1
572	SNP	1	A	1	C	100	225	225	rRNA: 12S ribosomal RNA, Gene: Rnr1
646	SNP	1	T	1	C	98.4	183	186	rRNA: 12S ribosomal RNA, Gene: Rnr1
654	SNP	1	T	1	C	100	41	41	rRNA: 12S ribosomal RNA, Gene: Rnr1
815	SNP	1	A	1	T	100	73	73	rRNA: 12S ribosomal RNA, Gene: Rnr1
829	SNP	1	C	1	T	99.7	348	349	rRNA: 12S ribosomal RNA, Gene: Rnr1
900	SNP	1	C	1	T	99.7	385	386	rRNA: 12S ribosomal RNA, Gene: Rnr1
980	SNP	1	T	1	C	97.8	177	181	rRNA: 12S ribosomal RNA, Gene: Rnr1
1400	SNP	1	T	1	C	99.3	267	269	rRNA: 16S ribosomal RNA, Gene: Rnr2
1403	SNP	1	T	1	C	99.6	282	283	rRNA: 16S ribosomal RNA, Gene: Rnr2
1425	SNP	1	T	1	A	96.6	84	87	rRNA: 16S ribosomal RNA, Gene: Rnr2
1447	SNP	1	G	1	A	100	136	136	rRNA: 16S ribosomal RNA, Gene: Rnr2
1453	SNP	1	A	1	T	97.3	73	75	rRNA: 16S ribosomal RNA, Gene: Rnr2
1868	SNP	1	C	1	T	100	74	74	rRNA: 16S ribosomal RNA, Gene: Rnr2
1942	SNP	1	C	1	A	100	151	151	rRNA: 16S ribosomal RNA, Gene: Rnr2
1954	SNP	1	A	1	C	98.6	139	141	rRNA: 16S ribosomal RNA, Gene: Rnr2
1994	SNP	1	A	1	C	98.8	85	86	rRNA: 16S ribosomal RNA, Gene: Rnr2
2078	SNP	1	G	1	A	99.8	412	413	rRNA: 16S ribosomal RNA, Gene: Rnr2
2391	SNP	1	T	1	C	100	169	169	rRNA: 16S ribosomal RNA, Gene: Rnr2
2461	SNP	1	T	1	A	99.8	958	960	rRNA: 16S ribosomal RNA, Gene: Rnr2
2514	SNP	1	C	2	T/C	98.8/1.2	726/9	735	rRNA: 16S ribosomal RNA, Gene: Rnr2
2542	SNP	1	A	1	G	99.4	694	698	rRNA: 16S ribosomal RNA, Gene: Rnr2
2564	SNP	1	C	1	T	100	289	289	rRNA: 16S ribosomal RNA, Gene: Rnr2
3737	SNP	1	A	2	A/T	92.5/7.5	86/7	93	Gene: TrnI, tRNA: TrnI
3850	SNP	1	C	1	T	100	126	126	Gene: Trnm, tRNA: Trnm
7698	SNP	1	C	1	T	100	70	70	Gene: Trnk, tRNA: Trnk
8613	SNP	1	C	1	A	100	336	336	Gene: COX3, CDS: COX3
8622	SNP	1	C	1	T	100	378	378	Gene: COX3, CDS: COX3

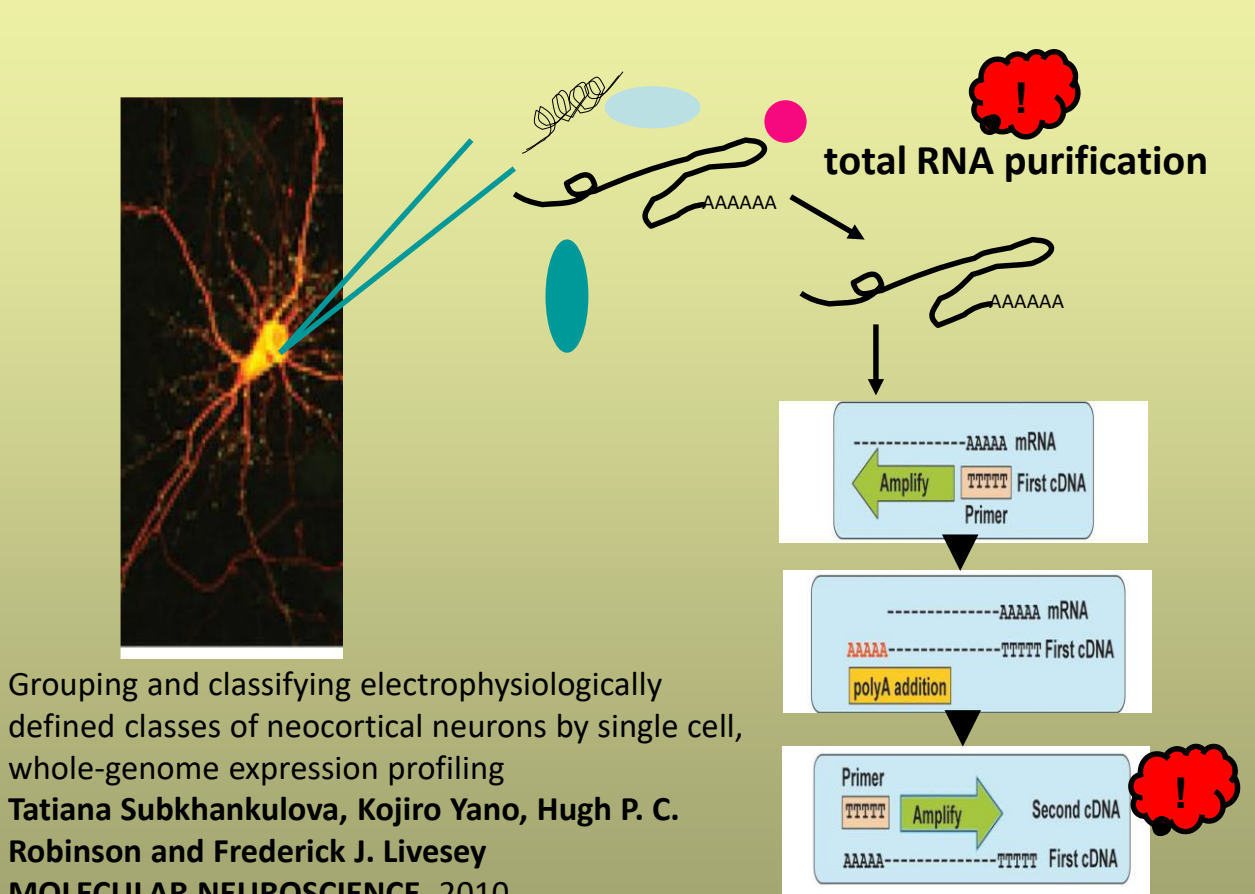
Egyedi sejtek genomi és digitális expresszióvizsgálata

Elektrofiziológiailag különböző sejtek teljes genom analízise

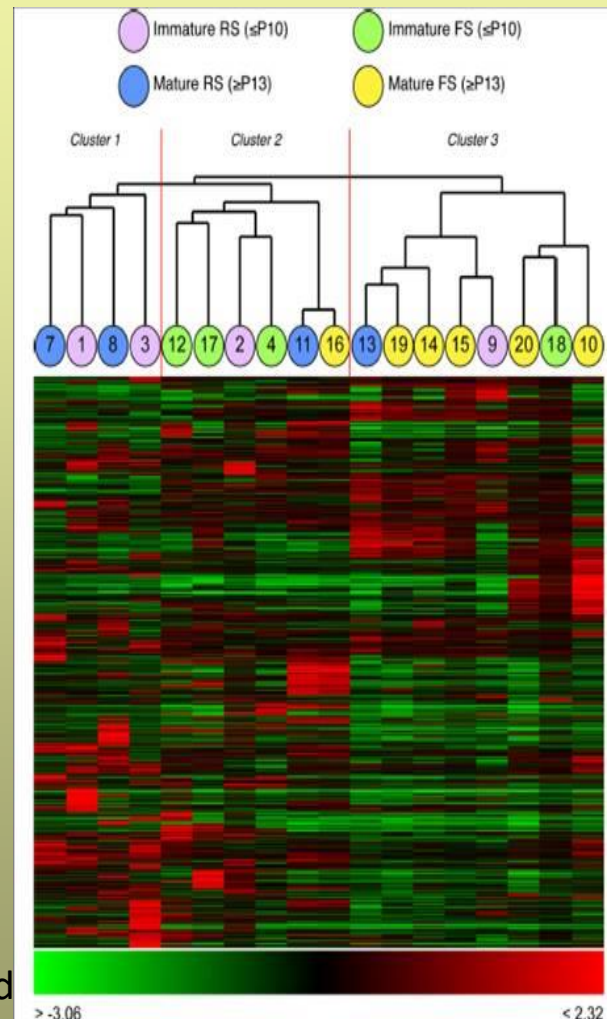


Grouping and classifying electrophysiologically defined classes of neocortical neurons by single cell, whole-genome expression profiling

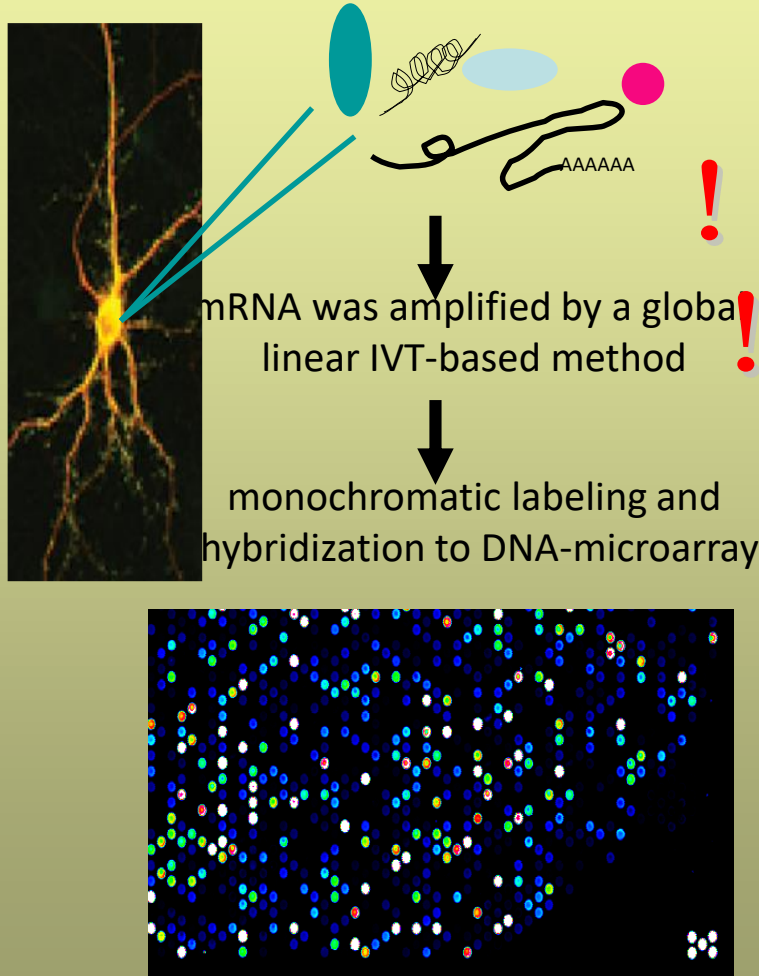
Tatiana Subkhankulova, Kojiro Yano, Hugh P. C. Robinson and Frederick J. Livesey
MOLECULAR NEUROSCIENCE, 2010



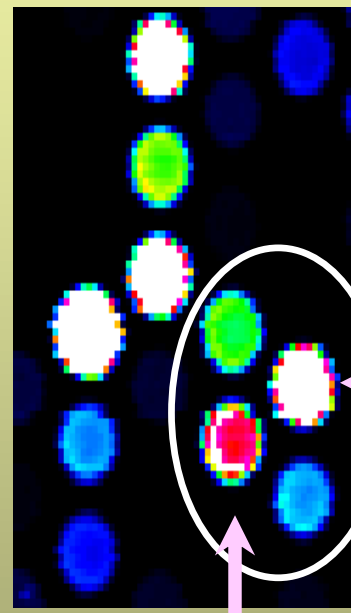
mRNA was amplified by a global polyadenylated PCR-based method



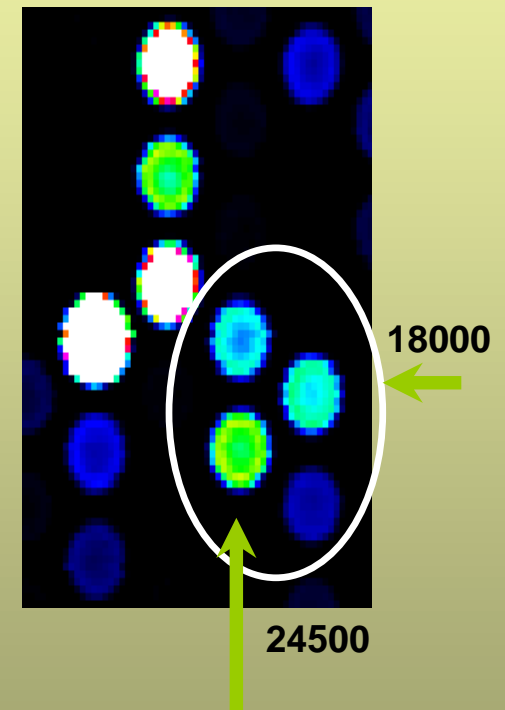
Elektrofiziológiailag különböző sejtek teljes genom analízise



Type I interneuron



Type II interneuron



Gábor Tamás, Ágnes Katalin Kocsis, Szeged University
Nóra Faragó, Ágnes Zvara, HAS BRC, Szeged, Hungary

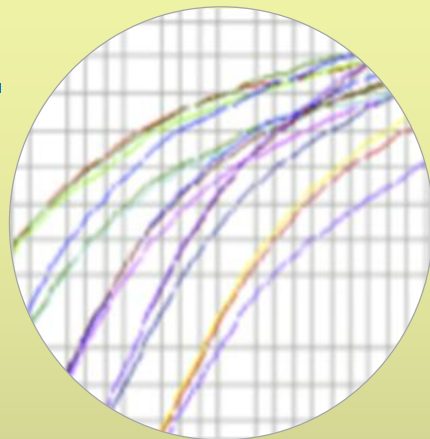
Digitális PCR – A PCR harmadik generációja

1.



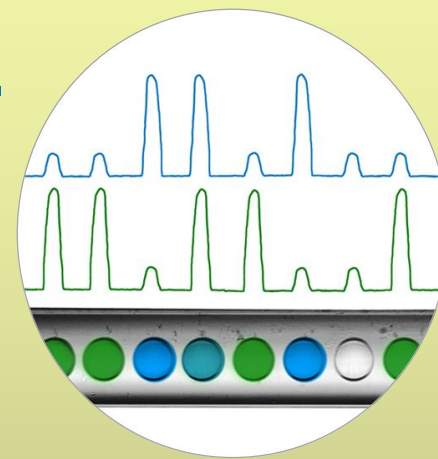
PCR
Kvalitatív

2.



Real-time PCR
Relatív kvantitálás

3.

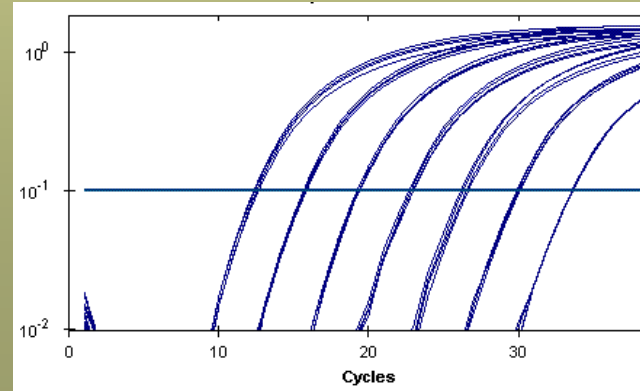


Digitális PCR
Abszolut kvantitálás

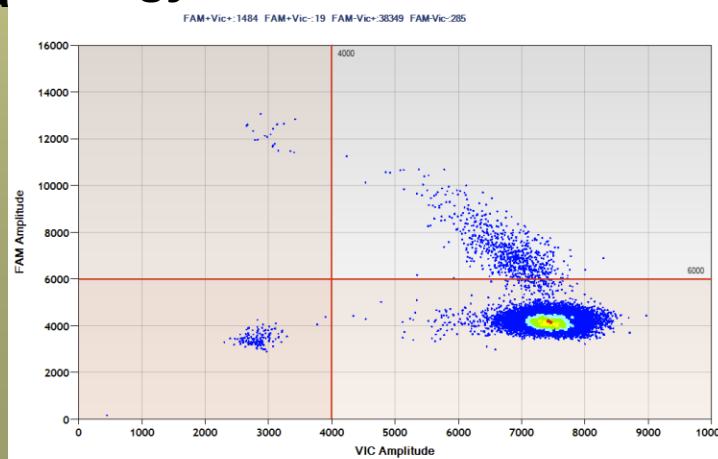
Végpont analízis



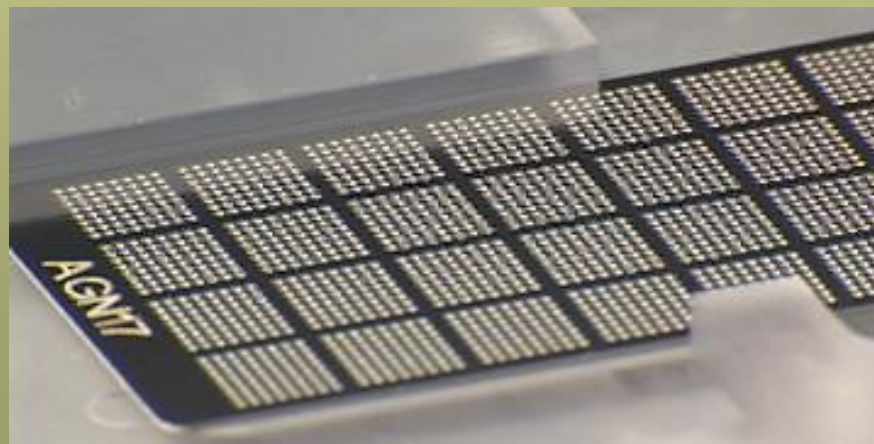
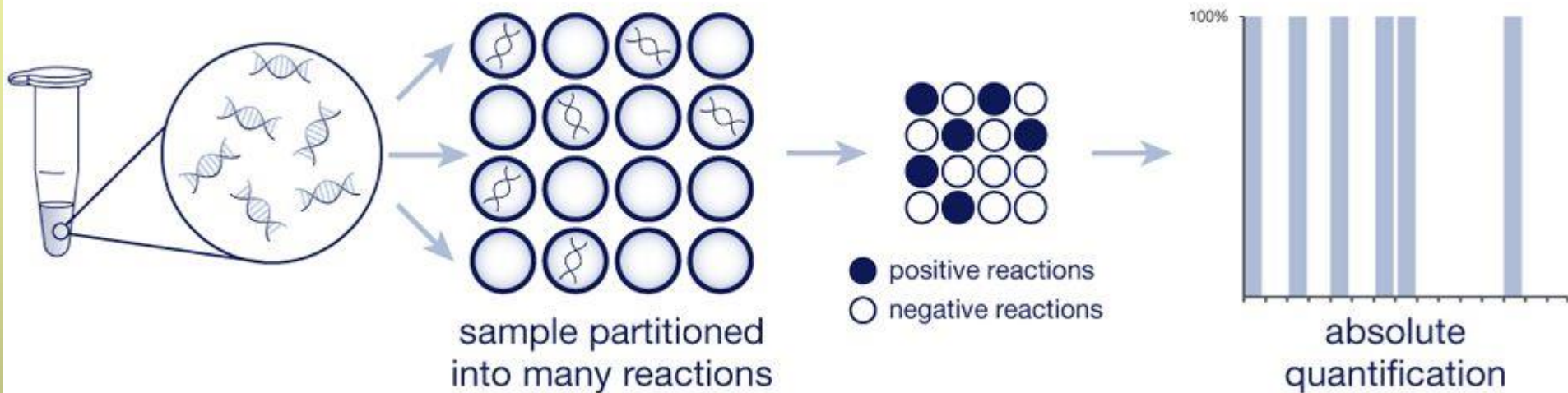
Fluoreszcencia detektálása

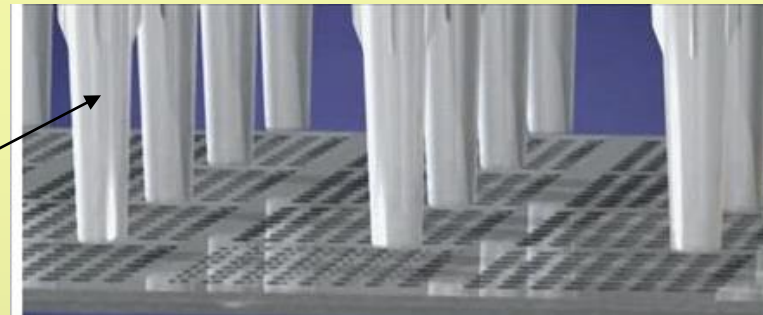


Egyedi reakciók elemzése



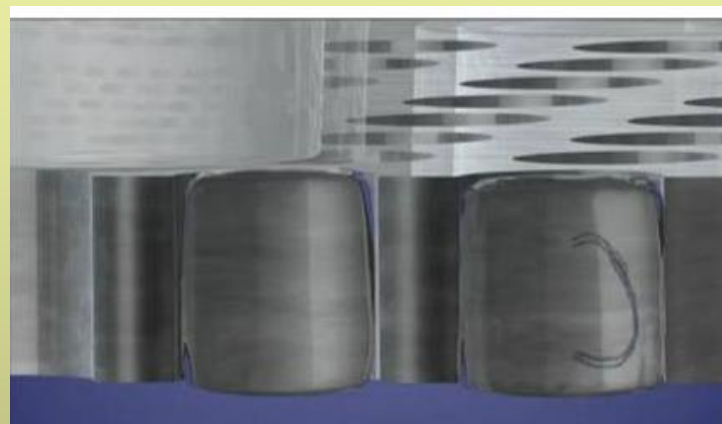
Digitális PCR nanokapilláris HTS QRT-PCR technikával



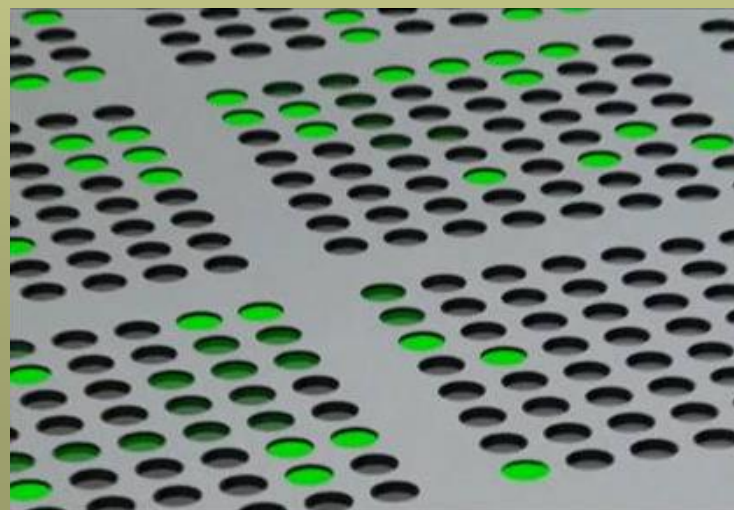


feltöltés

minta (1 sejt)
TaqMan próba
QRT-PCR reagens

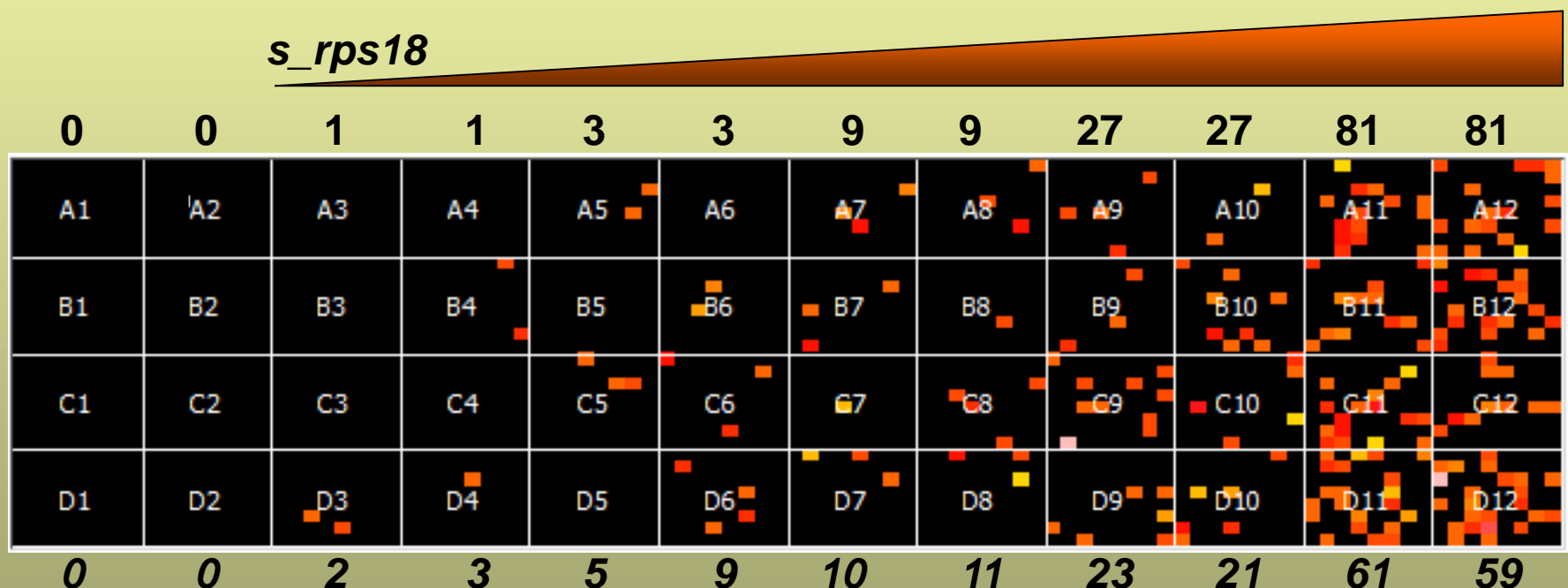


PCR



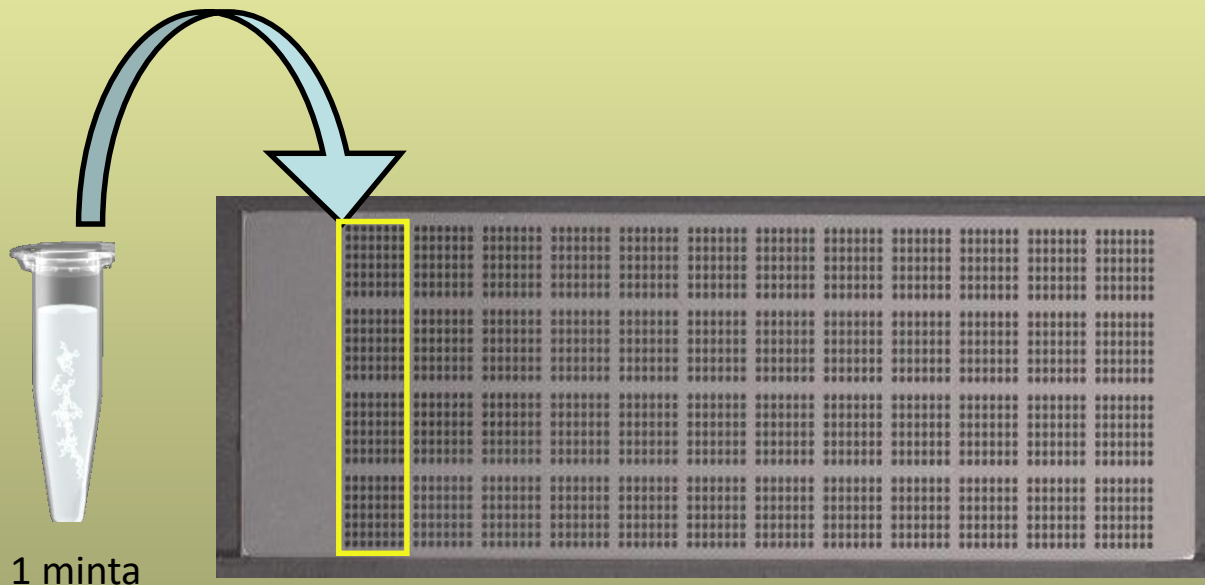
PCR vége

Spike-in DNS kópiaszámának meghatározása dQRT-PCR technikával

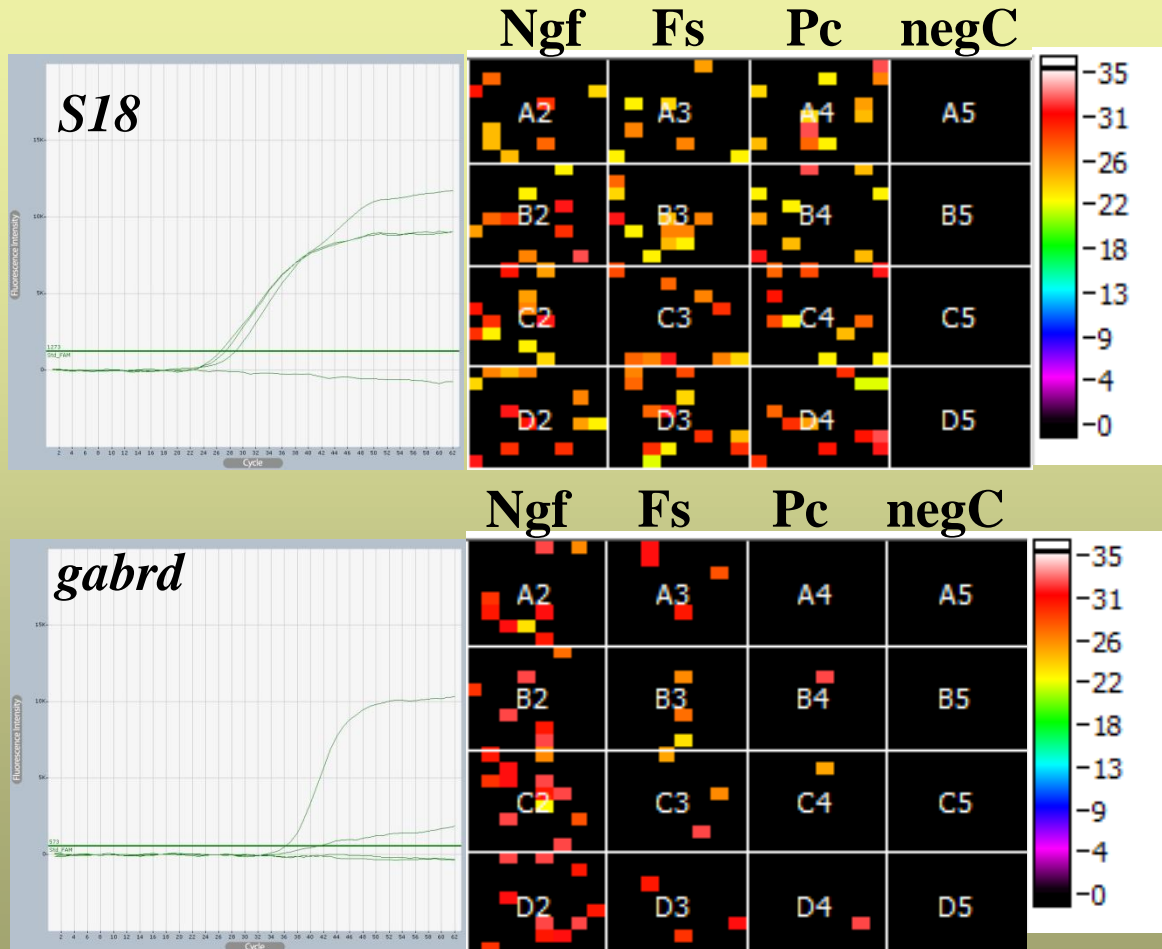


Egyedi neuronok génexpressziós elemzése digitális QRT-PCR módszerrel

Kísérlet tervezése



Egyedi neuronok génexpressziós elemzése digitális QRT-PCR módszerrel



Ngf: Neurogliaform sejt

Fs: Fast spiking sejt

Pc: Piramis sejt

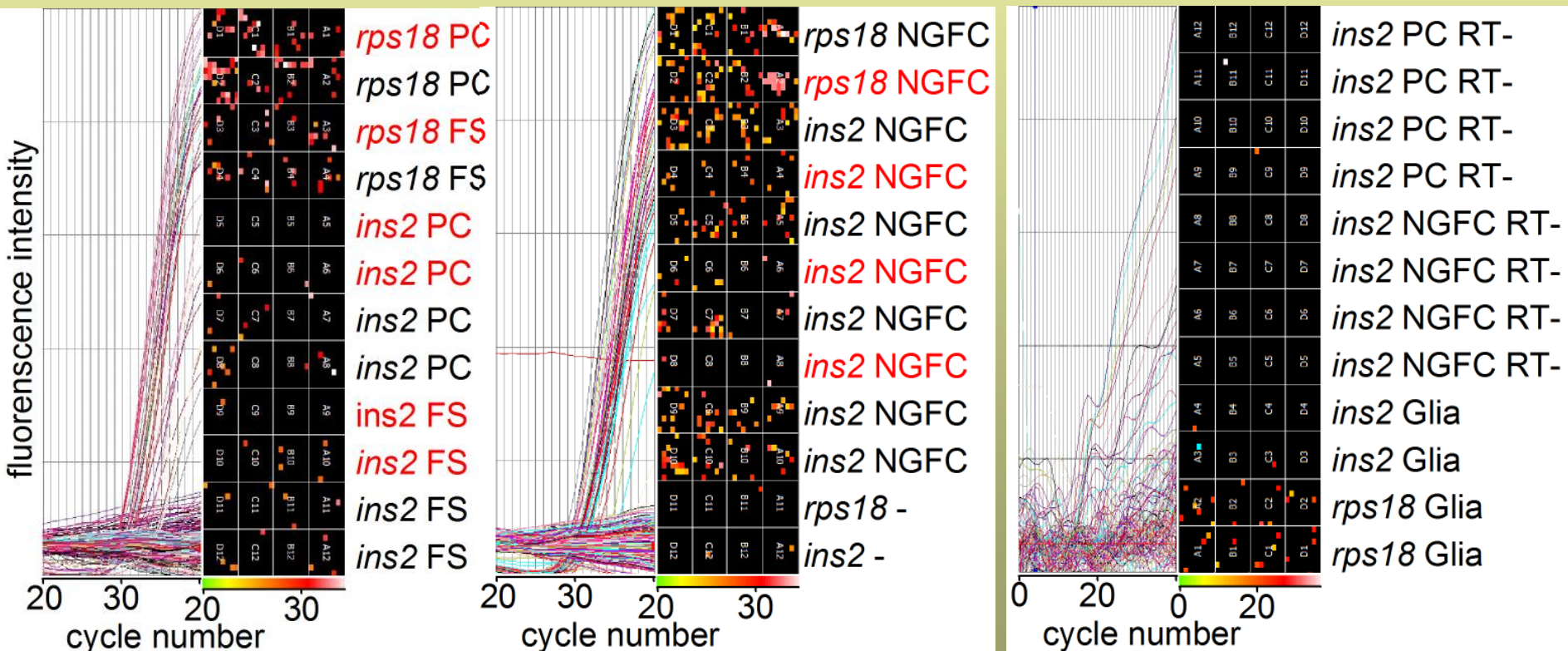
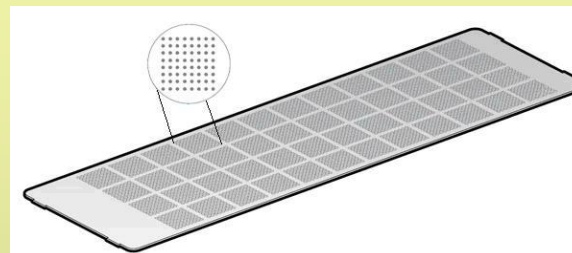
negC: RT- negatív kontroll

S18 háztartási gén hasonló kifejeződése minden neuron típusban
Neuron-típus specifikus expresszió: GABA receptor

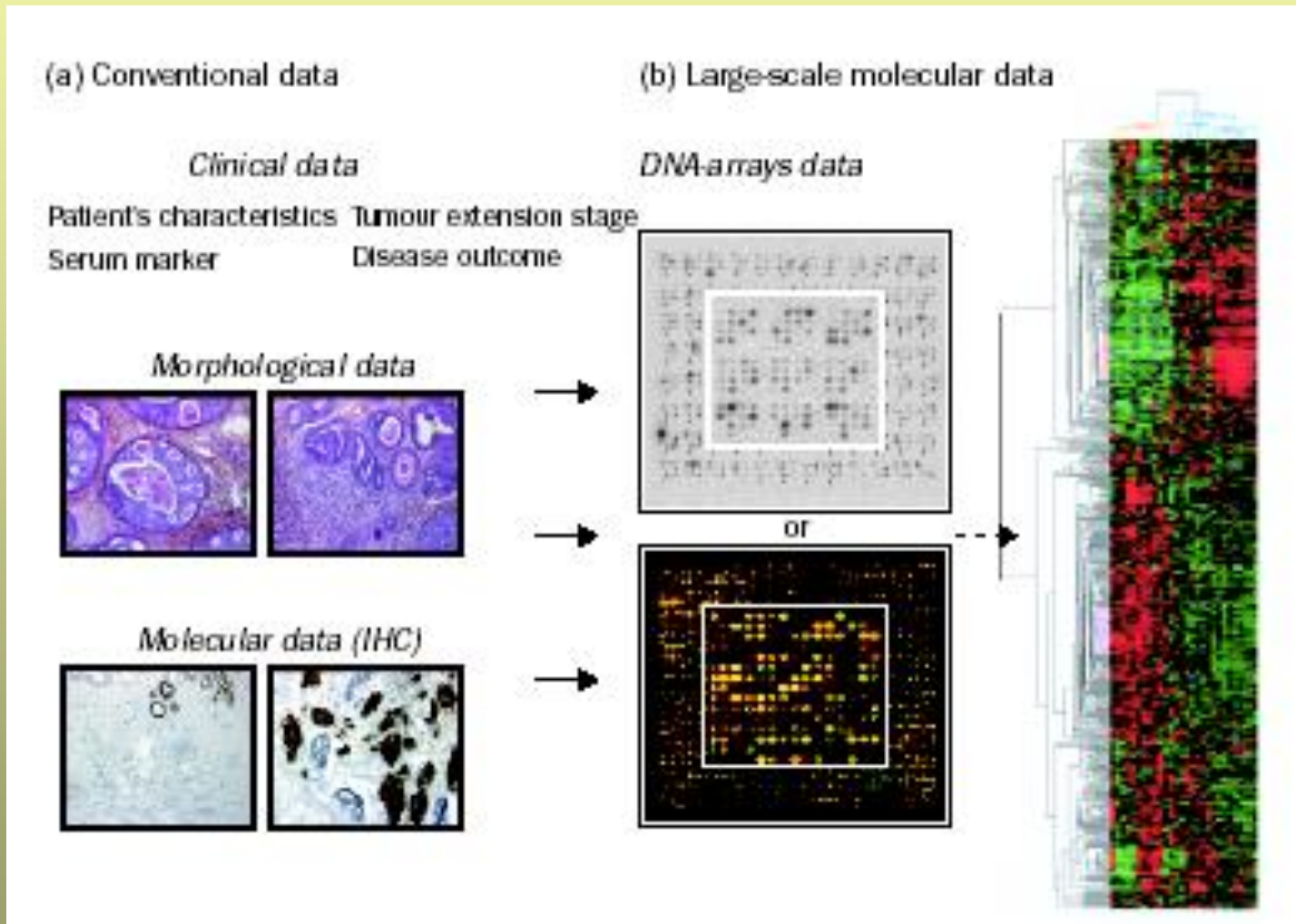
Inzulin mRNS kópiaszám meghatározása egyedi sejtekben

Single cell digital PCR

hypoglycemia / normoglycemia



Hagyományos és chip adatok egy adott klinikai kórképre



Köszönöm a figyelmet!

